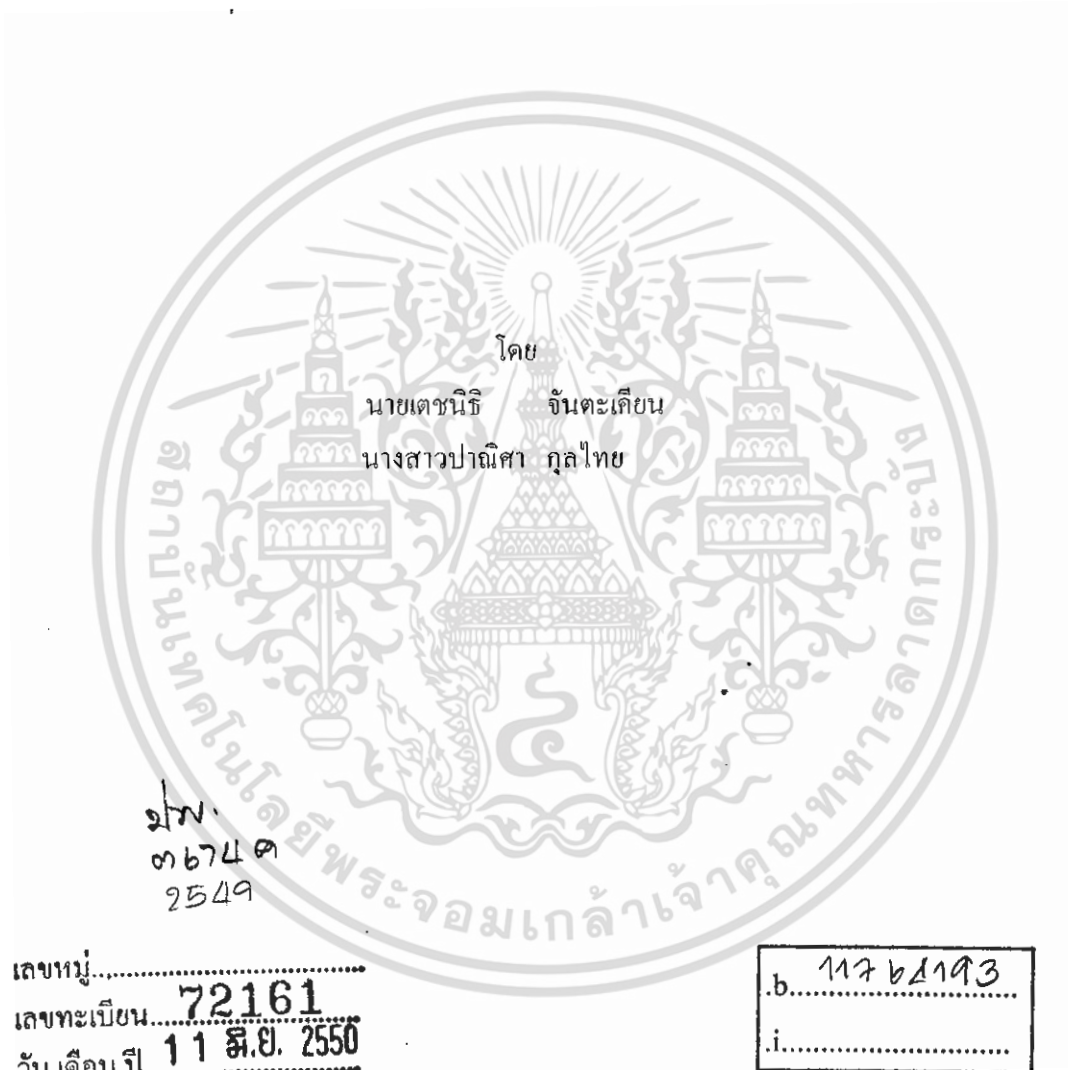


สำนักหอสมุดกลาง พระจอมเกล้าลาดกระบัง

เครื่องแกะสลักควบคุมด้วยไมโครคอนโทรลเลอร์
Engraving Machine controlled by Microcontroller



เลขหมู่.....
เลขทะเบียน 72161
วัน,เดือน,ปี 11 ส.ย. 2550

ปริญญานิพนธ์ฉบับนี้เป็นส่วนหนึ่งของการศึกษาดมหลักสูตรปริญญาวิศวกรรมศาสตรบัณฑิต
สาขาวิชาอิเล็กทรอนิกส์
สถาบันเทคโนโลยีพระจอมเกล้าเจ้าคุณทหารลาดกระบัง
ปีการศึกษา 2549

เอกสารนี้เป็นเอกสารที่สงวนไว้สำหรับการใช้งานเพื่อการศึกษาเท่านั้น ไม่อนุญาตให้นำไปใช้ประโยชน์ด้านการค้า
ไม่ว่ากรณีใดๆ ทั้งสิ้น อีกทั้งห้ามมิให้ตัดแปลงเนื้อหา และต้องอ้างอิงถึงเจ้าของเอกสารทุกครั้งที่มีการนำไปใช้

เครื่องแกะสลักควบคุมด้วยไมโครคอนโทรลเลอร์
Engraving Machine controlled by Microcontroller



ปริญญานิพนธ์สำหรับปริญญาวิศวกรรมศาสตรบัณฑิต
สาขาอิเล็กทรอนิกส์
คณะวิศวกรรมศาสตร์
สถาบันเทคโนโลยีพระจอมเกล้าเจ้าคุณทหารลาดกระบัง
ปีการศึกษา 2549

เอกสารนี้เป็นเอกสารที่สงวนไว้สำหรับการใช้งานเพื่อการศึกษาเท่านั้น ไม่อนุญาตให้นำไปใช้ประโยชน์ด้านการค้า
ไม่ว่ากรณีใดๆ ทั้งสิ้น อีกทั้งห้ามมิให้ตัดแปลงเนื้อหา และต้องอ้างอิงถึงเจ้าของเอกสารทุกครั้งที่มีการนำไปใช้

เครื่องแกะสลักด้วยไมโครคอนโทรลเลอร์
Engraving Machine Controlled by Microcontroller

นายเตชนิธิ จันตะเทียน รหัส 46010246
นางสาวปาณิสรา กุลไทย รหัส 46010447

โครงการนี้ได้รับการตรวจสอบแล้ว พร้อมทั้งจะทำการสอบได้

(รศ.ดร. สุรพันธ์ เอื้อไพบูรณ์)

อาจารย์ที่ปรึกษา

เอกสารนี้เป็นเอกสารที่สงวนไว้สำหรับการใช้งานเพื่อการศึกษาเท่านั้น ไม่อนุญาตให้นำไปใช้ประโยชน์ด้านการค้า
ไม่ว่ากรณีใดๆ ทั้งสิ้น อีกทั้งห้ามมิให้ตัดแปลงเนื้อหา และต้องอ้างอิงถึงเจ้าของเอกสารทุกครั้งที่มีการนำไปใช้

ปริญญาานิพนธ์ ปีการศึกษา 2549

ภาควิชาอิเล็กทรอนิกส์

คณะวิศวกรรมศาสตร์ สถาบันเทคโนโลยีพระจอมเกล้าเจ้าคุณทหารลาดกระบัง

เรื่อง เครื่องแกะสลักด้วยไมโครคอนโทรลเลอร์
Engraving Machine Controlled by Microcontroller

ผู้จัดทำ

1. นายเตชนิธิ จันตะเกียน 46010246

2. นางสาวปณิศา กุลไทย 46010447



เอกสารนี้เป็นเอกสารที่สงวนไว้สำหรับการใช้งานเพื่อการศึกษาเท่านั้น ไม่อนุญาตให้นำไปใช้ประโยชน์ด้านการค้า
ไม่ว่ากรณีใดๆ ทั้งสิ้น อีกทั้งห้ามมิให้ดัดแปลงเนื้อหา และต้องอ้างอิงถึงเจ้าของเอกสารทุกครั้งที่มีการนำไปใช้

เครื่องแกะสลักควบคุมด้วยไมโครคอนโทรลเลอร์

นายเชชนิธิ จันตะเกียน

นางสาวปาณิสสา กุลไทย

รศ.ดร. สุรพันธ์ เอื้อไพฑูลย์ อาจารย์ที่ปรึกษา

ปีการศึกษา 2549

บทคัดย่อ

เครื่องกัดควบคุมด้วยไมโครคอนโทรลเลอร์ ที่ได้ประดิษฐ์ขึ้นนี้ มีระบบการทำงานโดยรับ
รับภาพต้นแบบจากกล้องเว็บแคมผ่านคอมพิวเตอร์แล้วประมวลผลภาพส่งไปยัง
ไมโครคอนโทรลเลอร์เพื่อสั่งให้เครื่องแกะสลักมีการเคลื่อนที่ในระนาบ 3 มิติ ด้วยสเตปป์มอเตอร์



เอกสารนี้เป็นเอกสารที่สงวนไว้สำหรับการใช้งานเพื่อการศึกษาเท่านั้น ไม่อนุญาตให้นำไปใช้ประโยชน์ด้านการค้า
ไม่ว่ากรณีใดๆ ทั้งสิ้น อีกทั้งห้ามมิให้ดัดแปลงเนื้อหา และต้องอ้างอิงถึงเจ้าของเอกสารทุกครั้งที่มีการนำไปใช้

Engraving Machine controlled by Microcontroller

Mr. Techaniti Chantakian

Ms. Panisa Kulthai

Assist. Prof. Dr. Surapan Airphaiboon Advisor

Education Year 2006

Abstract

Microcontroller based engraving machine is operated by user , imported model picture , via computer serial interface. Then processes by microcontroller for using stepping motor to control 3-dimension. In addition, image processing is using for developing this machine.



เอกสารนี้เป็นเอกสารที่สงวนไว้สำหรับการใช้งานเพื่อการศึกษาเท่านั้น ไม่อนุญาตให้นำไปใช้ประโยชน์ด้านการค้า
ไม่ว่ากรณีใดๆ ทั้งสิ้น อีกทั้งห้ามมิให้ตัดแปลงเนื้อหา และต้องอ้างอิงถึงเจ้าของเอกสารทุกครั้งที่มีการนำไปใช้

กิตติกรรมประกาศ

รายงานและชิ้นงานเครื่องแกะสลักควบคุมด้วยไมโครคอนโทรลเลอร์ที่จัดทำขึ้นมานี้ สำเร็จลุล่วงไปได้ด้วยดีเพราะได้รับการสนับสนุน ความช่วยเหลือและคำปรึกษาที่ดีจาก รศ.ดร.สุรพันธ์ เอื้อไพบูลย์ ที่คอมให้คำแนะนำรวมทั้งเอื้อเพื่อสถานที่และอุปกรณ์ในการทำงานมา โดยตลอดปีการศึกษา รวมทั้งขอบคุณแรงใจจากคุณพ่อ คุณแม่ที่คอยให้กำลังใจในการทำงานตลอดมา



เอกสารนี้เป็นเอกสารที่สงวนไว้สำหรับการใช้งานเพื่อการศึกษาเท่านั้น ไม่อนุญาตให้นำไปใช้ประโยชน์ด้านการค้า ไม่ว่าจะกรณีใดๆ ทั้งสิ้น อีกทั้งห้ามมิให้ดัดแปลงเนื้อหา และต้องอ้างอิงถึงเจ้าของเอกสารทุกครั้งที่มีการนำไปใช้

สารบัญ

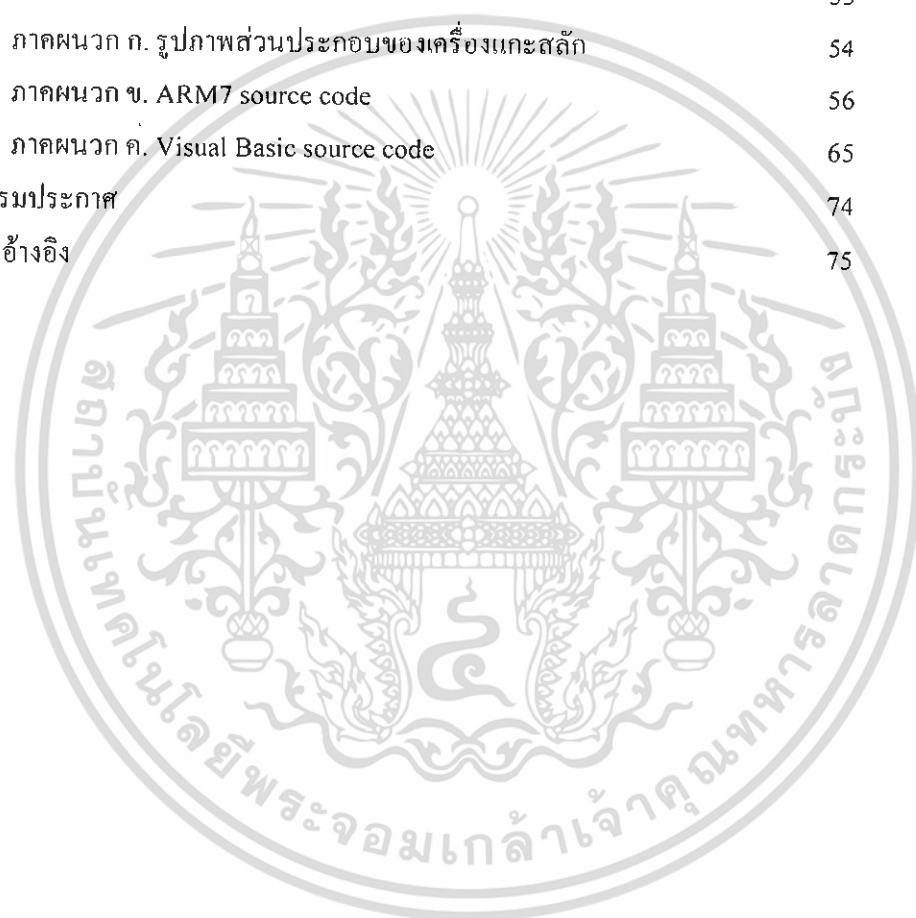
	หน้า
บทคัดย่อ	I
Abstract	II
สารบัญ	III
สารบัญรูป	VI
สารบัญตาราง	IX
บทที่ 1 เครื่องแกะสลักควบคุมด้วยไมโครคอนโทรลเลอร์	1
บทที่ 2 หลักการทฤษฎี	2
2.1 ไมโครคอนโทรลเลอร์	2
2.1.1 ลักษณะทั่วไป	2
2.1.2 การประยุกต์ใช้งาน	3
2.1.3 สถาปัตยกรรมLPC2138	3
2.1.4 ตัวประมวลผลของ ARM7TDMI-S	4
2.2 สเต็ปป์มอเตอร์	6
2.2.1 ชนิดของสเต็ปป์มอเตอร์	6
2.2.2 ชนิดของสเต็ปเปอร์มอเตอร์แบ่งตามลักษณะสาย	9
2.2.2.1 แบบไบโพลาร์	9
2.2.2.2 แบบยูนิโพลาร์	9
2.2.3 วิธีการขับ	10
2.2.3.1 การกระตุ้นเฟสแบบเฟสเดียว	10
2.2.3.2 การกระตุ้นเฟสแบบคู่	11
2.2.3.3 การกระตุ้นเฟสแบบคู่-เดียว	12
2.2.4 วิธีการกำจัดแรงดันที่เกิดจากสนามแม่เหล็กยูกตัว	12
2.2.4.1 ใช้ไดโอดมาจำกัด	12
2.2.4.2 ใช้ความต้านทานร่วมกับไดโอด	13
2.2.5 คุณสมบัติความเร็วของสเต็ปป์มอเตอร์	13
2.2.5.1 สมการพื้นฐานของสเต็ปป์มอเตอร์	14
2.2.5.2 ความสัมพันธ์ระหว่างความเร็วเชิงเส้นกับ	
ความเร็วเชิงมุม	15
2.2.5.3 การสร้างพัลส์ของความเร็วเชิงเส้นคงที่	15

เอกสารนี้เป็นเอกสารที่สงวนไว้สำหรับการใช้งานเพื่อการศึกษาเท่านั้น ไม่อนุญาตให้นำไปใช้ประโยชน์ด้านการค้า
ไม่ว่ากรณีใดๆ ทั้งสิ้น อีกทั้งห้ามมิให้ตัดแปลงเนื้อหา และต้องอ้างอิงถึงเจ้าของเอกสารทุกครั้งที่มีการนำไปใช้

	หน้า
2.2.5.4 การเพิ่มความเร็วแบบเชิงเส้น	16
2.2.5.5 การเปลี่ยนความเร่ง	18
2.2.6 การอินเตอร์โพลชันแบบเชิงเส้นด้วยความเร็วคงที่	18
2.3 การสื่อสารข้อมูลแบบอนุกรม	20
2.3.1 การแปลงสัญญาณข้อมูลข้อมูลระหว่าง แบบอนุกรมและแบบขนาน	20
2.3.2 การส่งข้อมูลแบบอะซิงโครนัส	21
2.3.3 การส่งข้อมูลแบบซิงโครนัส	22
2.3.4 มาตรฐาน RS232-C	24
2.4 การทำกระบวนการอิมเมจดิจิทัล	25
2.4.1 คำนิยามและความหมายของ การทำกระบวนการอิมเมจดิจิทัล	25
2.4.2 การทำกระบวนการอิมเมจดิจิทัล	26
2.4.3 โมเดลสี	26
2.4.4 การทำกระบวนการรอบ ๆ พิกเซล	27
2.4.5 การตรวจหาขอบอิมเมจ	29
2.4.5.1 อนุพันธ์อันดับหนึ่ง	29
2.4.5.1.1 โอเปอเรเตอร์ Sobel	29
2.4.5.1.2 โอเปอเรเตอร์ Prewit	29
2.4.5.1.3 โอเปอเรเตอร์ Fri-Chen	30
2.4.5.2 อนุพันธ์อันดับสอง	30
บทที่ 3 การออกแบบ	32
3.1 การทำงานของระบบ	32
3.2 ขั้นตอนการออกแบบ	33
3.2.1 การออกแบบการประมวลผลภาพ	33
3.2.2 ส่วนการออกแบบการติดต่อสื่อสาร	38
3.2.3 การออกแบบวงจรส่วนของไมโครคอนโทรลเลอร์	39
3.2.4 การออกแบบวงจรจับสเต็ปมอเตอร์	40
3.2.5 การออกแบบโปรแกรมของไมโครคอนโทรลเลอร์	41
3.2.6 การออกแบบการวาดเส้นตรงด้วยไมโครคอนโทรลเลอร์	42
ด้วยวิธี Point-to-Point	42

เอกสารนี้เป็นเอกสารที่สงวนไว้สำหรับการใช้งานเพื่อการศึกษาเท่านั้น ไม่อนุญาตให้นำไปใช้ประโยชน์ด้านการค้า
ไม่ว่ากรณีใดๆ ทั้งสิ้น อีกทั้งห้ามมิให้ดัดแปลงเนื้อหา และต้องอ้างอิงถึงเจ้าของเอกสารทุกครั้งที่มีการนำไปใช้

	หน้า
บทที่ 4 การทดสอบและผลการทดสอบประสิทธิภาพ	46
4.1 การทดสอบผลการประมวลผลภาพ	46
4.2 ทดสอบสแต็ป-ระยะทาง	47
4.3 การทดสอบความเร็วและทิศทาง	48
บทที่ 5 สรุปและวิจารณ์ผล	51
5.1 สรุปผลการทดสอบ	51
5.2 ปัญหาที่พบจากการทำโครงการ	52
ภาคผนวก	53
ภาคผนวก ก. รูปภาพส่วนประกอบของเครื่องแกะสลัก	54
ภาคผนวก ข. ARM7 source code	56
ภาคผนวก ค. Visual Basic source code	65
กิตติกรรมประกาศ	74
หนังสืออ้างอิง	75



สารบัญรูป

	หน้า
รูปที่ 1.1 บล็อกไดอะแกรมของโครงการชิ้นนี้	1
รูปที่ 2.1 โครงสร้างของ LPC2138	5
รูปที่ 2.2 รูปสแต็ปป์มอเตอร์	6
รูปที่ 2.3 ภาพแสดงโครงสร้างของสแต็ปมอเตอร์แบบวาริเวเบิลรีลักแตนซ์	7
รูปที่ 2.4 ภาพแสดงโครงสร้างของสแต็ปมอเตอร์แบบแม่เหล็กถาวร	8
รูปที่ 2.5 สแต็ปเปอร์มอเตอร์ชนิดไฮบริดขนาด 5 เฟส	8
รูปที่ 2.6 สัญลักษณ์, โครงสร้างและวงจรขับที่ใช้กับมอเตอร์แบบไบโพลาร์ 2 เฟส	9
รูปที่ 2.7 สัญลักษณ์, โครงสร้างและวงจรขับที่ใช้กับมอเตอร์แบบยูนิโพลาร์ 2 เฟส	10
รูปที่ 2.8 วงจรที่ใช้ไดโอดมาจำกัด	12
รูปที่ 2.9 วงจรที่ใช้ความต้านทานร่วมกับไดโอด	13
รูปที่ 2.10 Torque Vs. Speed	13
รูปที่ 2.11 รูปลักษณะการป้องกันพัลส์	14
รูปที่ 2.12 ภาพแสดงการกำเนิด Pulse	15
รูปที่ 2.13 Speed VS. Pulse/sec	16
รูปที่ 2.14 การควบคุมโดยการเปลี่ยนแปลงความเร็ว	17
รูปที่ 2.15 ภาพแสดงความยาวของการเคลื่อนที่แต่ละแกน	18
รูปที่ 2.16 ภาพแสดงความเร็วของแต่ละแกน	18
รูปที่ 2.17 ภาพแสดงความเร็วทั้งหมดที่สามารถเกิดขึ้นได้	19
รูปที่ 2.18 การส่งข้อมูลแบบอนุกรม	20
รูปที่ 2.19 การแปลงข้อมูลจากแบบอนุกรมไปเป็นแบบขนาน	21
รูปที่ 2.20 การแปลงข้อมูลจากแบบขนานไปเป็นแบบอนุกรม	21
รูปที่ 2.21 แสดงรายละเอียดของรูปแบบการส่งข้อมูลแบบอะซิงโครนัส	22
รูปที่ 2.22 ภาพแสดงการส่งข้อมูลแบบซิงโครนัสที่นำเสนอในรูปแบบอย่างง่าย	23
รูปที่ 2.23 ภาพแสดงการเข้าจังหวะระหว่างสัญญาณพาฟิกาและข้อมูลในการส่งข้อมูล	23
รูปที่ 2.24 แสดงโครงสร้างคอนเนคเตอร์ DB-9	24
รูปที่ 2.25 แสดงระดับแรงดันที่ใช้ในการสื่อสารข้อมูลของ RS232-C	24
รูปที่ 2.26 แสดงการเชื่อมต่อระหว่างไมโครคอนโทรลเลอร์กับ คอมพิวเตอร์ผ่าน RS232-C	25
รูปที่ 2.27 ระบบพิกัด space	26
รูปที่ 2.28 การทำกระบวนการอิมเมจดิจิทัล	27

เอกสารนี้เป็นเอกสารที่สงวนไว้สำหรับการใช้งานในการศึกษาเท่านั้น ไม่อนุญาตให้นำไปใช้ประโยชน์ด้านการค้า
ไม่ว่ากรณีใดๆ ทั้งสิ้น อีกทั้งห้ามมิให้ตัดแปลงเนื้อหา และต้องอ้างอิงถึงเจ้าของเอกสารทุกครั้งที่มีการนำไปใช้

	หน้า
รูปที่ 2.29 โมเดลสีและการผสมสีทางแสง	27
รูปที่ 2.30 วิธีการคำนวณ Convolution	28
รูปที่ 2.31 แสดงตัวอย่างการหาขอบภาพ	31
รูปที่ 3.1 การทำงานโดยรวมของระบบ	32
รูปที่ 3.2 ขั้นตอนการประมวลผลภาพ	34
รูปที่ 3.3 โฟลวชาร์ตของการหาภาพระดับเทา	34
รูปที่ 3.4 โฟลวชาร์ตของการหาภาพขอบ	35
รูปที่ 3.5 โฟลวชาร์ตของการหาภาพไบนารี	36
รูปที่ 3.6 โฟลวชาร์ตของการหาคอนทัวร์	37
รูปที่ 3.7 แสดงการเชื่อมต่อระหว่างคอมพิวเตอร์กับกล้องเว็บแคม และไมโครคอนโทรลเลอร์	38
รูปที่ 3.8 แสดงวงจรเชื่อมต่อของไมโครคอนโทรลเลอร์	39
รูปที่ 3.9 แสดงวงจรจับสแต็ปมอเตอร์แบบยูนิโพลาร์	40
รูปที่ 3.10 วงจรจับสแต็ปมอเตอร์แบบไบโพลาร์	41
รูปที่ 3.11 โฟลวชาร์ตของโปรแกรม	42
รูปที่ 3.12 การลากเส้นแบบจุดต่อจุดแบบที่ 1	42
รูปที่ 3.13 การลากเส้นแบบจุดต่อจุดแบบที่ 2	42
รูปที่ 3.14 การลากเส้นแบบจุดต่อจุดแบบที่ 3	43
รูปที่ 3.15 การลากเส้นแบบจุดต่อจุดแบบที่ 4	43
รูปที่ 3.16 การลากเส้นแบบจุดต่อจุดแบบที่ 5	43
รูปที่ 3.17 การลากเส้นแบบจุดต่อจุดแบบที่ 6	44
รูปที่ 3.18 การลากเส้นแบบจุดต่อจุดแบบที่ 7	44
รูปที่ 3.19 การลากเส้นแบบจุดต่อจุดแบบที่ 8	44
รูปที่ 3.20 วงจรการเชื่อมต่อทั้งหมด	45
รูปที่ 4.1 ภาพที่ได้จากขั้นตอนการประมวลผลภาพ	46
รูปที่ 4.2 การทดสอบการประมวลผลภาพจากภาพที่ได้จากกล้องเว็บแคม	47
รูปที่ 4.3 การหาขอบภาพจากภาพที่ไฟล์รูปดิจิทัล	47
รูปที่ 4.5 การทดสอบในทิศทางที่ 1	48
รูปที่ 4.6 การทดสอบในทิศทางที่ 2	48
รูปที่ 4.7 การทดสอบในทิศทางที่ 3	49
รูปที่ 4.8 การทดสอบในทิศทางที่ 4	49

เอกสารนี้เป็นเอกสารที่สงวนไว้สำหรับการใช้งานเพื่อการศึกษาเท่านั้น ไม่อนุญาตให้นำไปใช้ประโยชน์ด้านการค้า

ไม่ว่ากรณีใดๆ ทั้งสิ้น อีกทั้งห้ามมิให้ตัดแปลงเนื้อหา และต้องอ้างอิงถึงเจ้าของเอกสารทุกครั้งที่มีการนำไปใช้

	หน้า
รูปที่ 4.9 การทดสอบในทิศทางที่ 5	49
รูปที่ 4.10 การทดสอบในทิศทางที่ 6	49
รูปที่ 4.11 การทดสอบในทิศทางที่ 7	50
รูปที่ 4.12 การทดสอบในทิศทางที่ 8	50



สารบัญตาราง

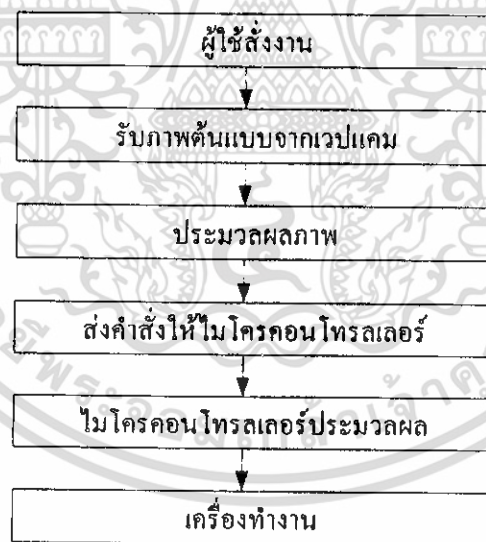
	หน้า
ตารางที่ 4.1 ผลการทดสอบสเต็ม-ระยะทางในแกน X	47
ตารางที่ 4.2 ผลการทดสอบสเต็ม-ระยะทางในแกน Y	47



บทที่ 1 เครื่องแกะสลักควบคุมด้วยไมโครคอนโทรลเลอร์

ในปัจจุบันนี้มีการนำเทคนิคการประมวลผลภาพและเทคนิคการสั่งการควบคุมการเคลื่อนที่มาใช้ทั้งในภาคการวิจัยและการใช้งานทางภาคอุตสาหกรรม ทางผู้จัดทำโครงการนี้จึงมีความคิดที่จะศึกษาและผลผลิตชิ้นงาน โดยใช้ความรู้ที่กล่าวมาข้างต้น จึงได้จัดทำโครงการเครื่องแกะสลักควบคุมด้วยไมโครคอนโทรลเลอร์ ซึ่งเป็นโครงการที่จัดทำขึ้นมาเพื่อนำความรู้ด้านอิเล็กทรอนิกส์และการประมวลผลภาพมาประยุกต์ให้เกิดการประดิษฐ์พัฒนาอุปกรณ์ขึ้น โดยสามารถนำมาใช้งานได้จริง รวมถึงเรียนรู้ถึงการแก้ปัญหาต่างๆที่เกิดขึ้นช่วงระหว่างทำโครงการ

ลักษณะการทำงานโดยรวมของเครื่องแกะสลักควบคุมด้วยไมโครคอนโทรลเลอร์นั้น ในขั้นแรกจะรับข้อมูลจากผู้ใช้งานผ่าน โปรแกรมคอมพิวเตอร์ซึ่งง่ายต่อการใช้งาน จากนั้นเครื่องคอมพิวเตอร์จะทำการประมวลผลภาพด้วยโปรแกรม visual basic 6.0 แล้วทำการส่งข้อมูลหรือคำสั่งผ่านพอร์ต RS-232 ไปยังไมโครคอนโทรลเลอร์เพื่อประมวลผลการเคลื่อนที่อีกครั้งหนึ่ง หลังจากนั้นไมโครคอนโทรลเลอร์จะสั่งงานและควบคุมการทำงานเครื่องแกะสลักเคลื่อนที่ตามข้อมูลที่ได้รับจากผู้ใช้งานในขั้นแรกนั่นเอง ในการทำงานของเครื่องแกะสลักนี้จะใช้สเต็ปปีงมอเตอร์เข้ามาควบคุมการเคลื่อนที่ของหัวเจาะในระนาบ 3 มิติ ซึ่งจะเป็นการเคลื่อนที่ไปตามจุดบนระนาบ 2 มิติ แล้วเราสามารถกำหนดความลึกในการเจาะได้ตามต้องการ



รูปที่ 1.1 บล็อกไดอะแกรมของโครงการชิ้นนี้

บทที่ 2 หลักการทฤษฎี

2.1 ไมโครคอนโทรลเลอร์

ไมโครคอนโทรลเลอร์ LPC2138 เป็นตัวประมวลผลแบบ 16/32 บิต ARM7TDMI-S™ ที่มีระบบจำลองการทำงานและติดตามผลการทำงานของคำสั่ง ไมโครคอนโทรลเลอร์ LPC2138 ประกอบด้วยหน่วยความจำความเร็วสูงแบบแฟลชชนิด 512 กิโลบิต การติดต่อหน่วยความจำขนาด 128 บิต โมดูลเร่งความเร็วในการแปลคำสั่งขนาด 32 บิต บนความเร็วสัญญาณนาฬิกาสูงสุด พร้อมทั้งความสามารถลดขนาดคำสั่งลง 30% ด้วยการ ใช้คำสั่งแบบ 16 บิต

ด้วยขนาดที่เล็กและมีการกินกำลังไฟในการทำงานน้อย ทำให้ไมโครคอนโทรลเลอร์ LPC2138 เหมาะสำหรับที่จะนำไปใช้งานที่ต้องการขนาดเล็ก เช่น การควบคุมแบบเข้าถึง (access control) เนื่องด้วยการติดต่อสื่อสารแบบอนุกรมขนาดใหญ่ และมีหน่วยความจำแบบสแตติก (SRAM) ภายในชิพที่สามารถเลือกค่าได้ 8/16/32 กิโลบิต ทำให้เหมาะสมอย่างยิ่งสำหรับงานทางด้านสื่อสาร อีกทั้งใน LPC2138 มีบัสเฟิร์ขนาดใหญ่และมีสมรรถนะการทำงานที่สูง ไทเมอร์ที่มีความหลายหลายถึง 32 บิต , วงจรแปลงจากอนาลอกเป็นดิจิตอล 8 ช่องทาง ขนาด 10 บิต ซึ่งสามารถเลือกเป็นแบบเดี่ยวหรือแบบคู่ , วงจรแปลงจากดิจิตอลเป็นอนาลอก , วงจรสร้างพัลส์วิดท์มอดดูเลชัน (Pulse Width Modulation : PWM) และ 47 ขาสัญญาณอินพุต/เอาต์พุต (GPIO) ที่ขึ้นอยู่กับระดับความไวต่อขาสัญญาณอินเทอร์รัปจากภายนอก โดยทั้งหมดนี้ทำให้ LPC2138 เหมาะสำหรับงานด้านอุตสาหกรรม และทางด้านระบบการแพทย์

2.1.1 ลักษณะทั่วไป

- ไมโครคอนโทรลเลอร์ขนาด 16/32 บิต แบบ ARM7TDMI-S™ ที่บรรจุอยู่ในตัวถังแบบ LQFP64

- หน่วยความจำแบบสแตติกแรม (Static RAM) ขนาด 32 กิโลไบต์ และหน่วยความจำโปรแกรมแบบแฟลช (Flash Program Memory) ขนาดมี 512 กิโลไบต์ การอินเทอร์เฟสหน่วยความจำแบบ 128 บิต

- โปรแกรมชิพได้ทันทีผ่าน In-System/In-Application Programming : ISP/IAP โดยใช้ซอฟต์แวร์ boot-loader ที่มีอยู่ภายในชิพ

- วงจรแปลงสัญญาณจากอนาลอกเป็นดิจิตอลขนาด 10 บิต จำนวน 8 ช่องสัญญาณ 2 ชุด โดยมีเวลาการแปลงต่ำถึง 2.44 ไมโครวินาทีต่อ 1 ช่องสัญญาณ

- วงจรแปลงสัญญาณดิจิตอลเป็นอนาลอกขนาด 10 บิต 1 ตัว

- ไทเมอร์/เคาท์เตอร์ ขนาด 32 บิต จำนวน 2 ชุด (มีช่องสัญญาณแคปเจอร์และคอมแพร์อย่างละ 4 ช่องสัญญาณ) , วงจรสร้างพัลส์วิดท์มอดดูเลชัน (PWM unit) จำนวน 6 เอาต์พุต และมีวอตช์ด็อกไทมเมอร์ (watchdog timer)

- วงจรสัญญาณนาฬิกาตามเวลาจริง (Real-Time clock) ที่กินกำลังต่ำ และสามารถใช้คริสตัลภายนอกขนาด 32 กิโลเฮิร์ต

- โมดูลควบคุมอินเตอร์รัปต์ด้วยรูปร่างลำดับก่อนหลังและที่อยู่แอดเดรส

- มีขาสัญญาณอินพุตที่รองรับสัญญาณได้ถึง 5 โวลต์ 47 ขา

- สามารถขยายได้เป็น 9 ระดับต่อความไวของหน่วยอินเตอร์รัปต์ภายนอก

- หน่วยประมวลผลกลางความถี่สูงสุด 60 เมกกะเฮิร์ต โดยการเขียนคำสั่งบนชิปที่ใช้วงจรเฟสล็อกกลูป (PLL) ภายในตัว

- มีวงจรออสซิลเลเตอร์ภายในชิปปฏิบัติการที่สามารถต่อคริสตัลภายนอกด้วยความถี่ 1 ถึง 30 เมกกะเฮิร์ต หรือ ต่อวงจรออสซิลเลเตอร์จากภายนอกด้วยความถี่ 1 ถึง 50 เมกกะเฮิร์ต

- โหมดประหยัดพลังงาน 2 โหมดได้แก่ Idle และ Power-down

- สามารถกำหนดอนเนเบิลหรือดิสเอเบิลในแต่ละฟังก์ชัน

- สามารถปลุกการทำงานได้ผ่านทางอินเตอร์รัปต์ภายนอกหรือใช้นาฬิกาตามเวลาจริง (real-time clock)

- จ่ายกำลังไฟฟ้ด้วยโหมดพาวเวอร์ออนรีเซต (Power-On Reset : POR) และการป้องกันการไหม้ของวงจร (Brown-Out Detection)

- หน่วยประมวลผลกลางปฏิบัติการด้วยแรงดัน 3 ถึง 3.6 โวลต์ ($3.3 \text{ V} \pm 10\%$) และระยะห่างระหว่างขาสัญญาณแบบแรงดันขนาด 5 โวลต์สำหรับขาสัญญาณอินพุตเอาต์พุต

2.1.2 การประยุกต์ใช้งาน

- งานควบคุมอุตสาหกรรม (Industrial Control)

- งานทางการแพทย์ (Medical Systems)

- งานควบคุมโดยตรง (Access control)

- งานด้านการสื่อสาร (Commynication gateway)

- โมเด็มแบบฝังตัวในระบบ

- งานด้านการประยุกต์ทั่วไป

2.1.3 สถาปัตยกรรม LPC2138

ไมโครคอนโทรลเลอร์ LPC2138 ประกอบด้วยหน่วยประมวลผลกลางและการสนับสนุนระบบต่าง ๆ แบบ ARM7TDMI-S ซึ่งระบบต่าง ๆ นั้นประกอบไปด้วยโคคลอบััสสำหรับอินเตอร์เฟซกับหน่วยความจำบนชิป, AMBA Advanced High-performance Bus : AHB สำหรับอินเตอร์เฟซกับอินเตอร์รัปต์ของตัวควบคุม, VLSI Peripheral Bus : VPB ใช้สำหรับการเข้ากันได้ของ ARM's AMBA Advanced Peripheral Bus สำหรับการติดต่อกับฟังก์ชันภายนอก

อุปกรณ์พ่วงต่อที่ใช้ AHB ในการสื่อสารถูกแบ่งให้อยู่ในพื้นที่แอดเดรส 2 เมกกะไบต์ที่อยู่ส่วนบนสุดของหน่วยความจำ 4 กิกะไบต์ของ ARM ในแต่ละอุปกรณ์ที่เชื่อมต่อด้วย AHB จะอยู่

ในพื้นที่ของแอดเดรสขนาด 16 กิโลบิต ส่วนฟังก์ชันภายนอกของ LPC2138 จะถูกเชื่อมต่อด้วย บัสแบบ VPB Bus การสื่อสารระหว่าง AHB กับ VPB จะผ่านตัวเชื่อมต่อที่เรียกว่า AHB-to-VPB Bridge อุปกรณ์ที่เชื่อมต่อด้วย VPB จะถูกแบ่งหน่วยความจำขนาด 2 เมกกะไบต์เริ่มต้นที่ หน่วยความจำที่ 3.5 กิกะไบต์ อุปกรณ์แต่ละตัวที่ติดต่อกับ VHB จะเก็บอยู่ในหน่วยความจำ ขนาด 16 กิโลไบต์

การกำหนดหน้าที่ของขาที่ทำการติดต่อกับอุปกรณ์ภายนอกจะกำหนดผ่านกล่องติดต่อ ขาสัญญาณ (Pin Connect Block) ที่กำหนดผ่านซอฟต์แวร์เท่านั้น

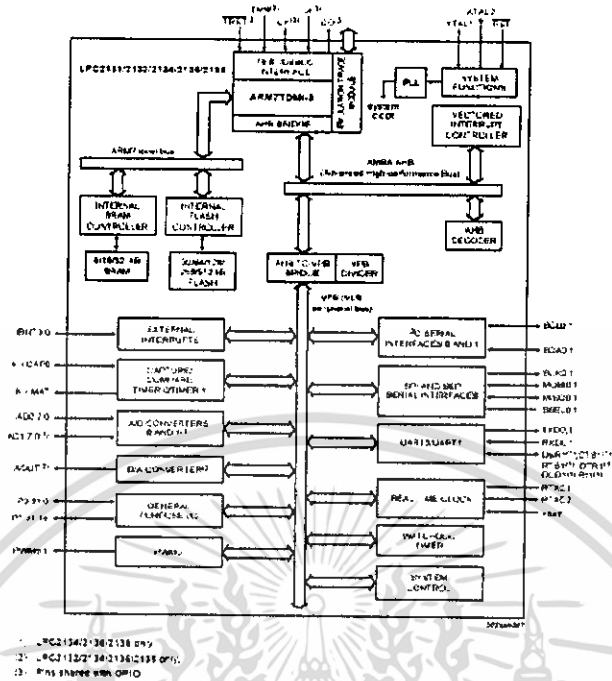
2.1.4 ตัวประมวลผลของ ARM7TDMI-S

ARM7TDMI-S เป็นไมโครโพรเซสเซอร์ขนาด 32 บิต ที่สมรรถนะในการทำงานสูงและ กินกำลังงานต่ำ สถาปัตยกรรมของ ARM อยู่บนพื้นฐานของชุดคำสั่งแบบลดรูป (RISC) ระบบ ชุดคำสั่งและตัวแปลคำสั่งมีความยุ่งยากน้อยกว่าชุดคำสั่งแบบ Complex ผลของคำสั่งที่ง่ายขึ้นนี้ทำ ให้เกิดปริมาณงานที่มากขึ้นและผลตอบสนองของ real-time interrupt จากตัวประมวลผลมีผลที่น่า พึงพอใจมากขึ้น

เทคนิคการทำงานแบบ Pipeline ถูกนำมาใช้งานทำให้ทุกส่วนของตัวประมวลผลและ ระบบหน่วยความจำสามารถทำงานได้อย่างต่อเนื่อง อย่างเช่น ขณะที่คำสั่งถูกเอกซ์คิวต์ (execute) ตัว ประมวลผลจะทำการแปลคำสั่งและคำสั่งต่อไปจะถูกอ่านจากหน่วยความจำ

ตัวประมวลผล ARM7TDMI-S จะมีลักษณะการทำงานแตกต่างจากตัวประมวลผลอย่างหนึ่ง ที่เรียกว่า THUMB จะเป็นเพิ่มจำนวนคำสั่งอย่างมีประสิทธิภาพ หัวใจการทำงานของ THUMB คือ การลดคำสั่งของคำสั่งอย่างมาก โดยสรุป ARM7TDMI-S มีชุดคำสั่งอยู่ 2 ประเภทคือ

- ชุดคำสั่งแบบทั่วไป 32 บิต
- ชุดคำสั่งแบบ THUMB 16 บิต



รูปที่ 2.1 โครงสร้างของ LPC2138

เอกสารนี้เป็นเอกสารที่สงวนไว้สำหรับการใช้งานเพื่อการศึกษาเท่านั้น ไม่อนุญาตให้นำไปใช้ประโยชน์ด้านการค้า
 ไม่ว่ากรณีใดๆ ทั้งสิ้น อีกทั้งห้ามมิให้ดัดแปลงเนื้อหา และต้องอ้างอิงถึงเจ้าของเอกสารทุกครั้งที่มีการนำไปใช้

2.2 สเต็ปป์มอเตอร์ (Stepping Motor)

มอเตอร์เป็นเครื่องมือทางอิเล็กทรอนิกส์ที่เปลี่ยนพลังงานทางไฟฟ้ามาทำให้เกิดสนามแม่เหล็กขึ้นภายในมอเตอร์แล้วไปขับเคลื่อนตัวนำอาร์เมเจอร์หมุน ทำให้เพลของมอเตอร์หมุน ซึ่งจะได้พลังงานกลออกไปใช้งาน

สเต็ปป์มอเตอร์เป็นมอเตอร์นิยมนำใช้งานที่ต้องการความแม่นยำและทิศทางที่แน่นอน เนื่องจากสเต็ปป์มอเตอร์จะเคลื่อนที่ทีละขั้น ขั้นละ 0.9 , 1.8 , 5 , 7.5 , 15 หรือ 50 องศา ซึ่งขึ้นอยู่กับคุณสมบัติแต่ละชนิดของสเต็ปป์มอเตอร์ตัวนั้น ๆ ซึ่งมันจะแตกต่างจากมอเตอร์ไฟฟ้ากระแสตรงทั่วไป (DC Motor) ที่จะหมุนแบบต่อเนื่อง ไม่สามารถหมุนเป็นแบบสเต็ปๆ ได้ ดังนั้นในการนำไปกำหนดตำแหน่งจึงควบคุมได้ยากกว่า ส่วนใหญ่จะใช้สเต็ปป์มอเตอร์มาทำการควบคุมโดยใช้วิธีในระบบดิจิทัล เช่น ระบบขับเคลื่อนหัวแม่พิมพ์ในพรินเตอร์ (Printer) ระบบขับเคลื่อนตำแหน่งของปากกาในพล็อตเตอร์ (X-Y Plotter) ระบบขับเคลื่อนหัวอ่านในเครื่องอ่านบันทึกดิสก์ไดรฟ์ (Disk drive)



รูปที่ 2.2 รูปสเต็ปป์มอเตอร์

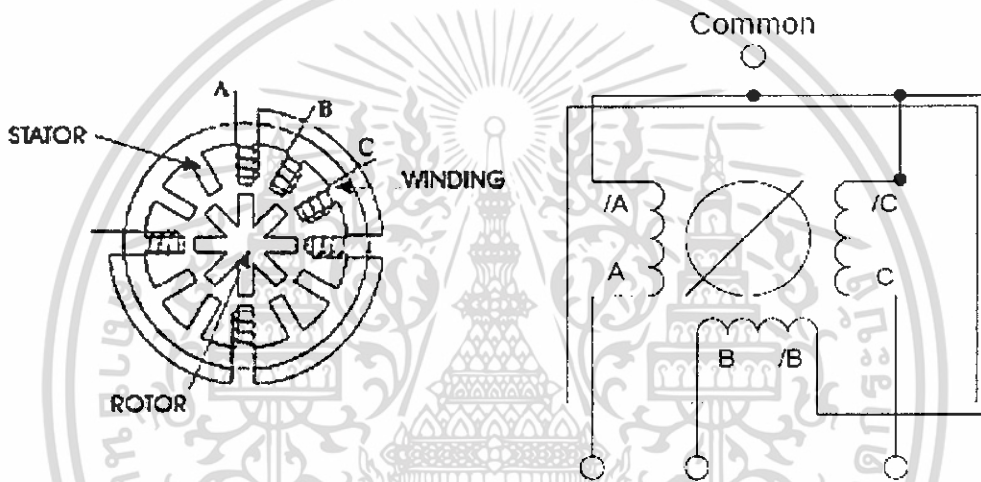
ข้อดีของสเต็ปป์มอเตอร์เมื่อเปรียบเทียบกับมอเตอร์กระแสตรง

1. การควบคุม ไม่ต้องอาศัยตัวตรวจจับการหมุน
2. ไม่ต้องใช้แปรงถ่าน ดังนั้นจึงทำให้ไม่มีส่วนที่จะต้องสึกหรอ และปัญหาของการสปาร์คที่ทำให้เกิดสัญญาณรบกวน
3. การควบคุมโดยทางวงจรดิจิทัลหรือไมโครโพรเซสเซอร์ ทำได้ง่าย และสะดวก

2.2.1 ชนิดของสเต็ปมอเตอร์ที่พบในปัจจุบันมี 3 ลักษณะดังนี้

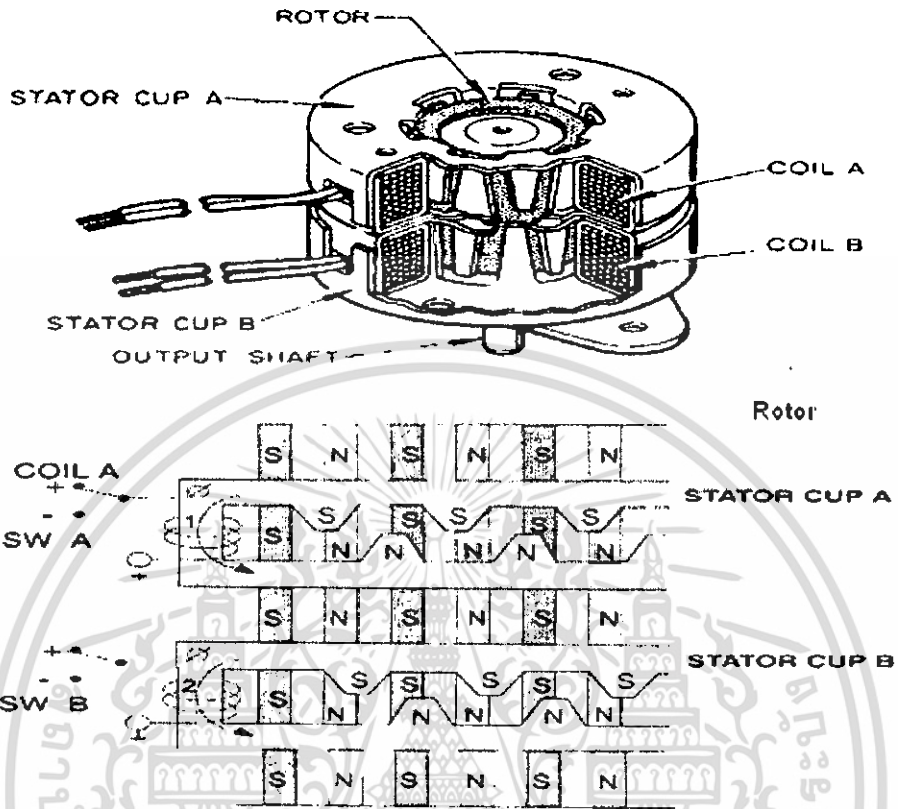
2.2.1.1 วาไรเอเบิลรีลักแตนซ์ (Variable Reluctance : VR) โรเตอร์(Rotor) ทำด้วยเหล็กอ่อนรูปทรงกระบอกและทำเป็นลักษณะฟัน (teeth) สเตเตอร์(Stator)จะมีลวดพันและจะทำเป็นลักษณะของฟันเช่นกัน เมื่อจ่ายกระแส ไฟฟ้าให้กับขดลวดที่สเตเตอร์จะเกิดเป็นขั้วแม่เหล็กที่ฟันของสเตเตอร์และเหนี่ยวนำให้ฟันของโรเตอร์เกิด เป็นขั้วแม่เหล็กที่มีขั้วตรงกันข้ามกับสเตเตอร์

ทำให้ถึงจุดกันเกิดการหมุนของโรเตอร์ขึ้น มอเตอร์ชนิดนี้โดยปกติจะมีขนาด 3 เฟส ในบางครั้งอาจพบถึง 4 เฟส มอเตอร์ชนิดนี้ถ้าไม่จ่ายกระแสไฟฟ้าให้กับขดลวดบนสเตเตอร์ ตัวโรเตอร์จะไม่เกิดแรงดึงดูดกับสเตเตอร์ มอเตอร์ชนิดนี้ไม่นิยมนำไปใช้ในงานอุตสาหกรรมแต่ จะถูกนำไปใช้กับงานที่มีขนาดเล็ก เช่น Micro-positioning table เป็นต้น เพราะ ไม่มีส่วนที่เป็นแม่เหล็กถาวร ดังนั้นในขณะที่ไม่จ่ายกระแสไฟฟ้าให้กับขดลวดที่สเตเตอร์จึงไม่เกิดแรงดึงดูด วิธีการขับ(Driving)หรือการกระตุ้นเฟส(Phase Excitation) จะทำดังนี้คือ ต่อปลายด้านcommon เข้ากับแหล่งจ่ายไฟขั้วบวก (+) แล้วทำการสวิตซ์ให้ปลายด้าน A , B ,C ต่อลงกราวด์(Ground)ตามลำดับ ทีละปลายแล้วทำเช่นนี้เรื่อยไป แต่ถ้าต้องการให้หมุนกลับก็สวิตซ์ย้อนกลับ และในการอธิบายต่อจากนี้ไปจะไม่ขอกล่าวถึงมอเตอร์ชนิดนี้อีก



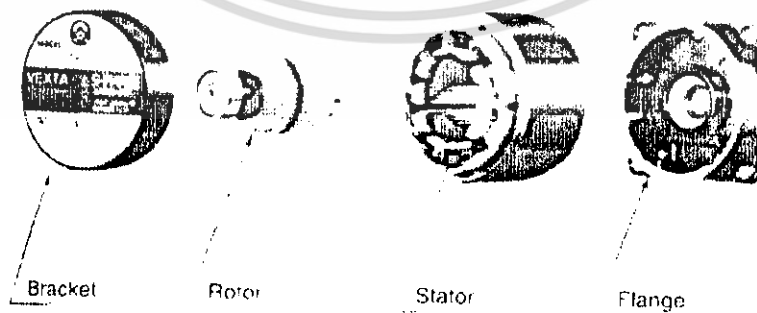
รูปที่ 2.3 ภาพแสดง โครงสร้างของสเต็ปมอเตอร์แบบวาริเวเบิลรีลักแตนซ์

2.2.1.2 แบบแม่เหล็กถาวร (Permanent Magnet ; PM) โรเตอร์(Rotor) ทำด้วยแม่เหล็กถาวร รูปทรงกระบอกเรียบ สเตเตอร์(Stator)จะมีขดลวดพัน และก็จะทำเป็นฟัน เมื่อจ่ายกระแสไฟฟ้าให้กับขดลวดที่สเตเตอร์จะเกิดเป็นขั้วแม่เหล็กที่ฟันของสเตเตอร์และจะดึงดูดกับขั้วของแม่เหล็กถาวรที่โรเตอร์ทำให้เกิดการหมุนของโรเตอร์ขึ้น มอเตอร์ชนิดนี้โดยจะมีตั้งแต่ขนาด 2 เฟสขึ้นไปมอเตอร์ชนิดนี้ไม่นิยมนำไปใช้ในงานอุตสาหกรรมแต่จะถูกนำไปใช้กับอุปกรณ์คอมพิวเตอร์เช่นตัวจับวงล้อที่ใช้หมุนเพื่อเลื่อนกระดาษของเครื่องพิมพ์ เป็นต้นเพราะความเร็วต่ำแรงบิดต่ำ และนอกจากนี้ด้วยโครงสร้างของมอเตอร์ชนิดนี้ทำให้มุมที่หมุนไปแต่ละสเต็ป(Step Angle)ไม่ละเอียด เช่น สเต็ปละ 3.6 ,7.5 , 15 ,18 องศา เป็นต้น มอเตอร์ชนิดนี้ถึงไม่จ่ายกระแสไฟฟ้าให้กับขดลวดบนสเตเตอร์ (Stator) ตัวโรเตอร์จะเกิดแรงดึงดูดกับสเตเตอร์ซึ่งเกิดจากอำนาจของแม่เหล็กถาวรที่โรเตอร์ทำ ให้หมุนได้ยาก จำนวนขั้วแม่เหล็กที่โรเตอร์สามารถ นับได้จากจำนวนขั้วแม่เหล็กที่จะเกิดขึ้นจากกระแสไฟฟ้าไหลผ่านขดลวดที่สเตเตอร์ชุดใดชุดหนึ่ง



รูปที่ 2.4 ภาพแสดง โครงสร้างของสเต็ปมอเตอร์แบบแม่เหล็กถาวร

2.2.1.3 แบบผสม (Hybrid : HB) ใช้หลักการทำงานของทั้งสองแบบมาออกแบบโดยที่สเตเตอร์จะคล้ายกับแบบ VR ส่วนโรเตอร์จะคล้ายแบบ PM แต่จะทำเป็นฟัน มอเตอร์แบบนี้นิยมใช้ในงานอุตสาหกรรมเพราะแรงบิดสูง ความละเอียดของสเต็ปในการหมุนสูง , ความเร็วสูงกว่าสองแบบที่กล่าวมาแล้ว มอเตอร์ชนิดนี้โดยปกติจะมีขนาด 2 เฟส ถึง 5 เฟส และมอเตอร์ชนิดนี้ได้มีการพัฒนาให้มีประสิทธิภาพ เหนือกว่าเดิมไปอีกโดยให้ชื่อว่า “Enhanced Hybrid” ซึ่งจะไม่มีขาย



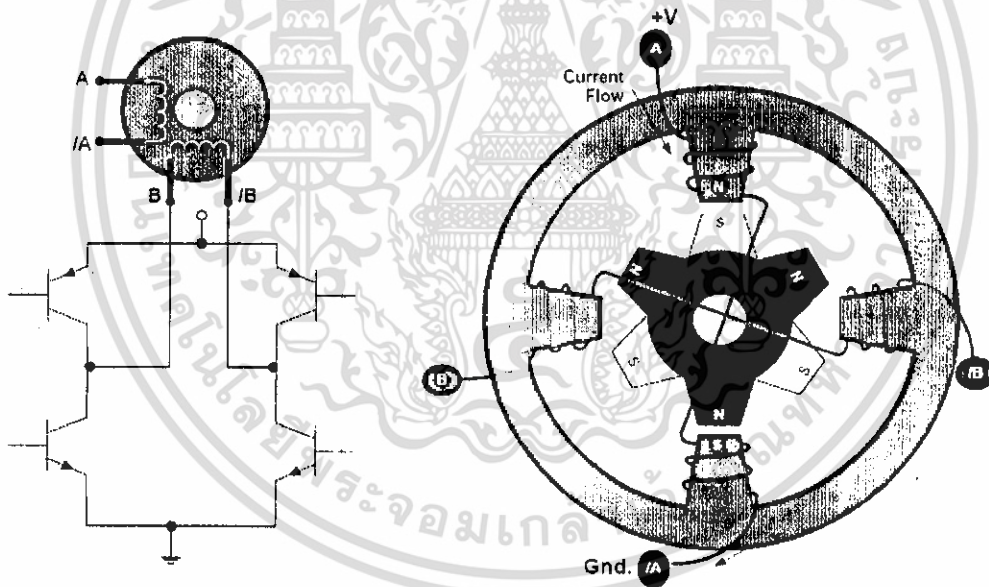
รูปที่ 2.5 สเต็ปเปอร์มอเตอร์ชนิดไฮบริดขนาด 5 เฟส

เอกสารนี้เป็นเอกสารที่สงวนไว้สำหรับการใช้งานเพื่อการศึกษาเท่านั้น ไม่อนุญาตให้นำไปใช้ประโยชน์ด้านการค้าไม่ว่ากรณีใดๆ ทั้งสิ้น อีกทั้งห้ามมิให้ตัดแปลงเนื้อหา และต้องอ้างอิงถึงเจ้าของเอกสารทุกครั้งที่มีการนำไปใช้

เฟสของสเต็ปเปอร์มอเตอร์ (Stepper Motor Phase) หมายถึง จำนวนขดลวดที่พันอยู่บนสเตเตอร์ซึ่งแยกออกจากกันอย่างอิสระ รูปที่ 2.3 แสดงตัวอย่างมอเตอร์ขนาด 3 เฟส ในกรณีของมอเตอร์แบบยูนิโพลาร์ 2 เฟสนั้นมักถูกจะเรียกเป็นมอเตอร์ขนาด 4 เฟสก็เพราะขดลวดที่พันอยู่บนสเตเตอร์แต่ละชุดจะมี 2 ขด จึงเข้าใจว่ามี 4 ขดลวด แต่ถ้าพิจารณาจริงๆจะพบว่าขดลวดทั้งสองนั้นเป็นขดลวดขดเดี่ยวแต่มีจุดต่อตรงกลางขดเท่านั้น

2.2.2 ชนิดของสเต็ปเปอร์มอเตอร์แบ่งตามลักษณะสายที่ใช้ต่อกับวงจรขับ แบ่งออกได้ 2 แบบคือ

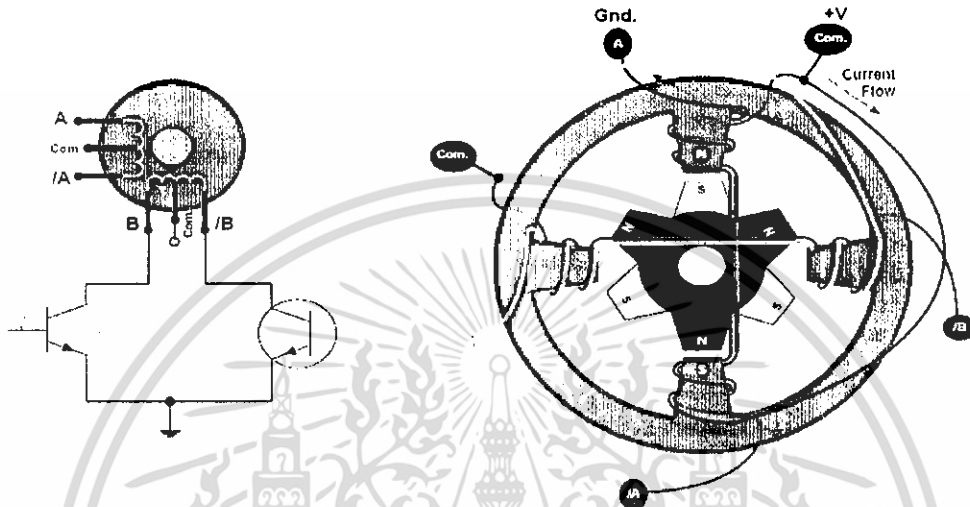
2.2.2.1 แบบไบโพลาร์ (Bipolar) ขดลวดที่สเตเตอร์แต่ละชุดจะไม่มีจุดรวม การต่อเข้ากับวงจรขับจะใช้ปลายทั้งสอง ด้านของขดลวดแต่ละชุด การทำให้เกิดขั้วแม่เหล็กที่สเตเตอร์ทำได้โดยการจ่ายกระแสไฟจากปลายด้านหนึ่งไปยังปลายอีกด้านหนึ่งของขดลวดและการเปลี่ยนขั้วแม่เหล็กที่สเตเตอร์ชุดเดียวกันนี้ก็ได้โดยสลับทิศทางการไหลของกระแสไฟฟ้านั้นเอง ดังนั้นวงจรขับที่ใช้จึงจำเป็นต้องสามารถกลับทิศทางการไหลของกระแสได้ กรณีเป็นมอเตอร์ 2 เฟสจะมีสายที่ใช้ต่อกับวงจร 4 สาย



รูปที่ 2.6 สัญลักษณ์, โครงสร้างและวงจรขับที่ใช้กับมอเตอร์แบบไบโพลาร์ 2 เฟส

2.2.2.2 แบบยูนิโพลาร์ (Unipolar) ขดลวดที่สเตเตอร์แต่ละชุดจะมีจุดรวม การพันขดลวดจะพันในแบบ Bifilar การต่อเข้ากับวงจรขับจะใช้ปลายของขดลวดแต่ละด้านต่อเข้ากับวงจรขับและใช้จุดรวมต่อเข้ากับขั้วบวกของแหล่งจ่ายไฟ การทำให้เกิดขั้วแม่เหล็กที่สเตเตอร์ทำได้โดยการจ่ายกระแสไฟให้ไหลจากจุดรวมลงกราวด์มาครบวงจรที่ปลายด้านหนึ่งของ

ขดลวด การเปลี่ยนขั้วแม่เหล็กที่สเตเตอร์ชุดเดียวกันนี้ก็ได้โดยเปลี่ยนการจ่ายกระแส ไฟฟ้า จากขดหนึ่ง ไปยังอีกขดหนึ่งของขดลวดที่พันอยู่บนสเตเตอร์ชุดเดียวกัน ดังนั้นวงจรขับจึง เป็นวงจรสวิตช์ เพื่อทำให้จ่ายกระแสไฟที่ผ่านขดลวดครบวงจรเท่านั้น กรณีเป็นมอเตอร์ 2 เฟสจะมีสายที่ใช้ต่อเข้ากับวงจร 5 หรือ 6 สาย



รูปที่ 2.7 สัญลักษณ์, โครงสร้างและวงจรขับที่ใช้กับมอเตอร์แบบยูนิโพลาร์ 2 เฟส

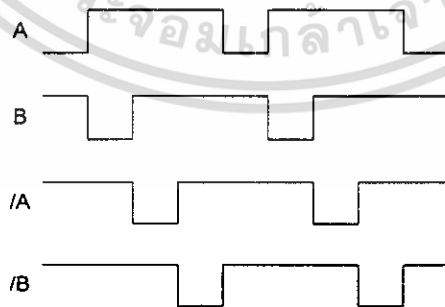
2.2.3 วิธีการขับ(Driving)หรือวิธีการกระตุ้นเฟส (Phase Excitation)

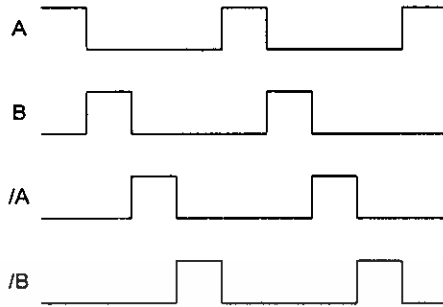
การกระตุ้นเฟสของสเต็ปเปอร์มอเตอร์คือ การจ่ายกระแสไฟฟ้าไปยังขดลวดที่สเตเตอร์ ของแต่ละเฟสเพื่อให้มอเตอร์หมุนนั่นเอง แบ่งออกเป็น 3 วิธีคือ

2.2.3.1. การกระตุ้นเฟสแบบเฟสเดียว(One phase excitation) หรือ Half Drive

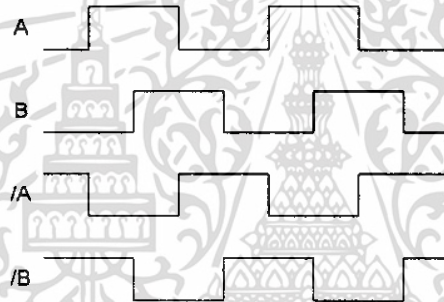
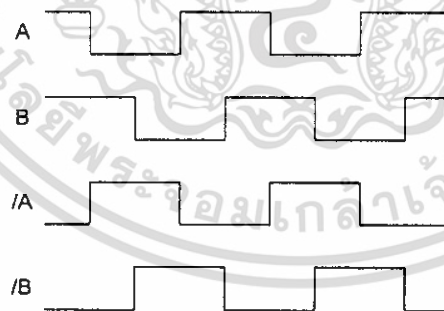
การกระตุ้นเฟสแบบนี้ทำได้โดยการจ่ายกระแสไฟฟ้าไปยัง ขดลวดบนสเตเตอร์ครึ่งละหนึ่งขด เรียงลำดับกันไปดังนี้

Unipolar Connect common to +V (Active low)



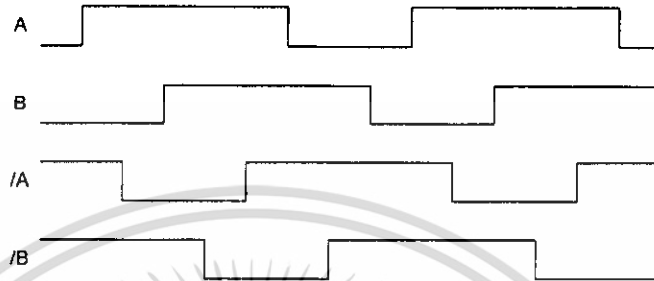
Bipolar (Active low)

2.2.3.2. การกระตุ้นเฟสแบบคู่ Two phase excitation หรือ Full Stepการกระตุ้นเฟสแบบนี้ทำได้โดยการจ่ายกระแสไฟฟ้าไปยังขดลวดครึ่งละสองขดที่อยู่ใกล้กันบนสเตเตอร์ ดังนี้

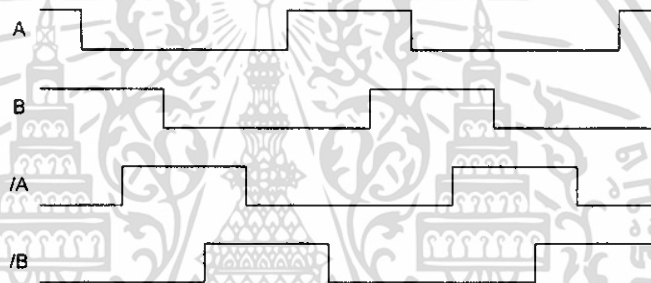
Unipolar Connect common to +V (Active low)**Bipolar (Active high)**

2.2.3.3. การกระตุ้นเฟสแบบคู่เดียว One - Two phase excitation หรือ Half Step การกระตุ้นเฟสแบบนี้ทำได้โดยการจ่ายกระแสไฟฟ้าไปยังขดลวดครึ่งละสองขดที่อยู่ใกล้กัน บนสเตเตอร์สลับกับการจ่ายกระแสไฟฟ้าครึ่งละหนึ่งขดบนสเตเตอร์ ดังนี้

Unipolar Connect common to +V (Active low)



Bipolar (Active high)



2.2.4 วิธีกำจัดแรงดันที่เกิดจากสนามแม่เหล็กขดตัว

2.2.4.1. ใช้ไดโอดมาจำกัด(Diode suppression) คือการนำไดโอดมาต่อขนานกับขดลวดนั้น ในขณะที่ทรานซิสเตอร์ on จะไม่มีกระแสไหลผ่านไดโอดเพราะเป็นการให้ไบอัสย้อนกลับแก่ไดโอด เมื่อทรานซิสเตอร์ off Back emf voltage ที่มีค่ามากกว่าแหล่งจ่ายจะถูกทำให้ลัดวงจรโดยกระแสจะไหลผ่านไดโอดและค่าความต้านทานของขดลวด เราเรียกไดโอดที่ทำหน้าที่นี้ว่า Flyback Diode หรือ Free wheeling diode



รูปที่ 2.8 วงจรที่ใช้ไดโอดมาจำกัด

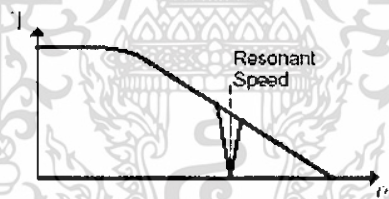
2.2.4.2. ใช้ความต้านทานร่วมกับไดโอด(Diode + Resistance suppression) คือวิธีการนี้จะทำให้เวลาที่ใช้ในการกำจัด Back emf voltage เร็วกว่าการการใช้ไดโอดเพียงอย่างเดียว การหาค่าความต้านทานหาได้ดังนี้ $R_{s(max)} = [R \cdot V_{ce(max)} / V] - 1$



รูปที่ 2.9 วงจรที่ใช้ความต้านทานร่วมกับไดโอด

2.2.5 คุณสมบัติความเร็วของสเต็ปมอเตอร์

คุณสมบัติความเร็วของสเต็ปมอเตอร์คือ เมื่อความเร็วต่ำกว่าทอร์คจะมีค่าสูง แต่ที่ความเร็วสูง ๆ และที่ความเร็วรีโซแนนซ์ ทอร์คจะมีค่าต่ำ ความเร็วรีโซแนนซ์ขึ้นกับรูปแบบการขับเคลื่อนมอเตอร์และโหลดของมอเตอร์

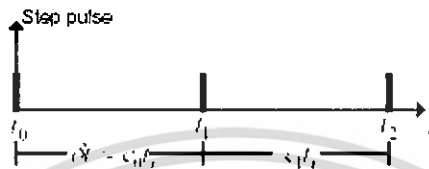


รูปที่ 2.10 Torque Vs. Speed

2.2.5.1 สมการพื้นฐานของสเต็ปปิ้งมอเตอร์

ความสำคัญของการขับเคลื่อนสเต็ปปิ้งมอเตอร์ คือ การเปลี่ยนการไหลของกระแสผ่านขดลวดแต่ละขดของสเต็ปปิ้งมอเตอร์ ซึ่งเราได้จากตัววงจรขับเคลื่อนสเต็ปปิ้งมอเตอร์ที่จะลำดับการจ่ายพัลส์ให้แก่ขดลวดในทิศทางที่ต้องการ

ในการควบคุมความเร็วคงที่ พัลส์ที่ส่งไปยังตัวขับเคลื่อนจะอยู่ในสถานะคงที่



รูปที่ 2.11 รูปลักษณะการป้อนพัลส์

ตัวเคาท์เตอร์ทำงานที่ความถี่ f_1 (Hz) คาบเวลา

$$t_1 = \frac{1}{f_1} \quad (\text{s}) \quad (2.1)$$

ช่วงเวลา δt ควบคุมด้วยค่าเคาท์เตอร์ C

$$\delta t = C_0 t = \frac{C}{f_1} \quad (2.2)$$

มุมแต่ละสเต็ป (α)

$$\alpha = \frac{2\pi}{spr} \quad (\text{rad}) \quad (2.3)$$

เมื่อ spr = จำนวนสเต็ปต่อ 1 รอบ

มุมการเคลื่อนที่ (θ)

$$\theta = n\alpha \quad (\text{rad}) \quad (2.4)$$

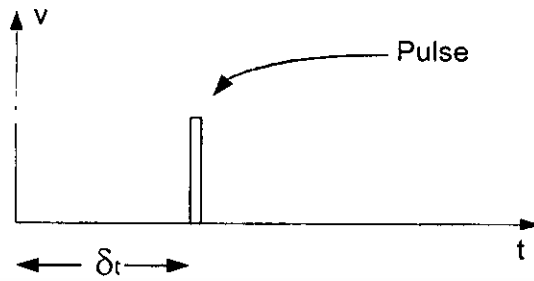
เมื่อ n = จำนวนสเต็ปต่อ 1 รอบ

ความเร็วเชิงมุมเฉลี่ยในการเคลื่อนที่ของแต่ละสเต็ป

$$\omega = \frac{\alpha}{\delta t} \quad (\text{rad/sec}) \quad (2.5)$$

$$\omega = \frac{\alpha f}{C} \quad (2.6)$$

2.2.5.2 ความสัมพันธ์ระหว่างความเร็วเชิงเส้นและความเร็วเชิงมุม



รูปที่ 2.12 ภาพแสดงการกำเนิด Pulse

โดย Δx = ระยะที่เคลื่อนทางในแต่ละสแต็ป

t = เวลาที่ใช้ในการปล่อยพัลส์

$$\frac{\Delta x}{\delta t} = V \longrightarrow \delta t = \frac{\Delta x}{V} \tag{2.7}$$

ในขณะเดียวกัน

$$\frac{\alpha}{\delta t} = \omega \longrightarrow \delta t = \frac{\alpha}{\omega} \tag{2.8}$$

$$\therefore \frac{\alpha}{\omega} = \frac{\Delta x}{V} \tag{2.9}$$

2.2.5.3 การสร้างพัลส์ของความเร็วเชิงเส้นคงที่

จาก

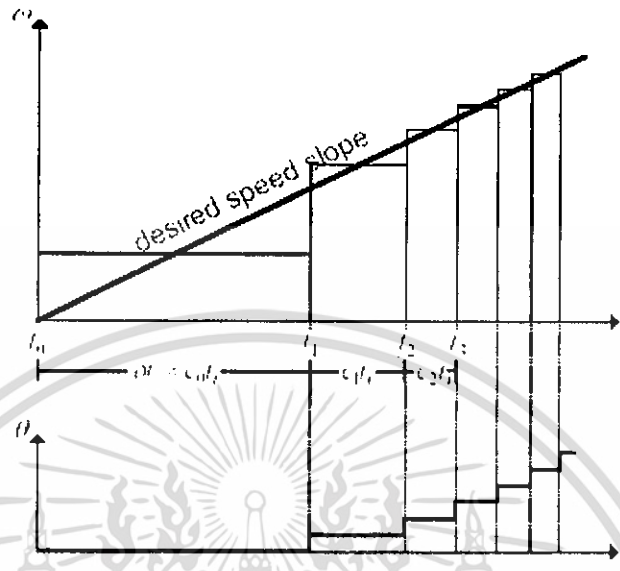
$$\begin{aligned} \frac{\alpha}{\omega} &= \frac{\Delta x}{V} \\ \omega &= \frac{\alpha \cdot V}{\Delta x} \end{aligned} \tag{2.10}$$

และ

$$\begin{aligned} \omega &= \frac{\alpha f}{C} \\ \frac{\alpha f}{C} &= \frac{\alpha \cdot V}{\Delta x} \end{aligned} \tag{2.11}$$

$$C = \frac{f \cdot \Delta x}{V} \tag{2.12}$$

2.2.5.4 การเพิ่มความเร็วแบบเชิงเส้น (ความเร่งคงที่)



รูปที่ 2.13 Speed VS. Pulse/sec

การเพิ่มความเร็วแบบเชิงเส้นนั้นเกิดจากความเร่งคงที่ โดย $\omega(t) = \omega'(t)$ อินทิเกรตความเร็วจะได้มุมของการเคลื่อนที่

$$\theta(t) = \int_0^t \omega(\tau) d\tau = \frac{\omega' t^2}{2} = n\alpha \quad (2.13)$$

โดยที่ $n \geq 0$ เมื่อ $n =$ จำนวนสเต็ปของการหมุน

$$t_n = \sqrt{\frac{2n\alpha}{\omega}} \quad (2.14)$$

ช่วงเวลาระหว่างสเต็ปที่ n และ $n+1$ ใช้สมการ (2.2)

$$C_n t_1 = t_{n+1} - t_n \quad (2.15)$$

$$C_n = f_1(t_{n+1} - t_n) \quad (2.16)$$

$$C_0 = f \sqrt{\frac{2\alpha}{\omega'}} \quad (2.17)$$

$$C_n = C_0(\sqrt{n+1} - \sqrt{n}) \quad (2.18)$$

จะเห็นว่า C_0 เป็นตัวกำหนดความเร่ง ω'

ในสมการที่ (2.18) นั้นต้องมีการคำนวณรากที่สอง จะทำให้เสียเวลาในการคำนวณ

$$\frac{C_n}{C_{n-1}} = \frac{C_0(\sqrt{n+1} - \sqrt{n})}{C_0(\sqrt{n} - \sqrt{n-1})} = \frac{\sqrt{1 + \frac{1}{n}} - 1}{1 - \sqrt{1 - \frac{1}{n}}} \quad (2.19)$$

ใช้อนุกรมเทเลอร์

$$\sqrt{1 \pm \frac{1}{n}} = 1 \pm \frac{1}{2n} - \frac{1}{8n^2} + 0 \cdot \left(\frac{1}{n^3}\right) \quad (2.20)$$

จะได้

$$\frac{C_n}{C_{n-1}} = \frac{4n-1}{4n+1} \quad (2.21)$$

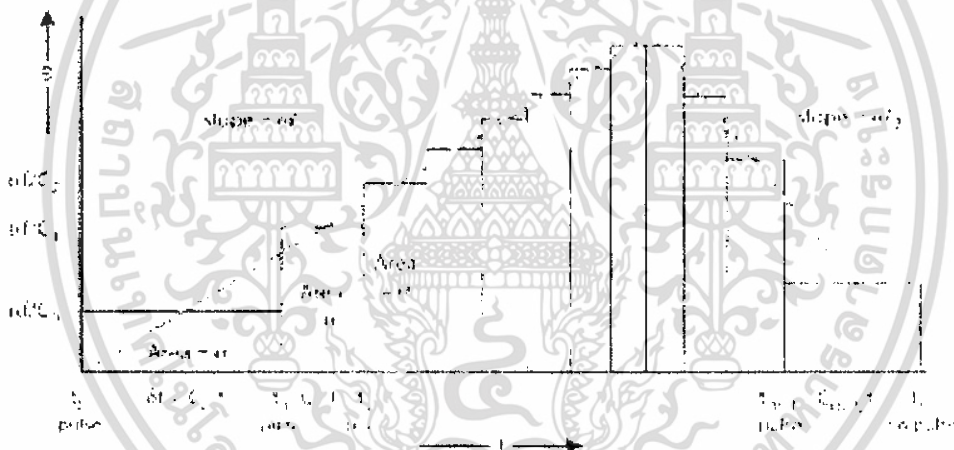
$$C_n = C_{n-1} - \frac{2C_{n-1}}{4n+1} \quad (2.22)$$

เราสามารถแยกจำนวนสตีปที่มอดอร์หมุน (i) จากจำนวนสตีปที่นับจากจุดเริ่มต้นที่ความเร็วเท่ากับศูนย์ (n) ได้ ในการเพิ่มความเร็วจากศูนย์ $n_i=i$

$$C_i = C_{i-1} - \frac{2C_{i-1}}{4n_i+1} \quad (2.23)$$

ในการลดความเร็วของสตีปมอดอร์ คือการทำให้ n_i มีค่าเป็นลบ ถ้าให้ m เป็นจำนวนสตีปที่ใช้ตั้งแต่เพิ่มความเร็วตั้งแต่ศูนย์ถึงลดความเร็วเหลือศูนย์

$$C_i = C_{i-1} - \frac{2C_{i-1}}{4(i-m)+1} \quad \text{เมื่อ } i < m \quad (2.24)$$



รูปที่ 2.14 การควบคุมโดยการเปลี่ยนแปลงความเร่ง

ความคลาดเคลื่อนจากการใช้อนุกรมเทเลอร์ แทนในสมการที่ (2.19) สามารถลดลงได้โดย

ใช้

$$C_0 = 0.676f \sqrt{\frac{2\alpha}{\omega}} \quad (2.25)$$

72161

2.2.5.5 การเปลี่ยนความถี่

จากความสัมพันธ์ $t_n = \frac{\omega_n}{\omega'}$ และ $n = \frac{\omega' t_n^2}{2\alpha}$ จะได้

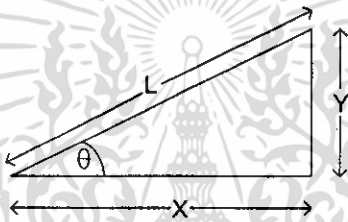
$$n = \frac{\omega^2}{2\alpha\omega'} \tag{2.26}$$

เมื่อ n = จำนวนสเต็ปที่จะต้องใช้ในการเพิ่มความถี่เพื่อให้ได้ความถี่ที่ต้องการ เมื่อเปลี่ยนความถี่ เราจะใช้ความสัมพันธ์

$$n_1\omega_1' = n_2\omega_2' \tag{2.27}$$

2.2.6 การอินเตอร์โพลชันแบบเชิงเส้นด้วยความเร็วคงที่ (Linear Interpolation at constant V)

ในการวาดเส้นตรงบนระนาบ x-y จะเกิดขึ้นได้ก็ต่อเมื่ออัตราส่วนความเร็วของแต่ละแกน x-y จะต้องมีค่าคงที่ พิจารณารูป

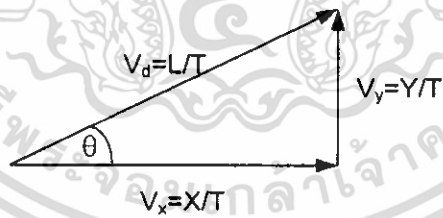


รูปที่ 2.15 ภาพแสดงความยาวของการเคลื่อนที่แต่ละแกน

$$\sin \theta = \frac{Y}{L} \tag{2.28}$$

$$\cos \theta = \frac{X}{L} \tag{2.29}$$

พิจารณาเมื่อเป็นความเร็ว โดยให้ T = เวลาที่ใช้ในการเดินทาง



รูปที่ 2.16 ภาพแสดงความเร็วของแต่ละแกน

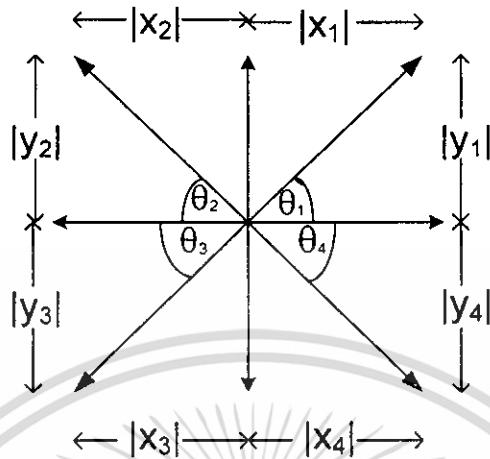
$$\sin \theta = \frac{V_y}{V_d} \tag{2.30}$$

$$\cos \theta = \frac{V_x}{V_d} \tag{2.31}$$

ดังนั้นจะได้ค่า $V_x = V_d \cos \theta = V_d \cdot \frac{X}{L} \tag{2.32}$

$$V_y = V_d \sin \theta = V_d \cdot \frac{Y}{L} \tag{2.33}$$

ภาพของเส้นตรงที่เกิดขึ้นได้



รูปที่ 2.17 ภาพแสดงความเร็วทั้งหมดที่สามารถเกิดขึ้นได้

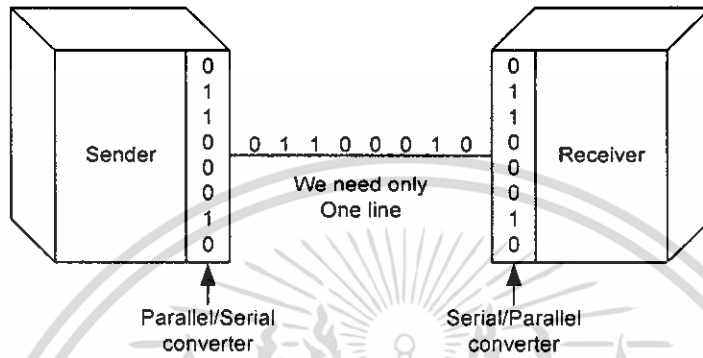
จากรูปจะได้

$$|v_x| = |v_r| \cdot \frac{|x_i|}{|L_i|} \tag{2.34}$$

$$|v_y| = |v_r| \cdot \frac{|y_i|}{|L_i|} \tag{2.35}$$

2.3 การสื่อสารข้อมูลแบบอนุกรม(Serial Transmission)

วิธีการสื่อสารข้อมูลแบบอนุกรมนั้น สัญญาณจะทยอยส่งไปตามสายสื่อสารเพียงเส้นเดียว ซึ่งแสดงได้ดังรูปที่ 2.18 จะเห็นได้ว่าบิตจะทยอยส่งออกมาทีละบิตจากคันทงไปยังปลายทาง โดยปลายทางจะทำการรวบรวมสัญญาณหรือบิตที่ทยอยส่งมาจนครบ 8 บิต หรือ 1 ไบท์ เพื่อนำไปใช้งานต่อไป



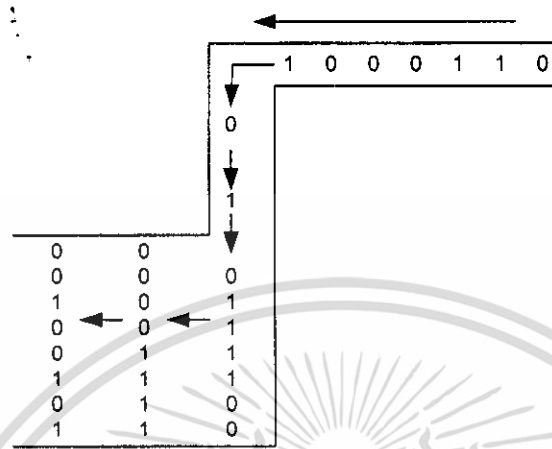
รูปที่ 2.18 การส่งข้อมูลแบบอนุกรม

2.3.1 การแปลงสัญญาณข้อมูลระหว่างแบบอนุกรมและแบบขนาน

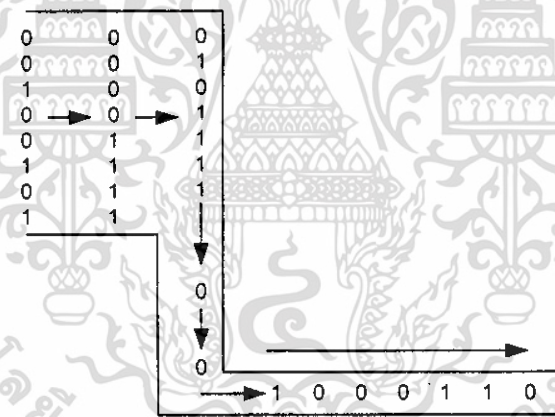
ในการแปลงรูปแบบข้อมูลระหว่างอนุกรมและขนาน จะอาศัยรีจิสเตอร์เพื่อเป็นบัฟเฟอร์ในการเก็บข้อมูลชั่วคราว เช่น ข้อมูลที่ส่งเข้ามาเป็นรูปแบบอนุกรมซึ่งจะส่งเรียงเข้ามาทีละบิต และเมื่อเข้ามาถึงปลายทาง บิตแต่ละบิตจะถูกนำมาจัดเก็บเรียงลำดับกันอยู่ในบัฟเฟอร์ จนกระทั่งครบตามจำนวนบิตที่ต้องการ เช่น เรียงกันจนครบ 8 บิต จากนั้นรีจิสเตอร์ก็จะส่งข้อมูลทั้งหมดนี้ออกไปด้วยการส่งสัญญาณให้หน่วยประมวลผลรับทราบ เพื่อให้โปรแกรมนำไบท์เหล่านั้นไปประมวลผลต่อไป ในขณะที่หากต้องการแปลงข้อมูลในรูปแบบขนานกลับไปเป็นแบบอนุกรม ก็สามารถกระทำได้ด้วยกระบวนการดังกล่าวในทิศทางตรงข้ามโดยพิจารณาจากรูปที่ 2.19 และรูปที่ 2.20 ที่แสดงขั้นตอนการแปลงข้อมูลระหว่างแบบอนุกรมและแบบขนาน ซึ่งกระบวนการแปลงสัญญาณข้อมูลเหล่านี้จะมีวงจรพิเศษที่เรียกว่า UART(Universal Asynchronous Receiver Transmitter) ที่ทำการแปลงข้อมูลแบบขนานเป็นแบบอนุกรมหรือแปลงกลับจากแบบอนุกรมเป็นแบบขนาน นอกจากนี้ยังมีวงจรที่เรียกว่า USART(Universal Synchronous/Asynchronous Receiver Transmitter) ซึ่งมีคุณสมบัติเช่นเดียวกับ UART แต่จะมีส่วนของการทำงานกับการซิงโครไนซ์ข้อมูลด้วย

ปัญหาของการส่งข้อมูลแบบอนุกรม คือเรื่องแบ่งตัวอักษรแต่ละตัวว่าจะแบ่ง ณ ตำแหน่งบิตใดซึ่งทั้งฝ่ายต้นทางและปลายทางจะต้องมีข้อตกลงร่วมกัน กล่าวคือ ทั้งฝ่ายต้นทางและปลายทางจะต้องรับรู้ร่วมกันว่าจะต้องแบ่งแต่ละตัวอักษร ณ ตำแหน่งบิตใด เนื่องจากบิตแต่ละบิต

จะทยอยส่งมาเป็นลำดับเรื่อยๆ ดังนั้น การส่งข้อมูลแบบอนุกรมจึงมีวิธีการอยู่ 2 วิธีด้วยกัน คือ “การส่งข้อมูลแบบอะซิงโครนัส” และ “การส่งข้อมูลแบบซิงโครนัส”



รูปที่ 2.19 การแปลงข้อมูลจากแบบอนุกรม ไปเป็นแบบขนาน (Serial-to-Parallel)



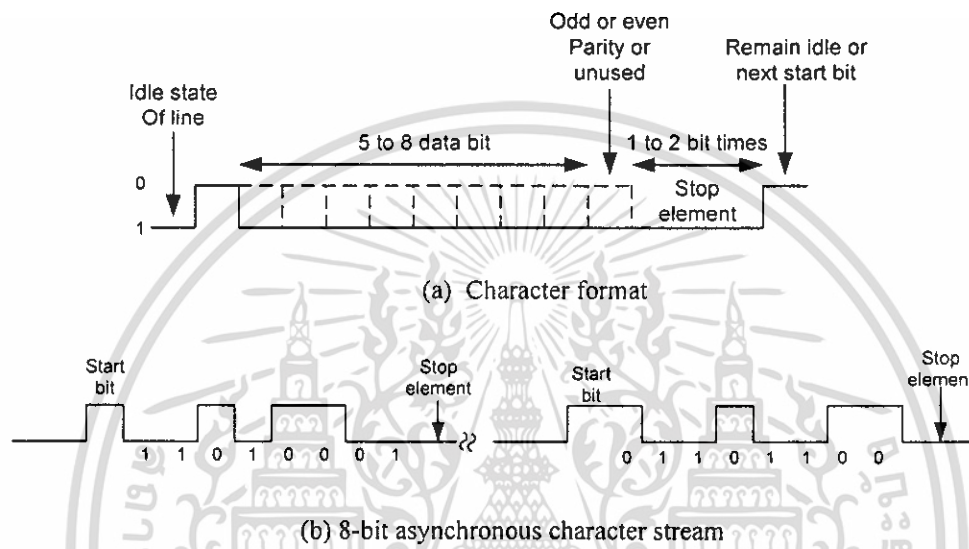
รูปที่ 2.20 การแปลงข้อมูลจากแบบขนาน ไปเป็นแบบอนุกรม (Parallel-to-Serial)

2.3.2 การส่งข้อมูลแบบอะซิงโครนัส (Asynchronous Transmission)

การส่งข้อมูลแบบอะซิงโครนัสเป็นการสื่อสารด้วยวิธีการส่งอักขระ (Character) แต่ละตัว ณ เวลาใดก็ได้ โดยฝ่ายส่งข้อมูลและฝ่ายรับข้อมูลต่างก็มีสัญญาณนาฬิกาควบคุมจังหวะการทำงานด้วยตัวเอง จึงทำให้การทำงานของทั้งสองฝ่ายไม่สอดคล้องกันตามจังหวะนาฬิกา กล่าวคือจะเป็นอิสระต่อกัน แต่อย่างไรก็ตามสัญญาณนาฬิกาทั้งสองฝ่ายนั้นจะต้องมีความถี่เท่ากัน

ในสภาวะนิ่งเฉย (Idle State) ที่ไม่มีการส่งข้อมูลใดๆ (บางครั้งเรียกสภาวะ Marking) จะถูกกำหนดให้สัญญาณมีค่าเป็น “1” แต่เมื่อมีการส่งข้อมูลระดับสัญญาณจะถูกกำหนดให้เป็น “0” อยู่

ช่วงเวลาหนึ่งทำให้เกิดเป็นบิตขึ้นมาหนึ่งบิตที่เรียกว่า บิตเริ่มต้น(Start Bit) เพื่อบ่งบอกว่านับจากนี้ไปจะมีข้อมูลส่งมา และเมื่อฝ่ายส่งได้ส่งบิตข้อมูลจนครบตามจำนวนบิตที่ต้องการแล้ว จากนั้นก็จะส่งข้อมูลอีกบิตหนึ่ง ซึ่งระดับสัญญาณจะถูกกำหนดให้เป็น “1” เป็นตัวบิตท้ายที่เรียกว่า บิตสิ้นสุด(Stop Bit) เพื่อบ่งบอกให้รู้ว่าได้ส่งข้อมูลครบแล้ว โดยสัญญาณ “1” ที่เป็นบิตสิ้นสุดนี้จะส่งมานานช่วงระยะเวลาหนึ่ง ทำให้ฝ่ายรับได้รับรู้ทันทีที่มีการส่งบิตสิ้นสุดมาแล้ว



รูปที่ 2.21 แสดงรายละเอียดของรูปแบบการส่งข้อมูลแบบอะซิงโครนัส

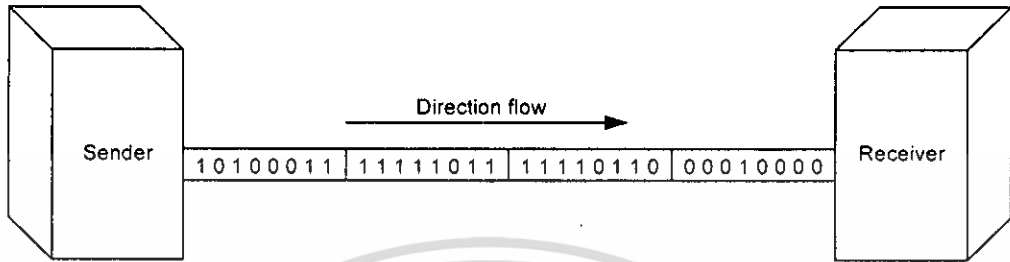
หลังจากที่ได้รับข้อมูลครบตามจำนวนบิต ตัวอักษรตัวที่สองที่จะส่งเป็นลำดับถัดไป ก็ไม่ต้องมีเวลาเท่ากันเสมอ ซึ่งหากยังไม่มียังข้อมูล สัญญาณก็จะอยู่ในสถานะนิ่งเฉยเพื่อรอการส่งข้อมูลลำดับถัดไป

2.3.3 การส่งข้อมูลแบบซิงโครนัส(Synchronous Transmission)

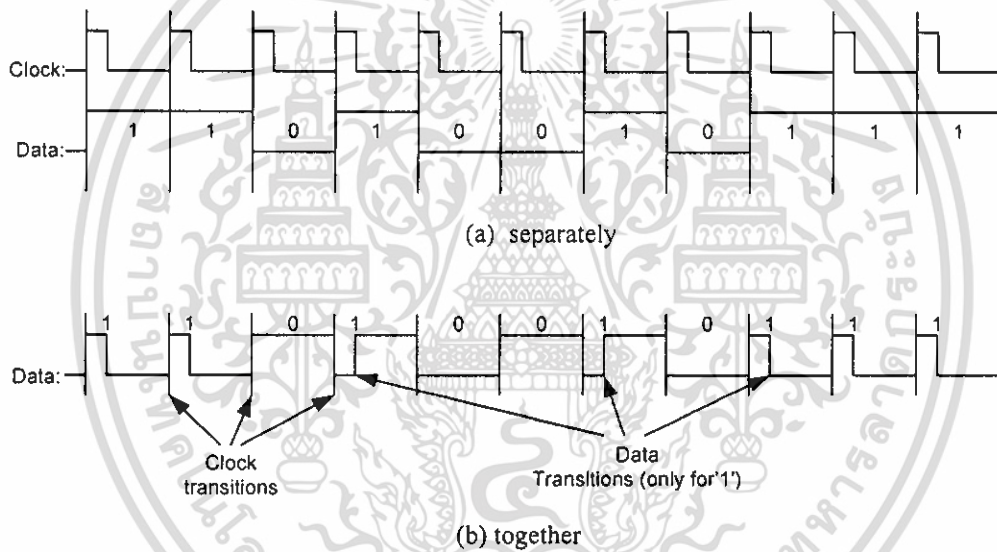
การส่งข้อมูลแบบซิงโครนัสเป็นการส่งข้อมูลแบบกลุ่ม โดยบิตที่ทยอยส่งเข้ามาจะมีการรวมกลุ่มกันให้มีขนาดใหญ่ขึ้นที่เรียกว่าเฟรมหรือบล็อกข้อมูล ซึ่งอาจจะประกอบด้วยหลายๆ อักขระด้วยกัน โดยระหว่างการส่งจะปราศจากช่องว่าง รวมถึงบิตเริ่มต้นและบิตสิ้นสุด ซึ่งทำให้ไม่มีอะไรมาคั่นระหว่างข้อมูลแต่ละตัว จึงทำให้การกะจังหวะ(Timing) กลายเป็นสิ่งสำคัญมาก สำหรับการส่งข้อมูลแบบซิงโครนัส กล่าวคือ ทั้งฝ่ายส่งข้อมูลและฝ่ายรับข้อมูลจะต้องทำงานสอดคล้องกันตามจังหวะของสัญญาณนาฬิกา โดยฝ่ายรับข้อมูลจะได้รับสัญญาณนาฬิกาจากฝ่ายส่งข้อมูล

ดังนั้นวิธีการส่งข้อมูลชนิดนี้สัญญาณนาฬิกาทั้งฝ่ายรับและฝ่ายส่งจะต้องซิงโครไนซ์กัน ฝ่ายส่งอาจส่งสัญญาณนาฬิกาแยกออกมาพร้อมกับข้อมูลดังรูปที่ 2.23(a) แต่วิธีการนี้จะใช้ได้กับ

ระยะทางไกลๆ เพราะจะเกิดปัญหาเรื่องของสัญญาณที่อ่อนตัวลง แต่ก็มีอีกวิธีหนึ่งดังรูปที่ 2.23(b) ซึ่งจะเป็นการนำเอาสัญญาณนาฬิกาพร้อมเข้ากับสัญญาณข้อมูล เช่น การเข้ารหัสแบบแมนเชสเตอร์ ในระบบแลน เป็นต้น



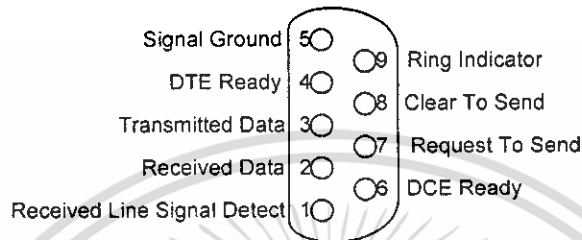
รูปที่ 2.22 ภาพแสดงการส่งข้อมูลแบบซิงโครนัสที่นำเสนอในรูปแบบอย่างง่าย



รูปที่ 2.23 ภาพแสดงการเข้าจังหวะระหว่างสัญญาณนาฬิกาและข้อมูลในการส่งข้อมูล

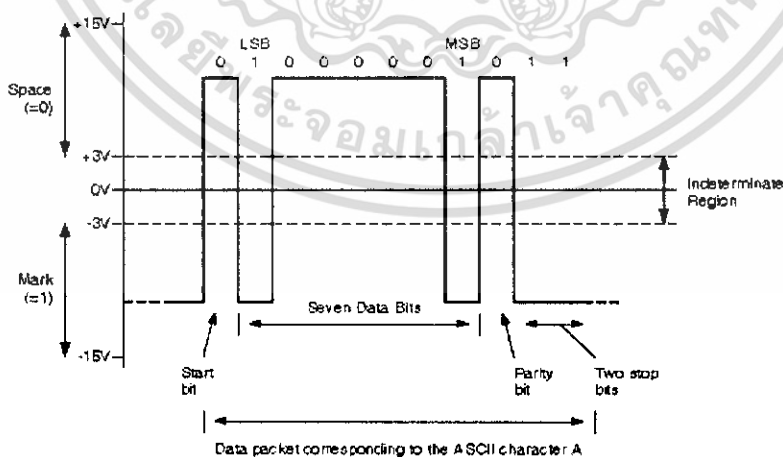
2.3.4 มาตรฐาน RS232-C

มาตรฐานRS232-Cเป็นมาตรฐานในการรับและส่งข้อมูลระหว่าง DTE (Data Terminal Equipment)กับ DCE (Data Communication Equipment) โดยใช้เทคนิคการสื่อสารไบนารีแบบอนุกรม โดยการสื่อสารแบบอนุกรมที่นิยมใช้กับเครื่องคอมพิวเตอร์เป็นการสื่อสารแบบอะซิงโครนัส รูปที่ 2.24 แสดงลักษณะโครงสร้างของคอนเนคเตอร์ DB-9 ที่ใช้ในการติดต่อสื่อสาร



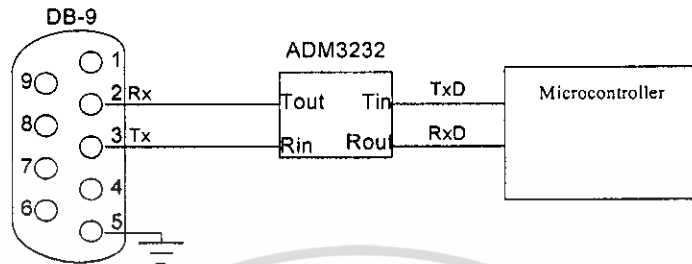
รูปที่ 2.24 แสดง โครงสร้างคอนเนคเตอร์ DB-9

- Received Line Signal Detect : ขานี้จะ active เมื่อมีการส่งสัญญาณ Carrier จาก โมเด็ม
- Received Data : ขานี้สำหรับรับข้อมูลอนุกรมจากคอมพิวเตอร์
- Transmitted Data : ขานี้สำหรับส่งข้อมูลอนุกรมจากคอมพิวเตอร์
- DTE Ready : ใช้บอกอุปกรณ์ปลายทางว่าต้องการติดต่อ
- Signal Ground : กราวด์ของวงจร
- DCE Ready : ใช้คู่กับขา DTE Ready ในการตรวจสอบการติดต่อ
- Request To Send : ใช้บอกอุปกรณ์ปลายทางให้ส่งข้อมูลกลับมาให้
- Clear To Send : ใช้ตรวจสอบว่าอุปกรณ์ปลายทางพร้อมส่งข้อมูลหรือไม่
- Ring Indicator : ขานี้จะ active เมื่อ โมเด็มได้รับสัญญาณจากโทรศัพท์



รูปที่ 2.25 แสดงระดับแรงดันที่ใช้ในการสื่อสารข้อมูลของ RS232-C

ในการเชื่อมต่อระหว่างคอมพิวเตอร์กับไมโครคอนโทรลเลอร์นั้นแต่ละส่วนมีมาตรฐานต่างกันจึงต้องทำการแปลงแรงดันให้อยู่ในมาตรฐานการใช้งานของไมโครคอนโทรลเลอร์โดยใช้วงจรรวมเบอร์ ADM3232



รูปที่ 2.26 แสดงการเชื่อมต่อระหว่างไมโครคอนโทรลเลอร์กับคอมพิวเตอร์ผ่าน RS232-C

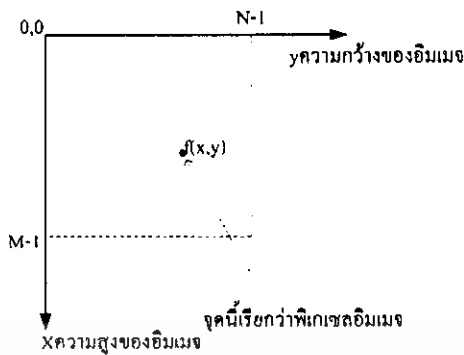
2.4 การทำกระบวนการอิมเมจดิจิทัล (Digital Image Processing)

2.4.1. คำนิยามและความหมายของการทำกระบวนการอิมเมจดิจิทัล

ก่อนที่จะเข้าสู่การทำกระบวนการอิมเมจดิจิทัล จะเริ่มต้นที่อิมเมจก่อน โดยปกติแล้วสายตาของบุคคลทั่วไปจะมองเห็นภาพทิวทัศน์วิวต่าง ๆ เป็นลักษณะแบบอนาล็อก ซึ่งสามารถอธิบายได้ด้วยคณิตศาสตร์ที่มีตัวแปรแบบนับได้อย่างต่อเนื่อง แต่เครื่องคอมพิวเตอร์จะใช้เลขฐานสองเป็นหลักในการคำนวณ เมื่อนำภาพอิมเมจมาแปลงเข้าสู่เครื่องคอมพิวเตอร์

อิมเมจดิจิทัล

อิมเมจดิจิทัลเป็นผลมาจากการสุ่มค่าในระบบพิกัด Space หรือ Spatial Coordinate ดังรูปที่ 2.27 และการทำ Quantization ของค่าระดับความสว่าง (Brightness Value) หรือความเข้ม (Intensity) ระบบพิกัด Space จะใช้กับการแสดงอิมเมจดิจิทัล ซึ่งจะมีขนาดความกว้างและความสูงของอิมเมจแสดงในแกน Y และ X ตามลำดับ ส่วนจุดใด ๆ ที่วางบนระนาบ XY จะเป็นฟังก์ชัน $f(x,y)$ และเรียกว่า พิกเซล (Pixel) ที่แสดงถึงค่าระดับความเข้ม ซึ่งจะเป็นจำนวนที่นับได้จำกัด (Finite Number) แบบไม่ต่อเนื่อง หรือเรียกว่า *Discrete Quantity* ค่า Discrete Quantity เป็นผลมาจากการทำ Quantization โดยจะใช้การแปลงจากอนาล็อก (Analog) เป็นดิจิทัล (Digital)

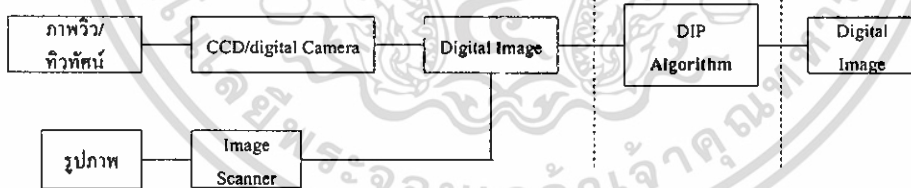


รูปที่ 2.27 ระบบพิกัด Space

2.4.2 การทำกระบวนการอิมเมจดิจิทัล

มีสองสาเหตุใหญ่ ๆ ที่ต้องการทำกระบวนการอิมเมจดิจิทัล คือเพื่อปรับปรุงอิมเมจดิจิทัลให้มองเห็นได้ง่ายขึ้น และเพื่อปรับอิมเมจให้หุ่นยนต์ตีความหมาย หรือเข้าใจจดจำรูปร่างลักษณะได้อย่างแม่นยำ ตัวอย่างเช่น การจำจำตัวอักษร หรือ Optical Character Recognition (OCR) ที่สามารถจดจำตัวอักษรได้ถึง 99.9% การปรับปรุงอิมเมจให้ใช้พื้นที่เก็บน้อยลง การตรวจสอบลายพิมพ์มือของแต่ละบุคคล เป็นต้น

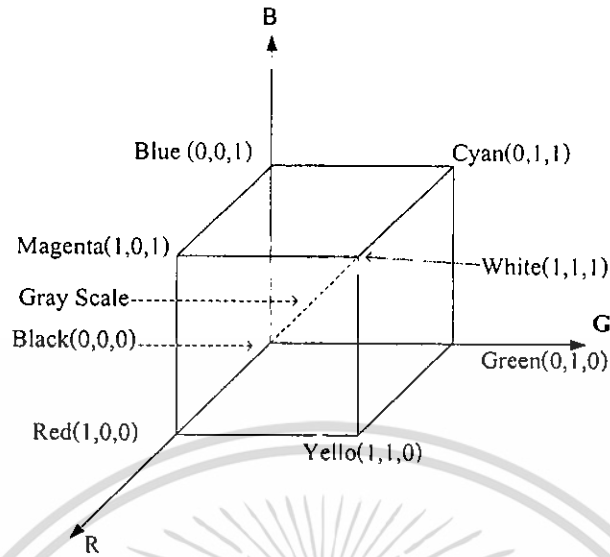
การทำกระบวนการอิมเมจดิจิทัล คือ การนำอิมเมจดิจิทัลเข้ามาทำกระบวนการ โดยการใส่ฟังก์ชันอัลกอริทึมต่าง ๆ เข้าไป ก็จะได้เอาต์พุตเป็นอิมเมจดิจิทัล ที่ตรงตามแนวความคิดของการทำกระบวนการอิมเมจดิจิทัล เราสามารถแสดงภาพตั้งแต่การนำภาพวีว ทิวทัศน์ จนถึงเอาต์พุต ดังรูปที่ 2.28



รูปที่ 2.28 การทำกระบวนการอิมเมจดิจิทัล

2.4.3 โมเดลสี (Color Model)

โมเดลสี หรือ color space ประกอบด้วย 3 แม่สีหลัก ได้แก่ สีแดง เขียว และน้ำเงิน ถ้านำแต่ละแม่สีมาพล็อตกราฟในระบบพิกัด color space โดยแต่ละสีมีค่า 0 ถึง 1 (0 แสดงถึงความมืด และ 1 แสดงถึงความสว่าง) จะได้ภาพการผสมสีทางแสดงหรือการบวกแม่สีเข้าด้วยกัน (Additive Primary Color) ดังรูปที่ 2.29



รูปที่ 2.29 โมเดลสีและการผสมสีทางแสง

ในบางครั้งถ้าต้องการแปลงโมเดลสีให้เป็นขาวดำ ซึ่งก็คือ Gray Scale จะใช้สมการที่ 2.36

$$\text{Gray Scale} = 0.299 * R + 0.587 * G + 0.114 * B \quad (2.36)$$

แต่เราสามารถใช้อีกสมการ โดยการหาค่าเฉลี่ยทั้ง 3 สี ดังนี้

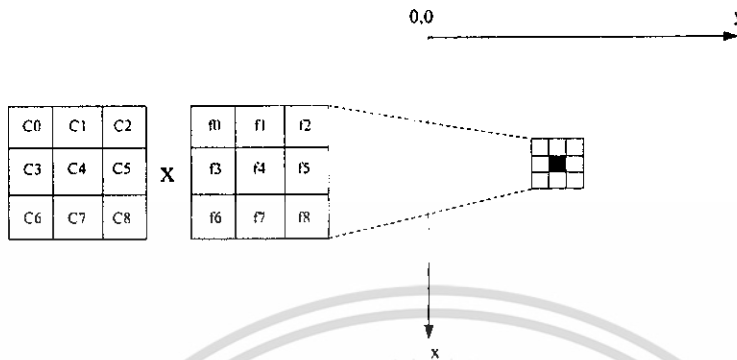
$$\text{Gray Scale} = \frac{R + G + B}{3} \quad (2.37)$$

2.4.4 การทำกระบวนการรอบ ๆ พิกเซล (Area Processing)

การทำกระบวนการนี้จะเอาค่าบริเวณรอบ ๆ พิกเซลมาคำนวณ แล้วนำมาแทนค่าพิกเซลเดิม บริเวณรอบ ๆ พิกเซลนี้เรียกได้หลายๆ แบบ ตัวอย่างเช่น Filter Window , Kernel หรือ Mask ส่วนใหญ่มักจะนิยมเรียก Kernel หรือ Mask การคำนวณบริเวณรอบ ๆ พิกเซล อาจเรียกว่า การทำ Convolution

การทำ Convolution คือ การหาผลรวมที่ได้ถ่วงน้ำหนักแล้วบริเวณรอบ ๆ จุดพิกเซล ค่าถ่วงน้ำหนักนี้เรียกว่า Mask Coefficient หรือ Kernel Coefficient โดยปกติจะกำหนดค่าถ่วงน้ำหนักเป็นเมตริกขนาด n x n โดย n เป็นเลขคี่ เช่น 3,5,7,... เป็นต้น เพราะว่าสามารถหาค่าจุด

พิกเซลตรงกลางได้ ในที่นี้จะใช้เมตริกขนาด 3x3 เป็นหลัก เราสามารถแสดงวิธีการคำนวณและสมการดังรูปที่ 2.30



รูปที่ 2.30 วิธีการคำนวณ Convolution

ค่าพิกเซลใหม่ $f'(4)$ จะเท่ากับ $(c_0f_0+c_1f_1+c_2f_2+c_3f_3+c_4f_4+c_5f_5+c_6f_6+c_7f_7+c_8f_8)$

หรือ
$$f'(4) = \sum_{i=0}^8 c_i f_i \tag{2.38}$$

สมการที่ (2.38) เรียกว่า Linear filter ของอิมเมจ

ผลรวมค่าถ่วงน้ำหนัก (Mask Coefficient) แสดงดังสมการ

$$\sum_{i=0}^8 c_i \tag{2.39}$$

จากสมการที่ (2.39) ค่าผลรวมถ่วงน้ำหนักจะมีผลกระทบต่อระดับความสว่างตลอดทั้งอิมเมจ โดยทั่วไปแล้วผลรวมจะเป็นค่า 1 แต่ถ้าผลรวมเท่ากับหรือน้อยกว่า 0 อิมเมจจะมีความมืดมากขึ้น ซึ่งจะพบได้ในการตรวจหาขอบอิมเมจหรือ Edge Detection

จากสมการที่ (2.38) ถ้านำมาหารด้วยสมการที่ (2.39) เราจะได้สมการฟิลเตอร์ (Filter) ในรูปแบบทั่วไป ดังนี้

$$f(4) = \frac{\sum_{i=0}^8 c_i f_i}{\sum_{i=0}^8 c_i} \tag{2.40}$$

โดยที่สมการที่ (2.40) ต้องไม่เท่ากับ 0 หรือ ถ้าเท่ากับ 0 จะเซตเป็น 1

หมายเหตุ ถ้าค่าที่คำนวณได้มีค่ามากกว่าระดับความเข้มพิกเซล จะกำหนดให้เท่ากับค่าสูงสุด และถ้าค่าที่คำนวณได้น้อยกว่าระดับความเข้มพิกเซล จะกำหนดให้เท่ากับค่า 0

ค่า Mask Coefficient สามารถกำหนดได้หลายรูปแบบ ในแต่ละรูปแบบก็จะมีผลต่อพิกเซลตลอดทั้งอิมเมจทำให้ค่า Mask Coefficient มีชื่อเรียกแตกต่างกันไป ได้แก่ Filter Low Pass, Filter High Pass , Edge Detector ซึ่งจะกล่าวเฉพาะ Edge Detector

2.4.5 การตรวจหาขอบอิมเมจ (Edge Detector)

ขอบอิมเมจ ก็คือชุดของพิกเซลต่อ ๆ กันที่วางอยู่บนขอบระหว่างพื้นที่สองส่วนของอิมเมจ ขอบอิมเมจจะช่วยให้อธิบายถึงรูปร่าง ลักษณะ ขนาด และอื่น ๆ ของอิมเมจ การตรวจหาขอบอิมเมจ เป็นก้าวแรกในการแยกอิมเมจเป็นส่วน (Image Segmentation) แล้วนำมาประกอบรวมกันเป็น ออบเจกต์หรือพื้นที่ใหม่ (Region) ในที่นี้เราจะพิจารณาการตรวจหาขอบอิมเมจด้วยอนุพันธ์ อันดับหนึ่งและสอง

อนุพันธ์อันดับหนึ่ง (First Order Derivative) ได้แก่ โอเปอเรเตอร์ Sobel , Prewitt และ Frei-Chen ส่วนอนุพันธ์อันดับสอง (First Order Derivative) ได้แก่ โอเปอเรเตอร์ Laplacian

2.4.5.1 อนุพันธ์อันดับหนึ่ง ถ้านำมาหาขอบอิมเมจในทิศทางแนวนอน และ แนวตั้ง ก็จะหาอนุพันธ์สมการที่ 1 เราเรียกว่าการหา Gradient ซึ่งเป็นเวกเตอร์เมตริก แสดงดังนี้

$$\nabla f = \begin{bmatrix} H_r(x, y) \\ H_c(x, y) \end{bmatrix} = \begin{bmatrix} \frac{\partial}{\partial x} f(x, y) \\ \frac{\partial}{\partial y} f(x, y) \end{bmatrix} \quad (2.41)$$

โดยที่ $\frac{\partial}{\partial x} f(x, y)$ จะเป็นการหาขอบอิมเมจในทิศทางแนวนอน (x) และ $\frac{\partial}{\partial y} f(x, y)$ เป็นการหาขอบอิมเมจในทิศทางแนวตั้ง (y) ถ้าหาทั้งสองทิศทาง จะเป็นขนาดของเวกเตอร์ (Magnitude Vector) ของสมการ(2.41) ซึ่งจะเขียนใหม่ได้เป็น

$$|\nabla f| = \left[H_r^2(x, y) + H_c^2(x, y) \right]^{1/2} \cong |H_r(x, y)| + |H_c(x, y)| \quad (2.42)$$

ส่วนทิศทางของการตรวจหาขอบอิมเมจได้จากสมการที่ 7

$$\theta = \tan^{-1} \left[\frac{H_c(x, y)}{H_r(x, y)} \right] \quad (2.43)$$

2.4.5.1.1 โอเปอเรเตอร์ Sobel จะใช้ค่า Mask Coefficient ดังนี้

ในทิศทางแนวนอน $H_r(x, y)$

$$\begin{bmatrix} -1 & -2 & -1 \\ 0 & 0 & 0 \\ 1 & 2 & 1 \end{bmatrix} \text{ หรือ } \begin{bmatrix} 1 & 2 & 1 \\ 0 & 0 & 0 \\ -1 & -2 & -1 \end{bmatrix}$$

ในทิศทางแนวตั้ง $H_c(x, y)$

$$\begin{bmatrix} -1 & 0 & 1 \\ -2 & 0 & 2 \\ -1 & 0 & 1 \end{bmatrix} \text{ หรือ } \begin{bmatrix} 1 & 0 & -1 \\ 2 & 0 & -2 \\ 1 & 0 & -1 \end{bmatrix}$$

2.4.5.1.2 โอเปอเรเตอร์ Prewitt จะใช้ค่า Mask Coefficient ดังนี้

ในทิศทางแนวนอน $H_r(x, y)$

$$\begin{bmatrix} -1 & -1 & -1 \\ 0 & 0 & 0 \\ 1 & 1 & 1 \end{bmatrix} \text{ หรือ } \begin{bmatrix} 1 & 1 & 1 \\ 0 & 0 & 0 \\ -1 & -1 & -1 \end{bmatrix}$$

ในทิศทางแนวตั้ง $H_c(x,y)$

$$\begin{bmatrix} -1 & 0 & 1 \\ -1 & 0 & 1 \\ -1 & 0 & 1 \end{bmatrix} \text{ หรือ } \begin{bmatrix} 1 & 0 & -1 \\ 1 & 0 & -1 \\ 1 & 0 & -1 \end{bmatrix}$$

2.4.5.1.3 โอเปอร์เรเตอร์ Fri-Chen จะใช้ค่า Mask Coefficient ดังนี้

ในทิศทางแนวนอน $H_r(x,y)$

$$\begin{bmatrix} -1 & -\sqrt{2} & -1 \\ 0 & 0 & 0 \\ 1 & \sqrt{2} & 1 \end{bmatrix} \text{ หรือ } \begin{bmatrix} 1 & \sqrt{2} & 1 \\ 0 & 0 & 0 \\ -1 & -\sqrt{2} & -1 \end{bmatrix}$$

ในทิศทางแนวตั้ง $H_c(x,y)$

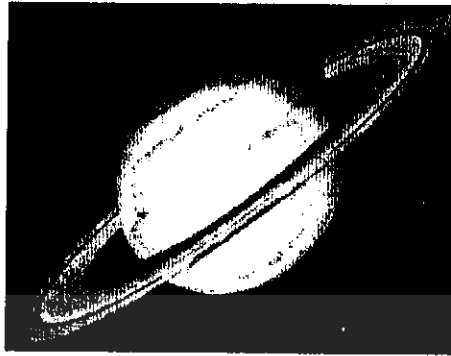
$$\begin{bmatrix} -1 & 0 & 1 \\ -\sqrt{2} & 0 & \sqrt{2} \\ -1 & 0 & 1 \end{bmatrix} \text{ หรือ } \begin{bmatrix} 1 & 0 & -1 \\ \sqrt{2} & 0 & -\sqrt{2} \\ 1 & 0 & -1 \end{bmatrix}$$

2.4.5.2 อนุพันธ์อันดับสอง โดยการนำสมการที่ (2.44) มาหาค่าอนุพันธ์อีกครั้ง จะได้สมการใหม่ดังนี้

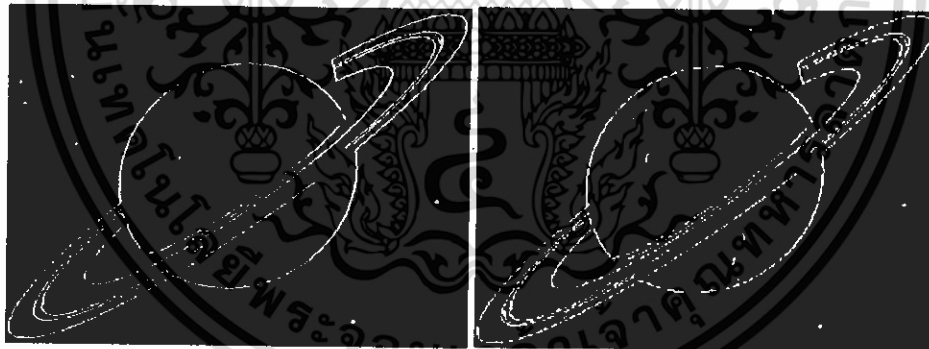
$$\nabla^2 f = \begin{bmatrix} \frac{\partial^2}{\partial x^2} f(x,y) \\ \frac{\partial^2}{\partial y^2} f(x,y) \end{bmatrix} \quad (2.44)$$

อนุพันธ์อันดับสองจะมีโอเปอร์เรเตอร์ Laplacian ซึ่งมีค่า Mask Coefficient ดังนี้

$$\begin{bmatrix} 0 & -1 & 0 \\ -1 & 4 & -1 \\ 0 & -1 & 0 \end{bmatrix} \text{ หรือ } \begin{bmatrix} -1 & -1 & -1 \\ -1 & 8 & -1 \\ -1 & -1 & -1 \end{bmatrix}$$



ก) อิมเมจต้นฉบับ

ข) ในทิศทาง H_α ค) ในทิศทาง H_γ 

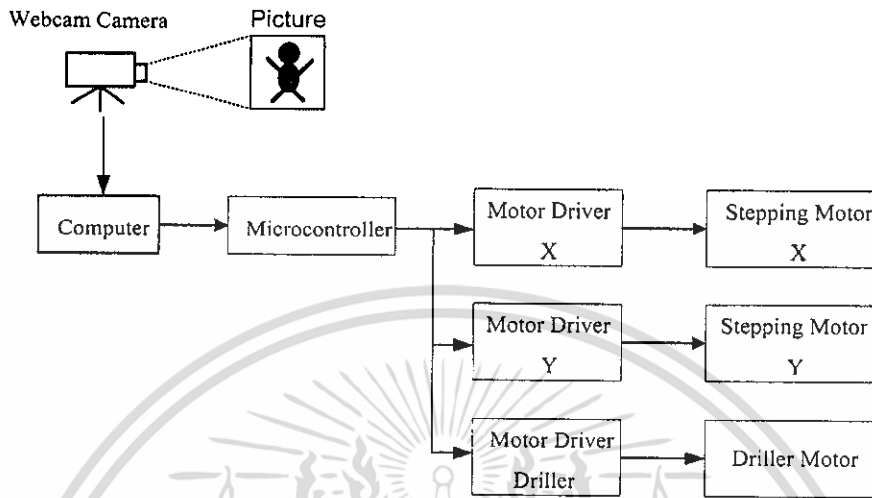
ง) การหาขอบจากโอเปอเรเตอร์ของPrewitt จ) การหาขอบจากโอเปอเรเตอร์ของSobel

รูปที่ 2.31 แสดงตัวอย่างการหาขอบภาพ

เอกสารนี้เป็นเอกสารที่สงวนไว้สำหรับการใช้งานเพื่อการศึกษาเท่านั้น ไม่อนุญาตให้นำไปใช้ประโยชน์ด้านการค้า
ไม่ว่ากรณีใดๆ ทั้งสิ้น อีกทั้งห้ามมิให้ตัดแปลงเนื้อหา และต้องอ้างอิงถึงเจ้าของเอกสารทุกครั้งที่มีการนำไปใช้

บทที่ 3 การออกแบบ

3.1 การทำงานของระบบ



รูปที่ 3.1 การทำงานโดยรวมของระบบ

ผู้ใช้งานจะกำหนดข้อมูลและคำสั่งต่างผ่าน โปรแกรมคอมพิวเตอร์ที่เขียนขึ้นมาด้วย visual basic 6.0 โดยมีกล้องเว็บแคมช่วยในการรับข้อมูลภาพจากผู้ใช้งานหลังจากนั้นคอมพิวเตอร์จะทำการประมวลผลภาพที่ได้รับจากผู้ใช้งาน เพื่อส่งข้อมูลหรือคำสั่ง ไปยังคอนโทรลเลอร์ ผ่านพอร์ต RS-232

ไมโครคอนโทรลเลอร์ที่ใช้ในโครงการชิ้นนี้คือ ARM7 เบอร์ LCP2138 โดยเมื่อไมโครคอนโทรลเลอร์ได้รับคำสั่งจากคอมพิวเตอร์แล้วนำมาประมวลเพื่อส่งพัลส์และทิศทางไปยังตัวขับเคลื่อนสเต็ปมอเตอร์แกน X และแกน Y และส่งเคลื่อนที่ส่วนหัวเจาะ การทำงานในแต่ละส่วนมีดังนี้

Motor Driver ของแกน X เป็นตัวรับสัญญาณพัลส์และทิศทางจากไมโครคอนโทรลเลอร์ เพื่อทำการส่งสัญญาณไฟฟ้าไปยังเฟสต่างๆ ของสเต็ปมอเตอร์ที่ควบคุมแกน X

Motor Driver ของแกน Y เป็นตัวรับสัญญาณพัลส์และทิศทางจากไมโครคอนโทรลเลอร์ เพื่อทำการส่งสัญญาณไฟฟ้าไปยังเฟสต่างๆ ของสเต็ปมอเตอร์ที่ควบคุมแกน Y

Motor Driver of Driller เป็นตัวรับสัญญาณควบคุมจากไมโครคอนโทรลเลอร์เพื่อส่งพัลส์และทิศทางไปยังมอเตอร์หัวเจาะ

Stepping Motor ของแกน X เป็นสเต็ปมอเตอร์ควบคุมการเคลื่อนที่ทางแกน X

Stepping Motor ของแกน Y เป็นสเต็ปมอเตอร์ควบคุมการเคลื่อนที่ทางแกน Y

Driller Motor เป็นมอเตอร์ควบคุมความสูงของหัวเจาะว่าต้องการความลึกขนาดไหน

Webcam Camera เป็นตัวจับภาพจากชิ้นงานเพื่อส่งสัญญาณภาพไปยังคอมพิวเตอร์เพื่อประมวลผลภาพต่อไป

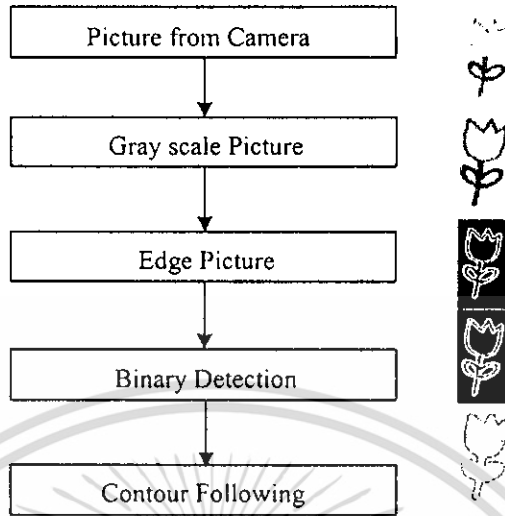
3.2 ขั้นตอนการออกแบบ

3.2.1 การออกแบบการประมวลผลภาพ

สำหรับการประมวลผลภาพ จะนำภาพดิจิทัลที่ได้จากกล้องเวปแคมซึ่งอยู่ในระบบพิกัด Space ซึ่งมีความกว้างและความสูงของภาพอยู่ในลักษณะ 2 มิติ และที่แต่ละจุดบนระนาบ xy หรือที่เรียกว่า พิกเซลจะมีค่าความสว่างหรือค่าสีที่แตกต่างกันไปในแต่ละพิกเซล ค่าความสว่างหรือค่าสีที่ได้นี้จะอยู่ในรูปของตัวเลขทางคณิตศาสตร์จึงนำค่าต่าง ๆ เหล่านี้มาผ่านการคำนวณและอัลกอริทึม ก็จะได้ดิจิทัลอิมเมจ จากนั้นนำอิมเมจดิจิทัลไปผ่านการปรับปรุงภาพเพื่อให้ลักษณะตรงตามที่เราต้องนำก่อนนำไปใช้งาน

ในการออกแบบครั้งนี้จะนำภาพที่ได้จากกล้องเวปแคมมาทำให้อยู่ในรูปของภาพความเข้มระดับเทา(Gray Scale Picture) โดยการนำค่าสีที่อยู่ในรูป RGB ที่มีอยู่ความเข้มสี Red นำมา 1 ค่า Green นำมา 1 ค่า และ Blue นำมา 1 ค่า มาแปลงให้อยู่ในค่าความเข้มระดับเทาโดยจะเหลือค่าสีเพียง 1 ค่า คือ Gray ที่มีค่าความสว่างสูงสุดหรือสีขาวเท่ากับ 255 และค่าความสว่างต่ำสุดหรือสีดำเท่ากับ 0 จากนั้นหาขอบภาพโดยนำค่าในภาพระดับเทาแต่ละพิกเซล ไปผ่านกระบวนการคำนวณด้วยวิธีการคอนโวลูชันของจุดรอบๆ พิกเซลกับ โอเปอร์เรเตอร์ที่ใช้สำหรับการหาขอบภาพ ในครั้งนี้ใช้โอเปอร์เรเตอร์ของ Sobel ซึ่งเป็นการหาอนุพันธ์อันดับหนึ่ง จากนั้นจะนำภาพความเข้มระดับเทาที่ผ่านกระบวนการคำนวณหาขอบภาพไปแบ่งเทรชโฮล (Threshold) เพื่อทำให้เป็นภาพไบนารี โดยใช้หลักที่ว่า หากค่าระดับเทามากกว่าค่าเทรชโฮลจะให้จุดนั้นมีค่าเป็น 255 แต่ถ้าน้อยกว่าค่าเทรชโฮลจะมีค่าเป็น 0 ดังนั้นจึงได้ภาพไบนารี ภาพที่ได้นี้มีค่าเพียงสองในแต่ละพิกเซลเพียง 2 ค่าเท่านั้น จากนั้นนำภาพไบนารีนี้ไปทำกระบวนการ Contour Following เพื่อหาจุดล้อมรอบขอบภาพที่เราหาได้ก่อนหน้านี้ โดยในการหาคอนทัวร์ของภาพจะใช้การเปลี่ยนค่าสีในภาพไบนารี จากค่า 0 เป็น 255 เพื่อหาขอบรอบนอกของภาพไบนารี ก่อนที่จะส่งจุดคอนทัวร์ของภาพไปให้ไมโครคอนโทรลเลอร์สั่งให้เครื่องเครื่องทำงานตามจุดต่าง ๆ ที่ผ่านกระบวนการประมวลผลภาพต่อไป

ขั้นตอนการทำงานในส่วนของการประมวลผลภาพมีดังนี้

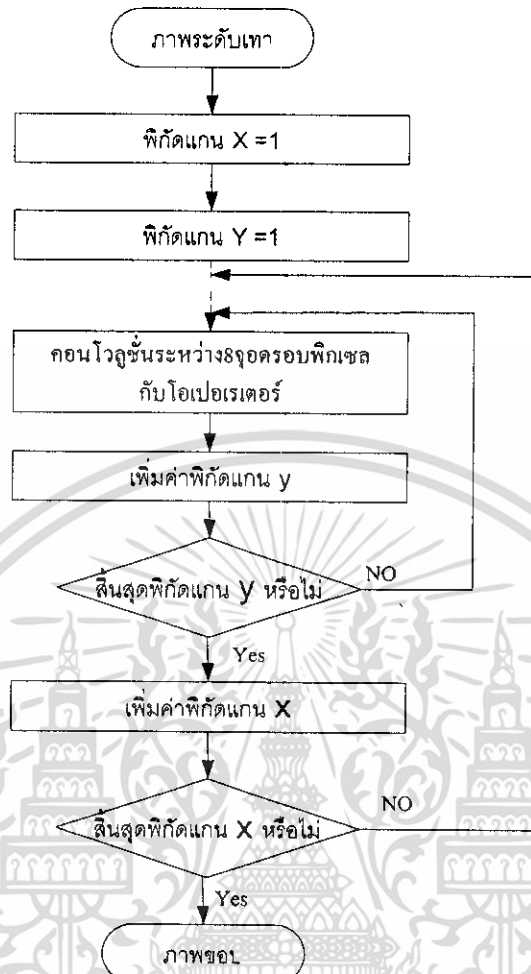


รูปที่ 3.2 ขั้นตอนการประมวลผลภาพ



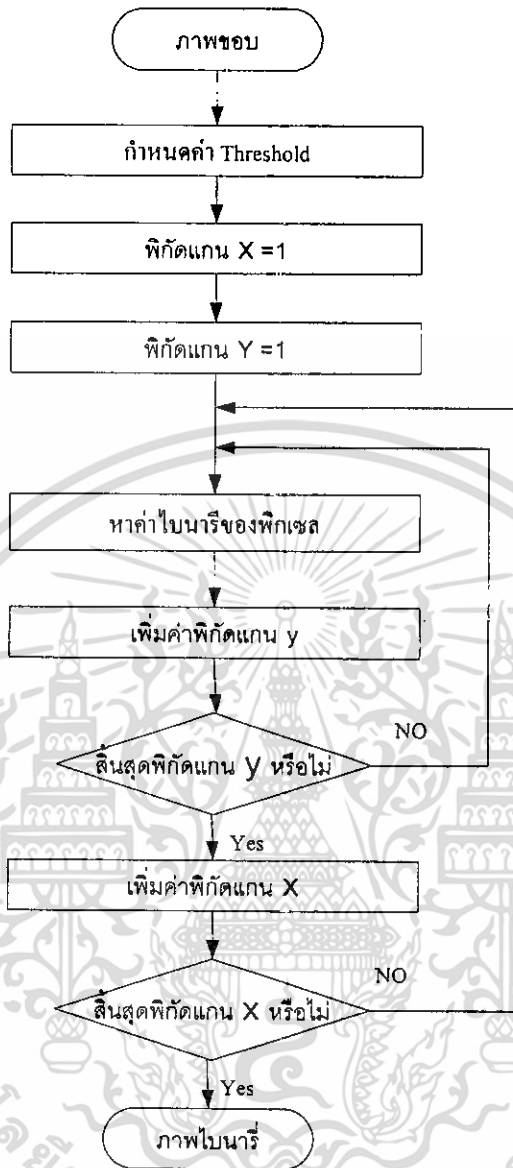
รูปที่ 3.3 โฟลวชาร์ตของการหาภาพระดับเทา

เอกสารนี้เป็นเอกสารที่สงวนไว้สำหรับการใช้งานเพื่อการศึกษาเท่านั้น ไม่อนุญาตให้นำไปใช้ประโยชน์ด้านการค้า ไม่ว่ากรณีใดๆ ทั้งสิ้น อีกทั้งห้ามมิให้ดัดแปลงเนื้อหา และต้องอ้างอิงถึงเจ้าของเอกสารทุกครั้งที่มีการนำไปใช้



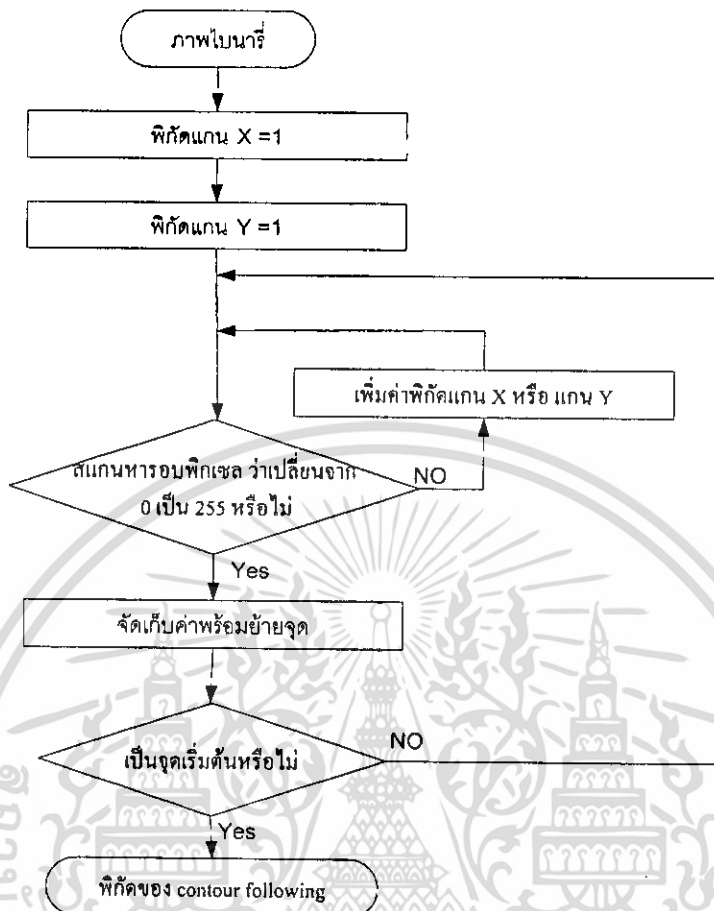
รูปที่ 3.4 โฟลวชาร์ตของการหาภาพขอบ

เอกสารนี้เป็นเอกสารที่สงวนไว้สำหรับการใช้งานเพื่อการศึกษาเท่านั้น ไม่อนุญาตให้นำไปใช้ประโยชน์ด้านการค้า
ไม่ว่ากรณีใดๆ ทั้งสิ้น อีกทั้งห้ามมิให้ดัดแปลงเนื้อหา และต้องอ้างอิงถึงเจ้าของเอกสารทุกครั้งที่มีการนำไปใช้



รูปที่ 3.4 โฟลวชาร์ตของการหาภาพไบนารี

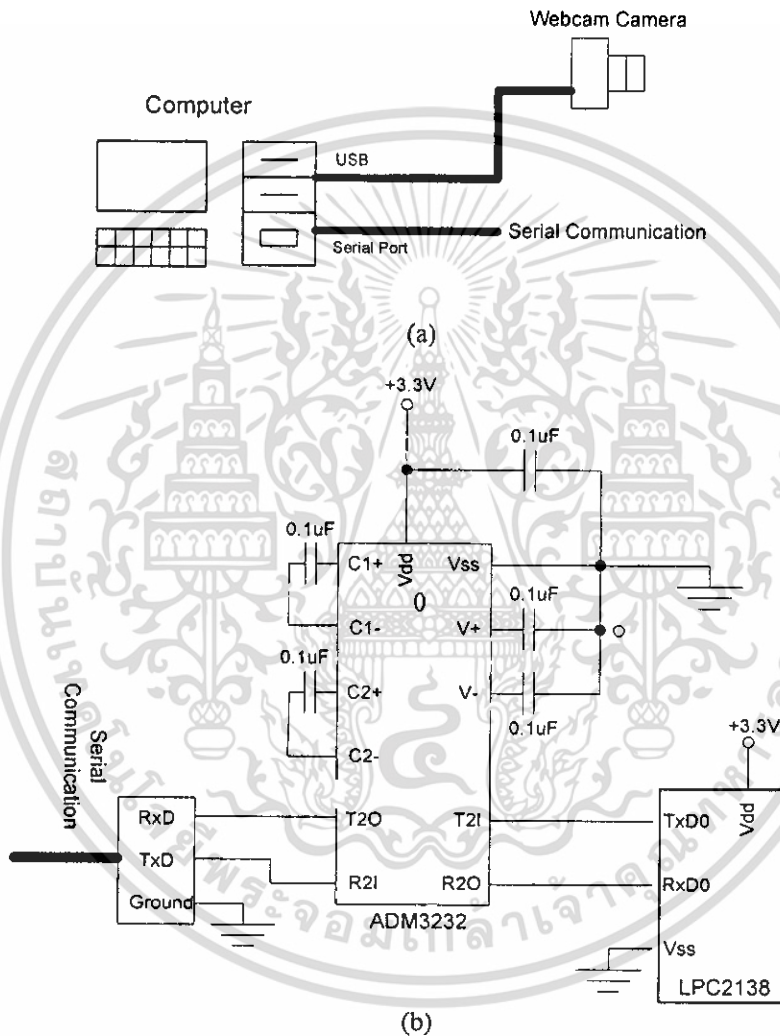
เอกสารนี้เป็นเอกสารที่สงวนไว้สำหรับการใช้งานเพื่อการศึกษาเท่านั้น ไม่อนุญาตให้นำไปใช้ประโยชน์ด้านการค้า
ไม่ว่ากรณีใดๆ ทั้งสิ้น อีกทั้งห้ามมิให้ดัดแปลงเนื้อหา และต้องอ้างอิงถึงเจ้าของเอกสารทุกครั้งที่มีการนำไปใช้



รูปที่ 3.6 โฟลวชาร์ตของการหาcontour

3.2.2 ส่วนการออกแบบการติดต่อสื่อสาร

การสื่อสารระหว่างกล้องเว็บแคมกับคอมพิวเตอร์จะติดต่อผ่านทางพอร์ตUSB ส่วนการติดต่อสื่อสารระหว่างคอมพิวเตอร์กับไมโครคอนโทรลเลอร์จะติดต่อผ่านทางพอร์ตสื่อสารอนุกรม (serial port) แสดงให้เห็นดังรูปที่ 3.7(a) ในการสื่อสารระหว่างคอมพิวเตอร์กับไมโครคอนโทรลเลอร์นั้นมีมาตรฐานของระดับแรงดันที่ใช้ในการติดต่อสื่อสารต่างกันจึงจำเป็นต้องมีวงจรรวมที่ทำหน้าที่แปลงระดับแรงดันให้สามารถติดต่อกันได้โดยใช้เบอร์ADM3232โดยแสดงดังรูปที่ 3.7 (b)



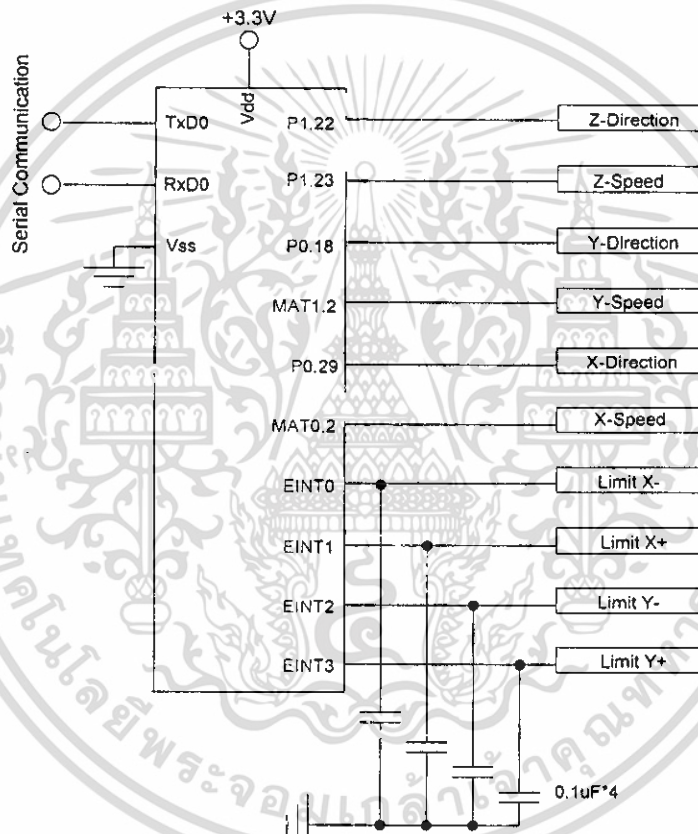
รูปที่ 3.7 แสดงการเชื่อมต่อระหว่างคอมพิวเตอร์กับกล้องเว็บแคม และไมโครคอนโทรลเลอร์

ในการสื่อสารระหว่างคอมพิวเตอร์กับไมโครคอนโทรลเลอร์เป็นการสื่อสารด้วยRS-232 ผ่านโมดูล UART ภายในไมโครคอนโทรลเลอร์ด้วยข้อมูลแบบ 8 บิต โดยการสื่อสารคอมพิวเตอร์จะส่งคำสั่งที่ต้องการมายังไมโครคอนโทรลเลอร์หากคอนโทรลเลอร์ได้รับคำสั่งแล้วจะนำไป

ดำเนินการต่อไป หากเป็นการส่งตำแหน่งคอมพิวเตอร์จะส่ง 8 บิต มา 4 ครั้ง เนื่องจากไมโครคอนโทรลเลอร์เป็นแบบ 32 บิต

3.2.3 การออกแบบวงจรส่วนของไมโครคอนโทรลเลอร์

วงจรในส่วนของไมโครคอนโทรลเลอร์จะเป็นการรับข้อมูลจากการสื่อสารอนุกรมมาทำการประมวลผลและสั่งคำสั่งควบคุมการเคลื่อนที่ของสเต็ปมอเตอร์ทั้งในแกน X, แกน Y และในแกน Z โดยเราจะป้อนพัลส์กำหนดความเร็วในการเคลื่อนที่และเลือกทิศทางการเคลื่อนที่ให้กับวงจรขับสเต็ปมอเตอร์ และยังมีกรับอินเตอร์รัปอินพุทเพื่อป้องกันการเคลื่อนที่เกินขอบเขตที่กำหนดไว้ด้วย



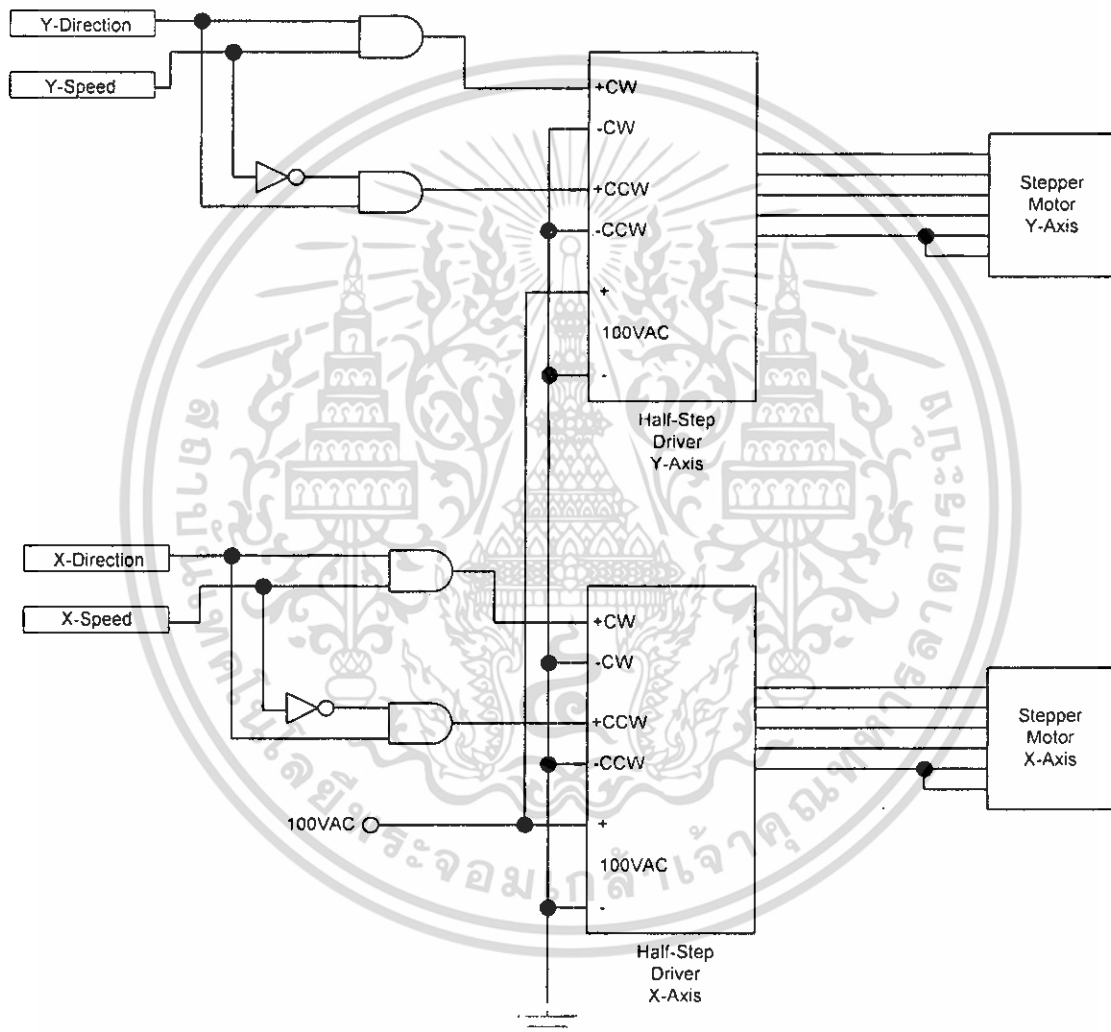
รูปที่ 3.8 แสดงวงจรเชื่อมต่อกับไมโครคอนโทรลเลอร์

จากรูปที่ 3.8 ขา P1.22 ควบคุมทิศทางการเคลื่อนที่ในแกน Z ขา P1.23 ป้อนพัลส์ให้วงจรขับสเต็ปมอเตอร์ควบคุมความเร็วการเคลื่อนที่ในแกน Z ขา P0.18 ควบคุมทิศทางการเคลื่อนที่ในแกน Y ขา MAT1.2 ป้อนพัลส์ให้วงจรขับสเต็ปมอเตอร์ควบคุมความเร็วการเคลื่อนที่ในแกน Y ขา P0.29 ควบคุมทิศทางการเคลื่อนที่ในแกน X ขา MAT0.2 ป้อนพัลส์ให้วงจรขับสเต็ปมอเตอร์ควบคุมความเร็วการเคลื่อนที่ในแกน X ขา EINT0, EINT1, EINT2, EINT3 ทำหน้าที่รับอินเตอร์รัป

อินพุทจากลิมิตสวิตช์เพื่อป้องกันการเคลื่อนที่ออกนอกขอบเขตที่ต้องการ ตัวเก็บประจุทำหน้าที่บายพาสต์สัญญาณความถี่สูงลงกราวด์เพื่อป้องกันการอิเตอร์รบกวนรบกวน

3.2.4 การออกแบบวงจรขับสเต็ปมอเตอร์

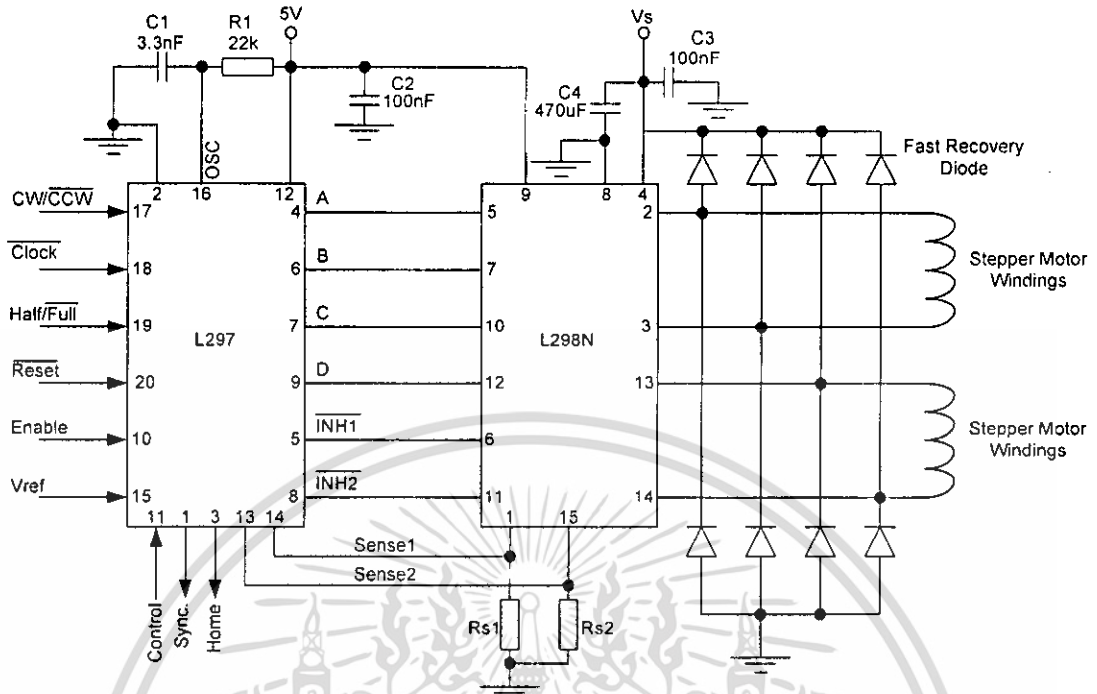
ในการทำโครงการครั้งนี้ใช้ตัวขับสเต็ปมอเตอร์แบบยูนิโพลาร์แบบสำเร็จรูปที่มีอยู่เดิมแล้วมาใช้ วงจรขับสเต็ปนี้เราจะป้อนทิศทางและพัลส์ความถี่เพื่อควบคุมความเร็ว แล้วตัวขับสเต็ปมอเตอร์จะทำการป้อนแรงดันเรียงเฟสของสเต็ปมอเตอร์โดยอัตโนมัติ



รูปที่ 3.9 แสดงวงจรขับสเต็ปมอเตอร์แบบยูนิโพลาร์

จากรูปที่ 3.9 จะเห็นได้ว่าเราจะป้อนสัญญาณลอจิก '0' หรือ '1' หลังจากนั้นสัญญาณผ่านวงจรดิจิทัลเพื่อกำหนดทิศทางและป้อนพัลส์เพื่อกำหนดความเร็ว โมดูลขับสเต็ปมอเตอร์แบบยูนิโพลาร์จะทำการจ่ายกระแสตามลำดับเฟสของสเต็ปมอเตอร์ต่อไป

การเคลื่อนที่ในแกนZเราจะใช้สเต็ปมอเตอร์แบบไบโพลาร์ ดังนั้นวงจรขับสเต็ปมอเตอร์จะแตกต่างจากแกนXและแกนY โดยวงจรจะเป็นในลักษณะตามรูปที่ 3.10 ให้นำไปใช้ประโยชน์ด้านการค้าไม่ว่ากรณีใดๆ ทั้งสิ้น อีกทั้งห้ามมิให้ดัดแปลงเนื้อหา และต้องอ้างอิงถึงเจ้าของเอกสารทุกครั้งที่มีการนำไปใช้



รูปที่ 3.10 วงจรขับสเต็ปมอเตอร์แบบไบโพลาร์

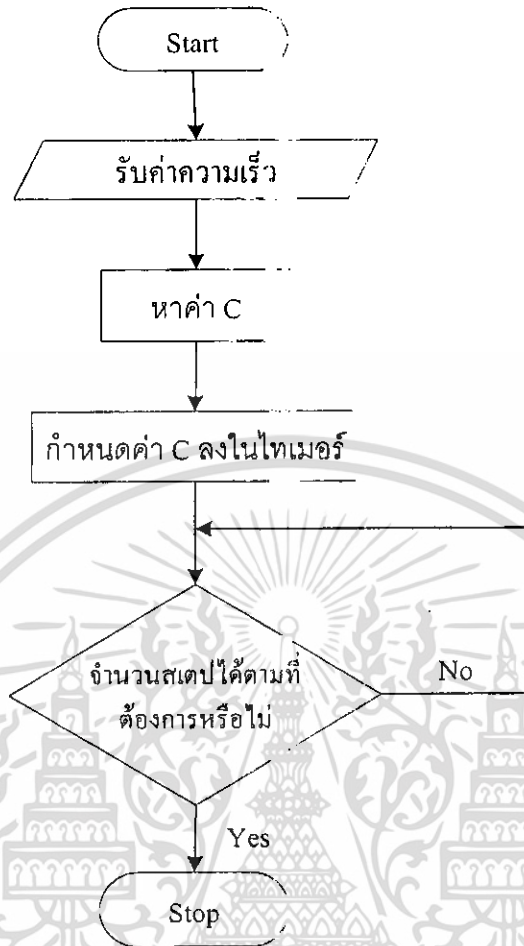
จากวงจรในรูปข้างต้นป้อนสัญญาณอินพุตคงที่ขาสัญญาณลักษณะการขับเป็นแบบครึ่งสเต็ป ป้อนลอจิก '1' ที่ขา Enable V_{ref} สามารถปรับค่าได้โดยใช้โพเทนชิโอมิเตอร์ ป้อนลอจิก '1' ที่ขา control เพื่อเลือกลักษณะการ chop ขาสัญญาณที่เหลือจะมีเลือกลักษณะการหมุนของมอเตอร์ และขาสัญญาณป้อนพัลส์เพื่อควบคุมความเร็วของมอเตอร์ ซึ่งสัญญาณจะมาจากไมโครคอนโทรลเลอร์

3.2.5 การออกแบบโปรแกรมของไมโครคอนโทรลเลอร์

เมื่อส่งพัลส์ไปยังตัวขับสเต็ปมอเตอร์แกน X และแกน Y เพื่อให้วิ่งตามความเร็วที่ต้องการ โดยใช้ความสัมพันธ์ตามสมการที่ (3.1) พร้อมทั้งมีการควบคุมจำนวนพัลส์ที่ส่งออกไป

$$C = \frac{f \cdot \Delta x}{V} \tag{3.1}$$

- โดย V = ความเร็ว(mm./sec)
- f = ความถี่ของการนับในไมโครวินาทีในไมโครคอนโทรลเลอร์
- Δx = ระยะทางการเคลื่อนที่ 1 สเต็ป(mm.)
- C = จำนวนการนับของไมโครวินาที เพื่อให้มีการส่งพัลส์ไปยังตัวขับสเต็ปมอเตอร์



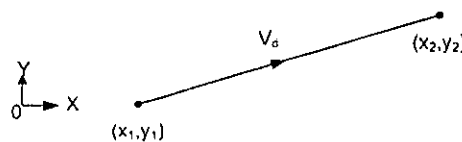
รูปที่ 3.11 โฟลวชาร์ตของโปรแกรม

3.2.6 การออกแบบการวาดเส้นตรงด้วย ไมโครคอนโทรลเลอร์ด้วยวิธี Point-to-Point
การลากเส้นแบบจุดต่อจุด (Point-to-Point) มีการวาดอยู่ 8 แบบ ด้วยกัน ดังนี้



รูปที่ 3.12 การลากเส้นแบบจุดต่อจุดแบบที่ 1

$$\begin{aligned} \Delta x &= x_2 - x_1 \\ \Delta y &= 0 \\ V_x &= V_d \\ V_y &= 0 \end{aligned}$$



รูปที่ 3.13 การลากเส้นแบบจุดต่อจุดแบบที่ 2

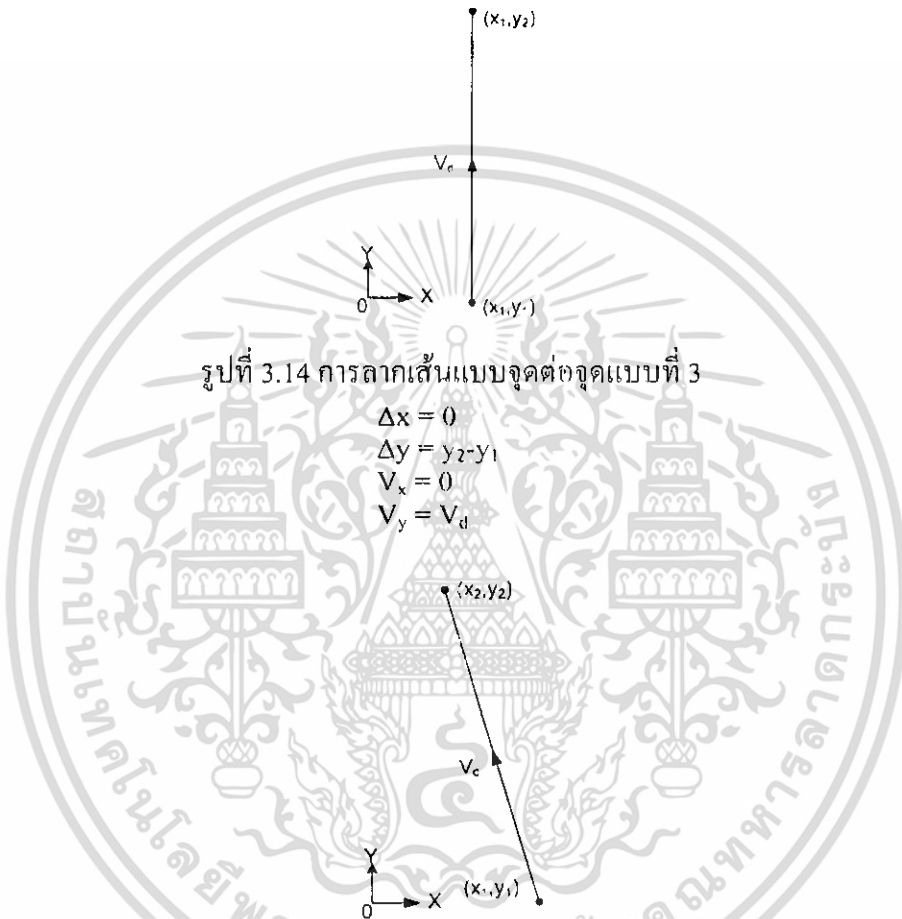
เอกสารนี้เป็นเอกสารที่สงวนไว้สำหรับการใช้งานเพื่อการศึกษาเท่านั้น ไม่อนุญาตให้นำไปใช้ประโยชน์ด้านการค้า
ไม่ว่ากรณีใดๆ ทั้งสิ้น อีกทั้งห้ามมิให้ตัดแปลงเนื้อหา และต้องอ้างอิงถึงเจ้าของเอกสารทุกครั้งที่มีการนำไปใช้

$$\Delta y = y_2 - y_1$$

$$L = \sqrt{(x_2 - x_1)^2 + (y_2 - y_1)^2}$$

$$V_x = V_d \cdot \left(\frac{x_2 - x_1}{L} \right)$$

$$V_y = V_d \cdot \left(\frac{y_2 - y_1}{L} \right)$$



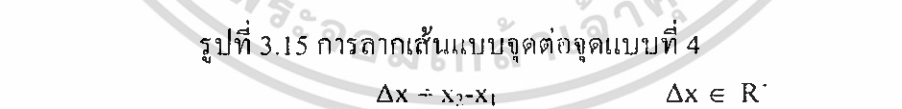
รูปที่ 3.14 การลากเส้นแบบจุดต่อจุดแบบที่ 3

$$\Delta x = 0$$

$$\Delta y = y_2 - y_1$$

$$V_x = 0$$

$$V_y = V_d$$



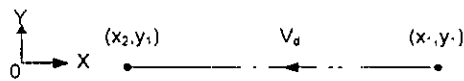
รูปที่ 3.15 การลากเส้นแบบจุดต่อจุดแบบที่ 4

$$\Delta x = x_2 - x_1 \quad \Delta x \in \mathbb{R}$$

$$\Delta y = y_2 - y_1$$

$$V_x = V_d \cdot \left(\frac{x_2 - x_1}{L} \right)$$

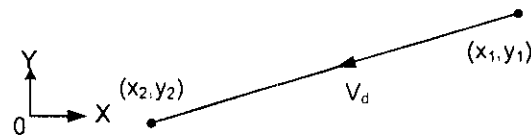
$$V_y = V_d \cdot \left(\frac{y_2 - y_1}{L} \right)$$



รูปที่ 3.16 การลากเส้นแบบจุดต่อจุดแบบที่ 5

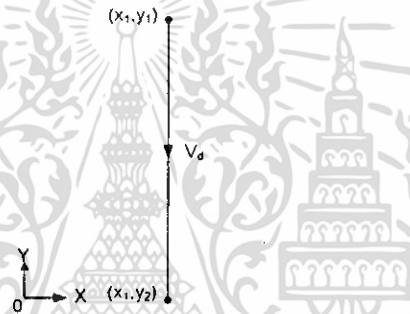
เอกสารนี้เป็นเอกสารที่สงวนไว้สำหรับการใช้งานเพื่อการศึกษาเท่านั้น ไม่อนุญาตให้นำไปใช้ประโยชน์ด้านการค้า
 $\Delta x = x_2 - x_1$ $\Delta x \in \mathbb{R}$
 ไม่ว่ากรณีใดๆ ทั้งสิ้น อีกทั้งห้ามมิให้ดัดแปลงเนื้อหา และต้องอ้างอิงถึงเจ้าของเอกสารทุกครั้งที่มีการนำไปใช้

$$\begin{aligned} \Delta y &= 0 \\ V_x &= -V_d \\ V_y &= 0 \end{aligned}$$



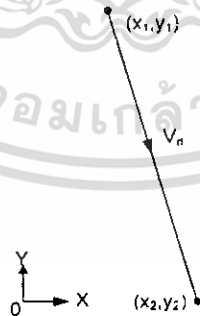
รูปที่ 3.17 การลากเส้นแบบจุดต่อจุดแบบที่ 6

$$\begin{aligned} \Delta x &= x_2 - x_1 \\ \Delta y &= y_2 - y_1 \\ V_x &= -V_d \cdot \left(\frac{x_2 - x_1}{L} \right) \\ V_y &= +V_d \cdot \left(\frac{y_2 - y_1}{L} \right) \end{aligned}$$



รูปที่ 3.18 การลากเส้นแบบจุดต่อจุดแบบที่ 7

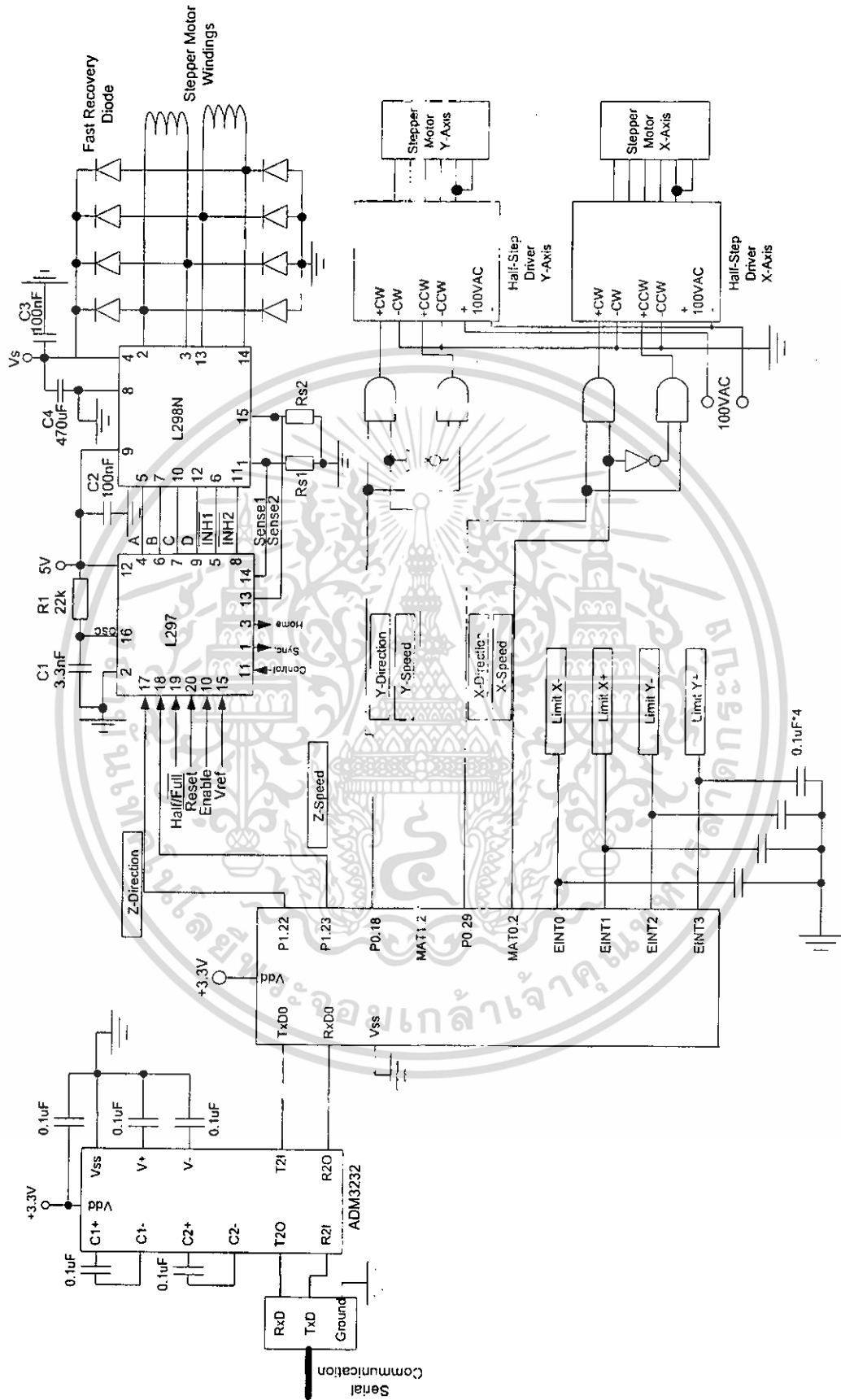
$$\begin{aligned} \Delta x &= 0 \\ \Delta y &= y_2 - y_1 & \Delta y \in \mathbb{R}^- \\ V_x &= 0 \\ V_y &= -V_d \end{aligned}$$



รูปที่ 3.19 การลากเส้นแบบจุดต่อจุดแบบที่ 8

$$\begin{aligned} \Delta x &= x_2 - x_1 \\ \Delta y &= y_2 - y_1 & \Delta y \in \mathbb{R}^+ \\ V_x &= V_d \cdot \left(\frac{x_2 - x_1}{L} \right) \\ V_y &= -V_d \cdot \left(\frac{y_2 - y_1}{L} \right) \end{aligned}$$

เอกสารนี้เป็นเอกสารที่สงวนไว้สำหรับการใช้งานเพื่อการศึกษาเท่านั้น ไม่อนุญาตให้นำไปใช้ประโยชน์ด้านการค้า
ไม่ว่ากรณีใดๆ ทั้งสิ้น อีกทั้งห้ามมิให้ดัดแปลงเนื้อหา และต้องอ้างอิงถึงเจ้าของเอกสารทุกครั้งที่มีการนำไปใช้



รูปที่ 3.20 วงจรการเชื่อมต่อทั้งหมด

เอกสารนี้เป็นเอกสารที่สงวนไว้สำหรับการใช้งานเพื่อการศึกษาเท่านั้น ไม่อนุญาตให้เผยแพร่ไปใช้ประโยชน์ด้านการค้า
ไม่ว่ากรณีใดๆ ทั้งสิ้น อีกทั้งห้ามมิให้ดัดแปลงเนื้อหา และต้องอ้างอิงถึงเจ้าของเอกสารทุกครั้งที่มีการนำไปใช้

บทที่ 4 การทดสอบและผลการทดสอบประสิทธิภาพ

4.1 การทดสอบผลการประมวลผลภาพ

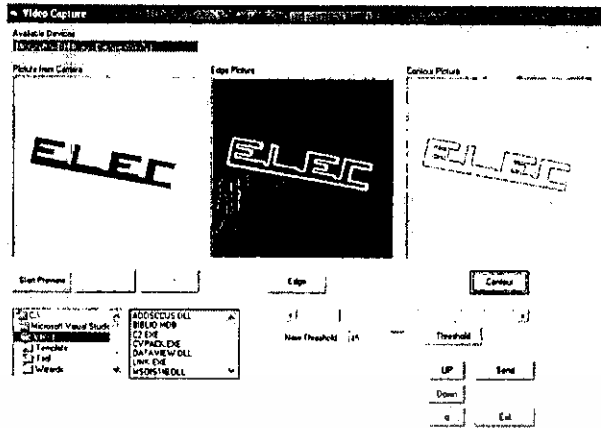
การทดสอบผลการประมวลผลภาพ ทดสอบโดยให้ตัวโปรแกรม Visual Basic 6.0 ที่ทำขึ้นมาในโครงการครั้งนี้ทำงาน แล้วทำการจับภาพของกล้องเว็บแคม แล้วนำมาประมวลผลภาพ โดยจะเปรียบเทียบกับภาพดิจิทัลที่มีไฟล์รูปภาพ โดยจะทำการทดสอบการประมวลผลภาพของการหาขอบ และการหา contour ของภาพ โดยมีผลการทดสอบดังนี้

ผลการทดสอบการหาขอบภาพพบว่า ภาพที่จับได้จากกล้องเว็บแคม เมื่อนำไปหาขอบแล้วสามารถหาขอบภาพได้ชัดเจน ซึ่งขึ้นอยู่กับค่าระดับเทรชโวลที่เรากำหนดขึ้นจากหน้าโปรแกรมที่กำลังทำงานอยู่ ดังรูปที่ 4.3 สำหรับการหาขอบภาพจากภาพดิจิทัลที่มีไฟล์รูปภาพอยู่แล้ว ดังรูปที่ 4.3 จะสามารถหาขอบภาพได้ชัดเจนกว่าภาพจากกล้องเว็บแคม

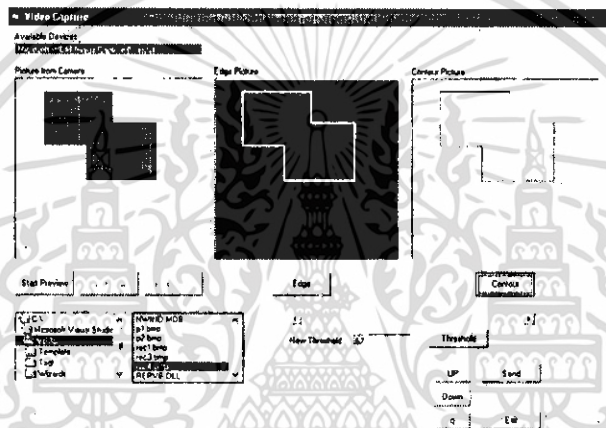
ผลการทดสอบการหา contour ของภาพพบว่า ภาพที่ได้จากกล้องเว็บแคม จะมีเส้น contour ต่างจากภาพต้นแบบไป ส่วนในภาพดิจิทัลนั้น contour ของภาพจะเป็นไปตามขอบนอกของภาพต้นแบบ



รูปที่ 4.1 ภาพที่ได้จากขั้นตอนการประมวลผลภาพ



รูปที่ 4.2 การทดสอบการประมวลผลภาพจากภาพที่ได้จากกล้องเว็บแคม



รูปที่ 4.3 การหาขอบภาพจากภาพที่มีไฟล์รูปภาพดิจิทัล

4.2 ทดสอบสเต็ป-ระยะทาง

ทำการทดสอบโดยนับพัลส์ที่ส่งออกไปเพื่อให้มอเตอร์หมุนเคลื่อนที่ไปทางแกน X เป็นระยะ 5 cm. และแกน Y เป็นระยะ 5 cm.

ตารางที่ 4.1 ผลการทดสอบสเต็ป-ระยะทางในแกน X

ครั้งที่	1	2	เฉลี่ย
พัลส์ (ลูก)	504	506	505

ดังนั้น บ่อนพัลส์ 1 ลูก เคลื่อนที่ในแกน X เป็นระยะ 99 μm . หรือประมาณ 0.1 mm.

ตารางที่ 4.2 ผลการทดสอบสเต็ป-ระยะทางในแกน Y

ครั้งที่	1	2	เฉลี่ย
พัลส์ (ลูก)	502	506	504

ดังนั้น บ่อนพัลส์ 1 ลูก เคลื่อนที่ในแกน Y เป็นระยะ 99.206 μm . หรือประมาณ 0.1 mm.

4.3 การทดสอบความเร็วและทิศทาง

กำหนดให้ C_x = จำนวนการนับไทมเมอร์เพื่อให้มีส่งพัลส์ไปยังสเต็ปปีงมอเตอร์แกน X

C_y = จำนวนการนับไทมเมอร์เพื่อให้มีส่งพัลส์ไปยังสเต็ปปีงมอเตอร์แกน Y

L = ระยะเส้นทางทั้งหมดที่เคลื่อนที่
 $= \sqrt{(x_2 - x_1)^2 + (y_2 - y_1)^2}$

$V_x = V_{max} \times \frac{dx}{L}$

$V_y = V_{max} \times \frac{dy}{L}$

จากความสัมพันธ์

$C = \frac{f \cdot \Delta x}{V}$

กำหนดให้ $f = 100\text{ k Hz}$

$\Delta x = 99.206 \mu\text{m}$

$V_{max} = 49.063 \text{ mm/s}$ ที่ $C_x, C_y = 200$ ครั้ง

$C_x = 9920.6 / V_x$

$C_y = 9920.6 / V_y$

ทดสอบทิศทางการทำงาน โดยการสั่งให้เคลื่อนที่ไปในทิศทางต่าง ๆ ตามรูป



รูปที่ 4.5 การทดสอบในทิศทางที่ 1

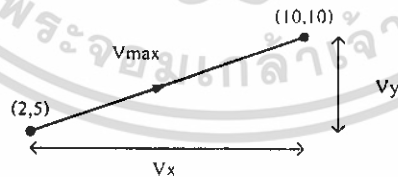
คำนวณ

$L = \sqrt{(10-2)^2 + (0-0)^2} = 8 \text{ mm.}$

$V_x = V_{max} \rightarrow C_x = 200$

$V_y = 0 \rightarrow C_y = 0$

ผลการทดสอบ ระยะที่สเต็ปปีงมอเตอร์เคลื่อนที่เท่ากับ 8 mm



รูปที่ 4.6 การทดสอบในทิศทางที่ 2

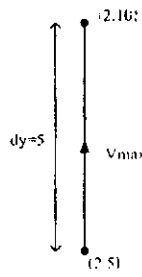
คำนวณ

$L = \sqrt{(10-2)^2 + (10-5)^2} = 9.43 \text{ mm.}$

$V_x = V_{max} \cdot \frac{8}{9.43} \rightarrow C_x = \frac{9920.6}{42.063} = 235.85$

$V_y = V_{max} \cdot \frac{5}{9.43} \rightarrow C_y = \frac{9920.6}{26.289} = 377.36$

ผลการทดสอบ ระยะที่สเต็ปปีงมอเตอร์เคลื่อนที่เท่ากับ 9.5 mm ไม่นอนุญาตให้นำไปใช้ประโยชน์ด้านการค้า ไม่ว่าจะกรณีใดๆ ทั้งสิ้น อีกทั้งห้ามมิให้ตัดแปลงเนื้อหา และต้องอ้างอิงถึงเจ้าของเอกสารทุกครั้งที่มีการนำไปใช้



รูปที่ 4.7 การทดสอบในทิศทางที่ 3

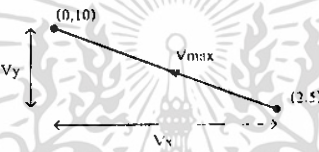
คำนวณ

$$L = \sqrt{(0-0)^2 + (10-5)^2} = 5 \text{ mm.}$$

$$V_x = 0 \quad \rightarrow \quad C_x = 0$$

$$V_y = V_{\max} \quad \rightarrow \quad C_y = 200$$

ผลการทดสอบ ระยะที่สตีปิ้งมอเตอร์เคลื่อนที่เท่ากับ 5 mm



รูปที่ 4.8 การทดสอบในทิศทางที่ 4

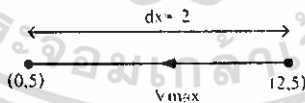
คำนวณ

$$L = \sqrt{(0-2)^2 + (10-5)^2} = 5.38 \text{ mm.}$$

$$V_x = -V_{\max} \cdot \frac{2}{5.38} \quad \rightarrow \quad C_x = \frac{9920.6}{18.439} = 538.02$$

$$V_y = V_{\max} \cdot \frac{5}{5.38} \quad \rightarrow \quad C_y = \frac{9920.6}{46.099} = 215.20$$

ผลการทดสอบ ระยะที่สตีปิ้งมอเตอร์เคลื่อนที่เท่ากับ 5.4 mm



รูปที่ 4.9 การทดสอบในทิศทางที่ 5

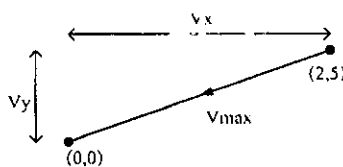
คำนวณ

$$L = \sqrt{(2-0)^2 + (5-5)^2} = 2 \text{ mm.}$$

$$V_x = -V_{\max} \quad \rightarrow \quad C_x = 200$$

$$V_y = 0 \quad \rightarrow \quad C_y = 0$$

ผลการทดสอบ ระยะที่สตีปิ้งมอเตอร์เคลื่อนที่เท่ากับ 2.1 mm



รูปที่ 4.10 การทดสอบในทิศทางที่ 6

เอกสารนี้เป็นเอกสารที่สงวนไว้สำหรับการใช้งานเพื่อการศึกษาเท่านั้น เมื่อนุญาตให้นำไปใช้ประโยชน์ด้านการค้า ไม่ว่าจะกรณีใดๆ ทั้งสิ้น อีกทั้งห้ามมิให้ดัดแปลงเนื้อหา และต้องอ้างอิงถึงเจ้าของเอกสารทุกครั้งที่มีการนำไปใช้

คำนวณ

$$L = \sqrt{(2-0)^2 + (5-0)^2} = 5.385 \text{ mm.}$$

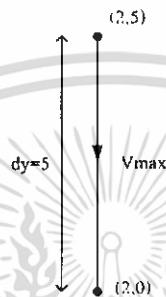
$$V_x = -V \max \cdot \frac{2}{5.38} \rightarrow C_x = \frac{9920.6}{18.42}$$

$$= -18.42 \qquad \qquad \qquad = 538.577$$

$$V_y = -V \max \cdot \frac{5}{5.38} \rightarrow C_y = \frac{9920.6}{46.099}$$

$$= -46.099 \qquad \qquad \qquad = 215.20$$

ผลการทดสอบ ระยะที่สเต็มปีงมอเตอร์เคลื่อนที่เท่ากับ 5.4 mm



รูปที่ 4.11 การทดสอบในทิศทางที่ 7

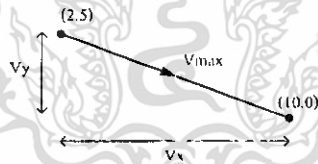
คำนวณ

$$L = \sqrt{(0-0)^2 + (5-0)^2} = 5 \text{ mm.}$$

$$V_x = 0 \rightarrow C_x = 0$$

$$V_y = -V_{\max} \rightarrow C_y = 200$$

ผลการทดสอบ ระยะที่สเต็มปีงมอเตอร์เคลื่อนที่เท่ากับ 5.1 mm



รูปที่ 4.12 การทดสอบในทิศทางที่ 8

คำนวณ

$$L = \sqrt{(10-2)^2 + (5-0)^2} = 9.43 \text{ mm.}$$

$$V_x = V \max \cdot \frac{8}{9.43} \rightarrow C_x = \frac{9920.6}{42.067}$$

$$= 42.067 \qquad \qquad \qquad = 538.577$$

$$V_y = -V \max \cdot \frac{5}{9.43} \rightarrow C_y = \frac{9920.6}{26.292}$$

$$= -26.292 \qquad \qquad \qquad = 377.32$$

ผลการทดสอบ ระยะที่สเต็มปีงมอเตอร์เคลื่อนที่เท่ากับ 9.3 mm

บทที่ 5 สรุปและวิจารณ์ผล

5.1 สรุปผลการทดสอบ

การทดสอบการหาขอบภาพในการประมวลผลภาพ พบว่าภาพที่ได้จากกล้องเว็บแคมสามารถหาขอบภาพได้ชัดเจนซึ่งก็ขึ้นอยู่กับค่าระดับเทรชโฮลที่เราเลือก ซึ่งส่งผลให้ contour ของภาพมีลักษณะเส้นที่คมชัดใกล้เคียงกับภาพต้นแบบมากขึ้น

การทดสอบการเคลื่อนที่ของชุดขับเคลื่อนพบว่า เมื่อทำการส่งพัลส์ 1 ลูก ไปยัง Motor Driver of X Axis หรือ Motor Driver of Y Axis จะได้ระยะทาง 99.206 μm หรือประมาณ 0.1 mm. และมุมที่มอเตอร์หมุนคือ $\frac{2\pi}{400}$ rad.

การทดสอบการเคลื่อนที่แบบ point-to-point ซึ่งเป็นการเขียนโปรแกรมคำนวณบนไมโครคอนโทรลเลอร์มีการใช้เทคนิค Linear Interpolation มาใช้ในการกำหนดทิศทางและขนาดของความเร็วที่ใช้ในแต่ละแกนของการเคลื่อนที่ แล้วนำมาคำนวณระยะเวลาในการส่งพัลส์เพื่อกำหนดค่าลงในไทมเมอร์โดยใช้สมการ

$$C = \frac{f \cdot \Delta x}{V}$$

โดย	V	= ความเร็ว(mm./sec)
	f	= ความถี่ของการนับในไทมเมอร์ภายในไมโครคอนโทรลเลอร์
	Δx	= ระยะทางการเคลื่อนที่ 1 สเตป(mm.)
	C	= จำนวนการนับของไทมเมอร์ เพื่อให้มีการส่งพัลส์ไปยังตัวขับสเตปปี้งมอเตอร์

เมื่อถึงเวลาที่กำหนดไมโครคอนโทรลเลอร์จะส่งพัลส์ไปยังชุดขับสเตปมอเตอร์ เพื่อให้มอเตอร์หมุนตามความเร็วที่ต้องการ ซึ่งผลการทดสอบที่ออกมาพบความคลาดเคลื่อนน้อยมาก ซึ่งอุปกรณ์ที่ใช้ในการวัดไม่สามารถวัดได้

5.2 ปัญหาที่พบจากการทำโครงการ

1. อุปกรณ์ที่ใช้ในการวัดไม่มีความละเอียดเพียงพอ
2. ความคลาดเคลื่อนของอุปกรณ์ที่ใช้งาน
3. ความคลาดเคลื่อนจากระบบทางกลของเครื่องมือที่ใช้ในการทำโครงการ
4. การตรวจสอบความผิดพลาดในการสื่อสารข้อมูลแบบอนุกรมทำได้ยาก
5. ภาพที่ได้จากกล้องเวปมีค่าความแตกต่างของความเข้มสีไม่เพียงพอ ทำให้หาขอบภาพได้ยาก จึงต้องการเลือกค่าระดับเทรชโวลของภาพเองเพื่อให้ภาพที่ได้ออกมามีความคมชัดมากขึ้น



เอกสารนี้เป็นเอกสารที่สงวนไว้สำหรับการใช้งานเพื่อการศึกษาเท่านั้น ไม่อนุญาตให้นำไปใช้ประโยชน์ด้านการค้า
ไม่ว่ากรณีใดๆ ทั้งสิ้น อีกทั้งห้ามมิให้ดัดแปลงเนื้อหา และต้องอ้างอิงถึงเจ้าของเอกสารทุกครั้งที่มีการนำไปใช้

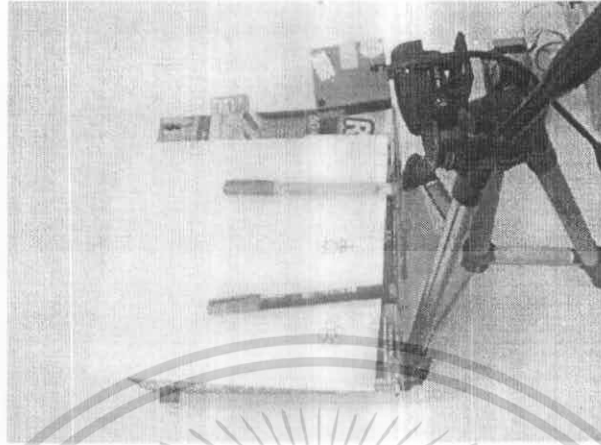
หนังสืออ้างอิง

- ไชยชาย หินเกิด , “เครื่องกลไฟฟ้ากระแสตรง”, สมาคมส่งเสริมเทคโนโลยี(ไทย-ญี่ปุ่น) , พิมพ์ครั้งที่ 2 , 2544
- ถาวร อมตกิตติ์ , “การส่งกำลังและการประหยัดพลังงานของมอเตอร์ไฟฟ้ากระแสสลับ” , พิมพ์ครั้งที่ 1 , บริษัท เอ็มแอนดี จำกัด , 2548
- ยุทธนา ลีลาศวัฒนากุล “คู่มือการเขียนโปรแกรมวินโดวส์ขั้นสูงด้วย Visual C++” , หจก.ไทยเจริญ การพิมพ์ , พิมพ์ครั้งที่ 1 , กรุงเทพมหานคร , สิงหาคม , 2546
- โอกาส เอี่ยมสิริวงศ์ , “เครือข่ายคอมพิวเตอร์และการสื่อสาร” , ซีเอ็ดยูเคชั่น , พิมพ์ครั้งที่ 1 , กรุงเทพมหานคร , 2548
- Alasdair McAnDrew, “Introduction to Digital Image Processing with MATLAB”, THOMSON course technology, 2004
- Gyril G.Veinott, Joseph E.Martin: Fraction and subfractional electric motor., McGraw-Hill Book Company, 1987.
- A.Kent Stiffler: Design with microprocessor for mechanical engineers., McGraw-Hill Book Company, 1992.



เอกสารนี้เป็นเอกสารที่สงวนไว้สำหรับการใช้งานเพื่อการศึกษาเท่านั้น ไม่อนุญาตให้นำไปใช้ประโยชน์ด้านการค้า
ไม่ว่ากรณีใดๆ ทั้งสิ้น อีกทั้งห้ามมิให้ดัดแปลงเนื้อหา และต้องอ้างอิงถึงเจ้าของเอกสารทุกครั้งที่มีการนำไปใช้

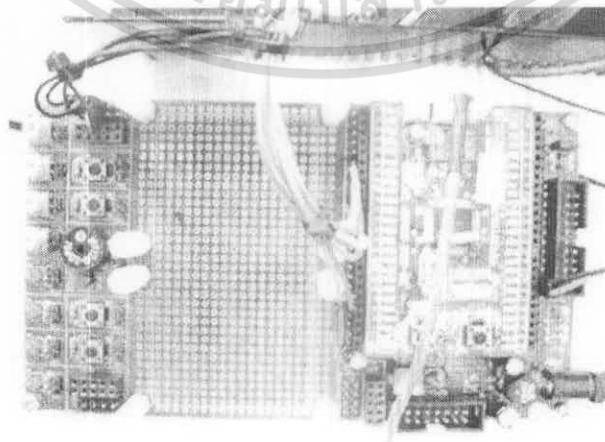
ภาคผนวก ก. รูปภาพส่วนประกอบของเครื่องแกะสลัก



รูปที่ ก.1 ส่วนการจับถักพื้นถนนวงกลมสองเวปแคม

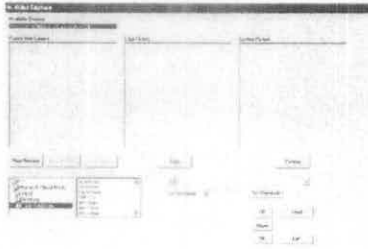


รูปที่ ก.2 ส่วนวางโครงตลับปิงมอเตอร์

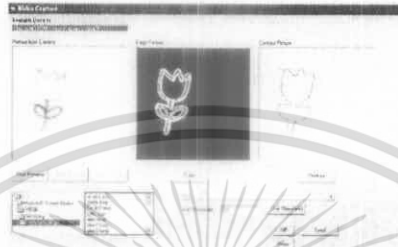


รูปที่ ก.3 ส่วนไมโครคอนโทรลเลอร์

เอกสารนี้เป็นเอกสารที่สงวนไว้สำหรับการใช้งานเพื่อการศึกษาเท่านั้น ไม่อนุญาตให้นำไปใช้ประโยชน์ด้านการค้า
ไม่ว่ากรณีใดๆ ทั้งสิ้น อีกทั้งห้ามมิให้ดัดแปลงเนื้อหา และต้องอ้างอิงถึงเจ้าของเอกสารทุกครั้งที่มีการนำไปใช้



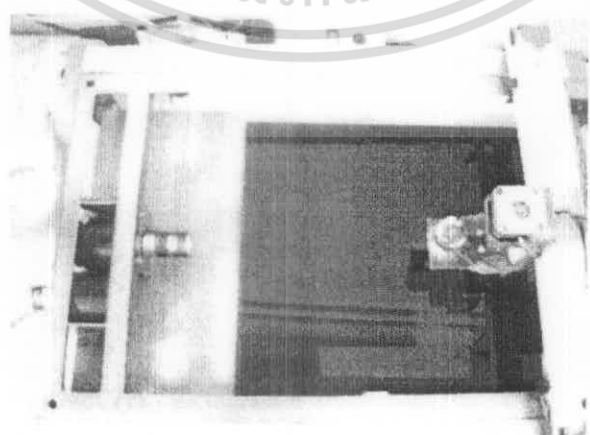
รูปที่ ก.4 ส่วนหน้าโปรแกรม Visual Basic ที่ให้ผู้ใช้สั่งงาน ขณะยังไม่รัน โปรแกรม



รูปที่ ก.5 ส่วนหน้าโปรแกรม Visual Basic ที่ให้ผู้ใช้สั่งงาน ขณะรันโปรแกรมยังไม่รันโปรแกรม



รูปที่ ก.6 ส่วนหัวเจาะ



รูปที่ ก.76 ส่วนเครื่องที่ใช้แกะสลัก

เอกสารนี้เป็นเอกสารที่สงวนไว้สำหรับการใช้งานเพื่อการศึกษาเท่านั้น ไม่อนุญาตให้นำไปใช้ประโยชน์ด้านการค้า
ไม่ว่ากรณีใดๆ ทั้งสิ้น อีกทั้งห้ามมิให้ตัดแปลงเนื้อหา และต้องอ้างอิงถึงเจ้าของเอกสารทุกครั้งที่มีการนำไปใช้

ภาคผนวก ข. ARM7 Source code

```

#include <LPC213x.h>
#include <LCD.c>
#include <math.h>
#include <stdio.h>
#include <serial.c>
#define x_direction 0x20000000
#define y_direction 0x00040000

unsigned int
    counterX,limitX,counterY,limitY,MinusX=0,PositiveX=0,MinusY=0,PositiveY=0;
int imax;
char x[2000],y[2000],x_pre,y_pre;

void ExtIntInit      (void);
void OverMinusX      (void) __irq;
void OverPositiveX   (void) __irq;
void OverMinusY      (void) __irq;
void OverPositiveY   (void) __irq;
void x_speed_init(void);
void y_speed_init(void);
void x_speed(char dir,int Cx,int cycle);
void y_speed(char dir,int Cy,int cycle);
void PointToPoint(float x1,float y1,float x2,float y2,int Vmax);
void WriteArray(void);
void x_speed_interrupt(void) __irq;
void y_speed_interrupt(void) __irq;
void home(void);
void z_up(void);
void z_down(void);
void z_tune(void);
void SetOrigin(void);

void main(void){
char se_in=0;
int aa,j;
//Initial System
x_speed_init();
y_speed_init();
ExtIntInit();
uart0_init(4800);
while(1){
    SetOrigin();
    while(se_in!= 0x80){
        se_in = getchar();}
    imax=getchar();
    aa=getchar();
    imax=imax+(aa*256);
//save point
    for(j=1;j<=imax;j++){
        x[j]=getchar();
        y[j]=getchar();}
    WriteArray();
    z_tune();
}

```

```

}
}
/*****ExtIntInit*****/
*****/
void ExtIntInit (void){
PINSEL0      |= 0xA0000000;      //Set pin 0.14toEINT1 ,0.15toEINT2
PINSEL1      |= 0x00000301;      //Set pin 0.16toEINT0 ,0.20toEINT3
EXTMODE      |= 0x0000000F;      //Select to Edge Sensitive Interrupt
EXTPOLAR     |= 0x00000000;      //Select Falling Edge Sensitive
Intertupt
VICVectCntl0 = 0x0000002E;      //Connect EINT0 to VICVectAddr0
VICVectAddr0 = (unsigned)OverMinusX;      //Fill IRQ Address to
VICVectAddr0
VICVectCntl1 = 0x0000002F;      //Connect EINT1 to VICVectAddr1
VICVectAddr1 = (unsigned)OverPositiveX;    //Fill IRQ Address to
VICVectAddr1
VICVectCntl2 = 0x00000030;      //Connect EINT1 to VICVectAddr2
VICVectAddr2 = (unsigned)OverMinusY;      //Fill IRQ Address to
VICVectAddr2
VICVectCntl3 = 0x00000031;      //Connect EINT1 to VICVectAddr3
VICVectAddr3 = (unsigned)OverPositiveY;    //Fill IRQ Address to
VICVectAddr3
VICIntEnable =0x3C000;}      //Enable
EINT0,EINT1,EINT2,EINT3
void OverMinusX      (void)__irq{      //ExtINT0
T0TCR                = 0x00000002;
MinusX                = 1;
limitX                = counterX;
lcd_clear();
lcd_string("OverMinusX");
EXTINT                |= 0x00000001;      //Clear the peripheral
interrupt flag
VICVectAddr          = 0x00000000;}      //Dummy write to signal end
of interrupt
void OverPositiveX   (void)__irq{      //ExtINT1
T0TCR                = 0x00000002;
PositiveX            = 1;
limitX                = counterX;
lcd_clear();
lcd_string("OverPositiveX");
EXTINT                |= 0x00000002;      //Clear the peripheral
interrupt flag
VICVectAddr          = 0x00000000;}      //Dummy write to signal end
of interrupt
void OverMinusY      (void)__irq{      //ExtfINT2
T1TCR                = 0x00000002;
MinusY                = 1;
limitY                = counterY;
lcd_clear();
lcd_string("OverMinusY");
EXTINT                |= 0x00000004;      //Clear the peripheral
interrupt flag
VICVectAddr          = 0x00000000;}      //Dummy write to signal end
of interrupt

```

เอกสารนี้เป็นเอกสารที่สงวนไว้สำหรับการใช้งานเพื่อการศึกษาเท่านั้น ไม่อนุญาตให้นำไปใช้ประโยชน์ด้านการค้า
ไม่ว่ากรณีใดๆ ทั้งสิ้น อีกทั้งห้ามมิให้ดัดแปลงเนื้อหา และต้องอ้างอิงถึงเจ้าของเอกสารทุกครั้งที่มีการนำไปใช้

```

void OverPositiveY (void) __irq{                                     //ExtINT3

T0TCR                                     = 0x00000002;
PositiveY                                 = 1;
limitY                                   = counterY;
lcd_clear();
lcd_string("OverPositiveY");
EXTINT                                   |= 0x00000008;           //Clear the peripheral interrupt flag
VICVectAddr                               = 0x00000000;          //Dummy write to signal end of interrupt

/*****X-Axis*****/
void x_speed_init(void){
IODIR0                                   |= x_direction;       //Output port0.29 as X-Direction
PINSEL1                                  |= 0x03000000;         //Match 0.2 as output
VPBDIV                                   = 0x00000002;         //Configure the VPB divi
T0TCR                                    = 0x00000002;         //Reset counter and prescaler
T0PR                                      = 0x12C;             //Load prescaler to 100 kHz
T0MCR                                     = 0x00000003;         //On match reset the counter and generate an
interrupt
T0EMR                                     = 0x00000104;         //On match clear MAT2 (MAT2 will set
after use this instruction)
VICVectAddr5 = (unsigned)x_speed_interrupt; //Set the timer ISR vector address
VICVectCntl5 = 0x00000024; //Set channel
VICIntEnable |= 0x00000010; //Enable the interrupt
/*****X-Speed*****/
void x_speed(char dir,int Cx,int cycle){
counterX                                  = 0;
limitX                                    = cycle;
T0TCR                                     = 0x00000002;         //Reset counter and prescaler
T0MR0                                     = Cx;                //Set the X cycle time
T0MR2                                     = T0MR0-100;         //Geterrate pulse
if((dir=='f')&&(Cx!=0)&&(cycle!=0)&&(PositiveX!=1)){
MinusX                                    = 0;
IOSET0                                    |= x_direction;
T0EMR                                     = 0x00000104;         //Set MAT2 high for
begining of the cycle(MAT2 will set after use this instruction)
T0TCR                                     = 0x00000001;         //enable timer
else if((dir=='b')&&(Cx!=0)&&(cycle!=0)&&(MinusX!=1)){
PositiveX                                  = 0;
IOCLR0                                    |= x_direction;
T0EMR                                     = 0x00000104;         //Set MAT2 high for
begining of the cycle(MAT2 will set after use this instruction)
T0TCR                                     = 0x00000001;         //enable timer
else{
T0MR0                                     = 0;
T0MR2                                     = 0;
T0TCR                                     = 0x00000002;
}
}
}
/*****X-Interrupt*****/
void x_speed_interrupt(void) __irq{
counterX++;
if(counterX<limitX){
T0EMR                                     = 0x00000104;         //Set MAT2 high for
begining of the cycle(MAT2 will set after use this instruction)
}
}

```

เอกสารนี้เป็นเอกสารลิขสิทธิ์ของมหาวิทยาลัยเทคโนโลยีพระจอมเกล้าธนบุรี อนุญาตให้นำไปใช้ประโยชน์ด้านการค้า

ไม่ว่ากรณีใดๆ ทั้งสิ้น อีกทั้งห้ามมิให้ดัดแปลงเนื้อหา และต้องอ้างอิงถึงเจ้าของเอกสารทุกครั้งที่มีการนำไปใช้

```

    T0IR          |= 0x00000001; } //Clear match 0 interrupt
else {
    T0TCR          = 0x00000002; //Reset and Disable Timer0
    T0IR          |= 0x00000001; } //Clear match 0 interrupt
VICVectAddr     = 0x00000000; } //Dummy write to signal end
of interrupt

/*****Y-
Axis*****/
void y_speed_init(void){
IODIR0          |= y_direction; //Output port0.18 as Y-Direction
PINSEL1         |= 0x0000000C; //Match 1.2 as output
VPBDIV          = 0x00000002; //Configure the VPB divi
T1TCR           = 0x00000002; //Reset counter and prescaler
T1PR            = 0x12C; //Load prescaler to 100 kHz
T1MCR           = 0x00000003; //On match reset the counter and
generate an interrupt
T1EMR           = 0x00000104; //On match clear MAT2 (MAT2 will
set after use this instruction)
VICVectAddr6   = (unsigned)y_speed_interrupt; //Set the timer ISR vector address
VICVectCntl6   = 0x00000025; //Set channel
VICIntEnable   |= 0x00000020; //Enable the interrupt
/*****Y-Speed*****/
void y_speed(char dir,int Cy,int cycle){
counterY        = 0;
limitY         = cycle;
T1TCR          = 0x00000002; //Reset counter and prescaler
T1MR0          = Cy; //Set the Y cycle time
T1MR2          = T1MR0-100; //Geterrate pulse
if((dir=='f')&&(Cy!=0)&&(cycle!=0)&&(PositiveY!=1)){
    MinusY      = 0;
    IOCLR0      |= y_direction;
    T1EMR       = 0x00000104;
    T1TCR       = 0x00000001; } //enable timer
else if((dir=='b')&&(Cy!=0)&&(cycle!=0)&&(MinusY!=1)){
    PositiveY    = 0;
    IOSET0      |= y_direction;
    T1EMR       = 0x00000104;
    T1TCR       = 0x00000001; } //enable timer
else{
    T1MR0       = 0;
    T1MR2       = 0;
    T1TCR       = 0x00000002; }
/*****Y-Interrupt*****/
void y_speed_interrupt(void) __irq{
counterY++;
if(counterY<limitY){
    T1EMR       = 0x00000104; //Set MAT2 high for begining of the
cycle(MAT2 will set after use this
instruction)*/
else {
    T1IR        |= 0x00000001; } //Clear match 0 interrupt
else {
    T1TCR       = 0x00000002; //Reset and Disable Timer0
    T1IR        |= 0x00000001; } //Clear match 0 interrupt

```

```

VICVectAddr = 0x00000000;} //Dummy write to signal end of
interrupt
/*****Point-To-Point Function*****/
void PointToPoint(float x1,float y1,float x2,float y2,int Vmax){
float Delta_x, Delta_y;
int Cx, Cy;
float Vx,Vy;
double path;
Delta_x = fabs(x2-x1);
Delta_y = fabs(y2-y1);
path = sqrt((Delta_x*Delta_x)+(Delta_y*Delta_y));
Vx = Vmax*(Delta_x/path);
Vy = Vmax*(Delta_y/path);
Cx = 100000*0.1/Vx;
Cy = 100000*0.1/Vy;
if(x2>x1)
x_speed('f',Cx,(Delta_x*5));

else if (x2<x1)
x_speed('b',Cx,(Delta_x*5));
else;
if(y2>y1)
y_speed('f',Cy,Delta_y*5);
else if (y2<y1)
y_speed('b',Cy,Delta_y*5);
else;
while(counterX<limitX);
while(counterY<limitY);}
/*****App Func*****/
void home(void){
PINSEL0 &= 0x0FFFFFFF; //Set pin 0.14toGPIO ,0.15toGPIO
PINSEL1 &= 0xFFFFC0C; //Set pin 0.16toGPIO ,0.20toGPIO
IODIR0 &= 0xFFEE3FFF; //X-Axis
if((IOPIN0&0x00014000)==0x00004000){ //X-
PINSEL0 |= 0x20000000; //Set pin 0.14toEINT1(PositiveX)

PINSEL1 |= 0x00000001; //Set pin 0.16toEINT0(MinusX)

MinusX =1;}
else{ //X+,X is Floating
PINSEL0 |= 0x20000000; //Set pin 0.14toEINT1(PositiveX)

PINSEL1 |= 0x00000001; //Set pin 0.16toEINT0(MinusX)
x_speed('b',200,700000);}
//Y-Axis
if((IOPIN0&0x00108000)==0x00100000){ //Y-
PINSEL0 |= 0x80000000; //Set pin 0.15toEINT2(MinusY)
PINSEL1 |= 0x00000300; //Set pin 0.20toEINT3(PositiveY)

MinusY =1;}
else{ //Y+,Y is Floating
PINSEL0 |= 0x80000000; //Set pin 0.15toEINT2(MinusY)
PINSEL1 |= 0x00000300; //Set pin 0.20toEINT3(PositiveY)

```

```

y_speed('b',200,700000);}
while(counterX<limitX);
while(counterY<limitY);}

void z_down(void){
unsigned int i;
IODIR1   |=   0x00C00000;
IOSET1   |=   0x00400000;
IOCLR1   |=   0x00800000;
for(i=0;i<195;i++){
    IOSET1   |=   0x00800000;
    delay_us(5000);
    IOCLR1   |=   0x00800000;
    delay_us(5000);
}
}

void z_up(void){
unsigned int i;
IODIR1   |=   0x00C00000;
IOCLR1   |=   0x00400000;
IOCLR1   |=   0x00800000;
for(i=0;i<195;i++){
    IOSET1   |=   0x00800000;
    delay_us(5000);
    IOCLR1   |=   0x00800000;
    delay_us(5000);
}
}

void z_tune(void){
char z_com;
z_com=getchar();
while(z_com != 'q'){
    printf("%c\n",z_com);
    if(z_com == 'u')        z_up();

    else if(z_com == 'd')   z_down();
    z_com=getchar();
}
printf("%c\n",z_com); }

void SetOrigin(void){
home();
delay_us(50000);
PointToPoint(0,0, 0,50,50);
delay_us(50000);
PointToPoint(0,0, 70,0,50);
delay_us(50000);
x_pre = 0;
y_pre = 0;}

void WriteArray(){
int i;
for(i=1;i<=imax;i++){
    PointToPoint(x_pre,y_pre,x[i],y[i],4);

```

เอกสารนี้เป็นลิขสิทธิ์ส่วนตัวไว้สำหรับการใช้งานเพื่อการศึกษาเท่านั้น ไม่อนุญาตให้นำไปใช้ประโยชน์ด้านการค้า
ไม่ว่ากรณีใดๆ ทั้งสิ้น อีกทั้งห้ามมิให้ดัดแปลงเนื้อหา และต้องอ้างอิงถึงเจ้าของเอกสารทุกครั้งที่มีการนำไปใช้

```

        z_tune();
        x_pre = x[i];
        y_pre = y[i];
    }
}

/*****โปรแกรมส่วน Serial*****/
#include<LPC213x.h>
#include<stdio.h>
#define CR 0x0D

void uart0_init(unsigned int baudrate){
    unsigned short u0dl;
    u0dl      = 30000000/(16*baudrate);
    PINSEL0   |= 0x00000005;
    U0LCR     = 0x83;
    U0DLL     = u0dl&0xFF;
    U0DLM     = (u0dl>>8);
    U0LCR    &= 0x7F;}

int putchar(int ch){
    if(ch=='\n'){
        while(!(U0LSR&0x20));
        U0THR = CR;}
    while(!(U0LSR&0x20));
    return(U0THR=ch);}

int getchar(void){
    while(!(U0LSR&0x01));
    return(U0RBR);}

/*****โปรแกรมส่วน LCD*****/
#include<LPC213x.h>
#define LCD_D4  0x00010000 // P1.16
#define LCD_D5  0x00020000 // P1.17
#define LCD_D6  0x00040000 // P1.18
#define LCD_D7  0x00080000 // P1.19
#define LCD_RS  0x00100000 // P1.20
#define LCD_EN  0x00200000 // P1.21
#define lcd_rs_set() IOSET1 |= LCD_RS // RS = 1 (Select Instruction)
#define lcd_rs_clr() IOCLR1 |= LCD_RS // RS = 0 (Select Data)
#define lcd_en_set() IOSET1 |= LCD_EN // EN = 1 (Enable)
#define lcd_en_clr() IOCLR1 |= LCD_EN // EN = 0 (Disable)
#define lcd_clear()   lcd_com(0x01) // Clear Display
#define lcd_cursor_home() lcd_com(0x02) // Set Cursor = 0
#define lcd_display_on() lcd_com(0x0E) // LCD Display Enable
#define lcd_display_off() lcd_com(0x08) // LCD Display Disable
#define lcd_cursor_blink() lcd_com(0x0F) // Set Cursor = Blink
#define lcd_cursor_on() lcd_com(0x0E) // Enable LCD Cursor
#define lcd_cursor_off() lcd_com(0x0C) // Disable LCD Cursor
#define lcd_cursor_left() lcd_com(0x10) // Shift Left Cursor
#define lcd_cursor_right() lcd_com(0x14) // Shift Right Cursor
#define lcd_display_sleft() lcd_com(0x18) // Shift Left Display
#define lcd_display_sright() lcd_com(0x1C) // Shift Right Display
//Function Prototype

```

เอกสารนี้เป็นเอกสารที่สงวนไว้สำหรับการใช้งานเพื่อการศึกษาเท่านั้น ไม่อนุญาตให้นำไปใช้ประโยชน์ด้านการค้า

ไม่ว่ากรณีใดๆ ทั้งสิ้น อีกทั้งห้ามมิให้ดัดแปลงเนื้อหา และต้องอ้างอิงถึงเจ้าของเอกสารทุกครั้งที่มีการนำไปใช้

```

void lcd_delay(void);
void delay_us(unsigned int time);
void nibble(void);
void lcd_com(unsigned int com);
void lcd_init(void);
void lcd_write(char c);
void lcd_string(char str[40]);
/*****Delay*****/
void delay_us(unsigned int time){
  unsigned int count1;
  for(count1=0;count1<=(time*5);count1++);
/*****LCD_Delay*****/
void lcd_delay(void){
  unsigned delay;
  for(delay=0;delay<=4000;delay++);          //delay 5ms
/*****Nibble*****/
void nibble(void){
  lcd_delay();          //Delay 5ms
  lcd_en_set();        //Set EN bit
  lcd_delay();        //Delay 5ms
  lcd_en_clr();       //Clear EN bit
  lcd_delay();        //Delay 5ms
/*****LCD_Command*****/
void lcd_com(unsigned int com){
  unsigned int out;
  lcd_rs_clr();      //Clear RS bit
  out=com;
  IOSET1=(0xF000&(out<<12)); //send 4 high bits
  out=com;
  IOCLR1=(0xF000&((~out)<<12));
  nibble();
  out=com;
  IOSET1=(0xF000&(out<<16)); //send 4 low bits
  out=com;
  IOCLR1=(0xF000&((~out)<<16));
  nibble();
/*****LCD_Write*****/
void lcd_write(char c){
  unsigned int out;
  lcd_rs_set();      //SET RS bit
  out=c;
  IOSET1=(0xF000&(out<<12)); //send 4 high bits
  out=c;
  IOCLR1=(0xF000&((~out)<<12));
  nibble();
  out=c;
  IOSET1=(0xF000&(out<<16)); //send 4 low bits
  out=c;
  IOCLR1=(0xF000&((~out)<<16));
  nibble();
/*****LCD_String*****/
void lcd_string(char str[40]){
  int i;
  i=0;
  while(str[i]!=0){

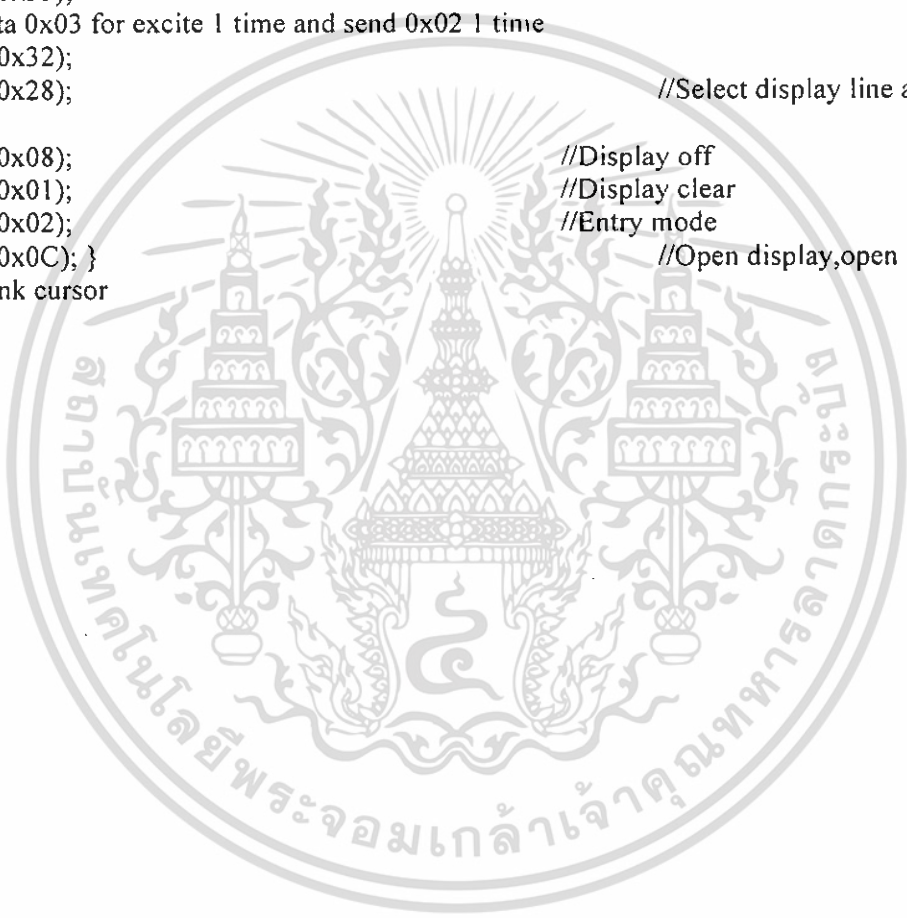
```

เอกสารนี้เป็นส่วนหนึ่งของการใช้งานเพื่อการศึกษาเท่านั้น ไม่อนุญาตให้นำไปใช้ประโยชน์ด้านการค้า
ไม่ว่ากรณีใดๆ ทั้งสิ้น อีกทั้งห้ามมิให้ดัดแปลงเนื้อหา และต้องอ้างอิงถึงเจ้าของเอกสารทุกครั้งที่มีการนำไปใช้

```

    lcd_write(str[i]);
    i++;
}
}
/*****LCD_Init*****/
void lcd_init(void){
  IODIR1|=0x3F0000;
  IOCLR1|=0x3F0000;
  lcd_delay();           //Delay 5ms
  lcd_delay();           //Delay 5ms
  lcd_delay();           //Delay 5ms
  //Sent Data 0x03 for excite 2 times
  lcd_com(0x33);
  //Sent Data 0x03 for excite 1 time and send 0x02 1 time
  lcd_com(0x32);
  lcd_com(0x28);           //Select display line and
  front
  lcd_com(0x08);           //Display off
  lcd_com(0x01);           //Display clear
  lcd_com(0x02);           //Entry mode
  lcd_com(0x0C); }        //Open display,open
  cursor,blink cursor

```



เอกสารนี้เป็นเอกสารที่สงวนไว้สำหรับการใช้งานเพื่อการศึกษาเท่านั้น ไม่อนุญาตให้นำไปใช้ประโยชน์ด้านการค้า
ไม่ว่ากรณีใดๆ ทั้งสิ้น อีกทั้งห้ามมิให้ดัดแปลงเนื้อหา และต้องอ้างอิงถึงเจ้าของเอกสารทุกครั้งที่มีการนำไปใช้

ภาคผนวก ข. Visual Basic Source code

```

Const WM_CAP As Integer = &H400
Const WM_CAP_DRIVER_CONNECT As Long = WM_CAP + 10 'normal=10
Const WM_CAP_DRIVER_DISCONNECT As Long = WM_CAP + 11
Const WM_CAP_EDIT_COPY As Long = WM_CAP + 30 'normal set =30
Const WM_CAP_SET_PREVIEW As Long = WM_CAP + 50 'normal set=50
Const WM_CAP_SET_PREVIEWRATE As Long = WM_CAP + 52
Const WM_CAP_SET_SCALE As Long = WM_CAP + 51 'normal=53 to fit for window ,
normal set=51
Const WS_CHILD As Long = &H40000000
Const WS_VISIBLE As Long = &H10000000
Const SWP_NOMOVE As Long = &H2
Const SWP_NOSIZE As Integer = 1
Const SWP_NOZORDER As Integer = &H4
Const HWND_BOTTOM As Integer = 1
Dim iDevice As Long
Dim hHwnd As Long

Public H As Byte
Public W As Byte
Public pixel As Variant
Public Threshold As Byte
Public index_x As Integer
Public index_y As Integer
Private pos_array_x(5000) As Byte
Private pos_array_y(5000) As Byte
Public aa As String
Private bi(5000, 5000) As Byte
Public val

Private Declare Function SendMessage Lib "user32" Alias "SendMessageA" _
    (ByVal hwnd As Long, ByVal wParam As Long, ByVal lParam As Any) As Long
Private Declare Function SetWindowPos Lib "user32" (ByVal hwnd As Long, _
    ByVal hWndInsertAfter As Long, ByVal x As Long, ByVal y As Long, _
    ByVal cx As Long, ByVal cy As Long, ByVal wFlags As Long) As Long
Private Declare Function DestroyWindow Lib "user32" (ByVal hwnd As Long) As Boolean
Private Declare Function capCreateCaptureWindowA Lib "avicap32.dll" _
    (ByVal lpszWindowName As String, ByVal dwStyle As Long, _
    ByVal x As Long, ByVal y As Long, ByVal nWidth As Long, _
    ByVal nHeight As Integer, ByVal hWndParent As Long, _
    ByVal nID As Long) As Long
Private Declare Function capGetDriverDescriptionA Lib "avicap32.dll" (ByVal wDriver As
Long, _
    ByVal lpszName As String, ByVal cbName As Long, ByVal lpszVer As String, _
    ByVal cbVer As Long) As Boolean

```

```

Sub delay()
Dim ioi, joj As Integer
  For ioi = 0 To 100
    For joj = 0 To 300
      Next
    Next
  Next
End Sub

```

```

Private Sub cmd_edge_Click()
  Dim R(1000, 1000) As Integer 'Array of R color
  Dim G(1000, 1000) As Integer 'Array of G color
  Dim b(1000, 1000) As Integer 'Array of B color
  Dim max As Integer
  Dim min As Integer
  Dim i, j, m, n, x, y As Integer
  'Dim Threshold As Integer
  Dim Gray(1000, 1000) As Integer
  Dim Px(1000, 1000) As Integer
  Dim Py(1000, 1000) As Integer
  Dim Pxy(1000, 1000) As Double
  Dim H, W As Integer

  H = Picture2.ScaleHeight
  W = Picture2.ScaleWidth
  ***** Read & mem Gray value *****
  For i = 0 To W - 1
    For j = 0 To H - 1
      pixel = picCapture.Point(i, j) 'read level colour form picture1
      R(i, j) = pixel Mod 256 'define RED level
      G(i, j) = (pixel \ 256) Mod 256 'define Green level
      b(i, j) = pixel \ 65536 'define Blue level
      Gray(i, j) = (R(i, j) + G(i, j) + b(i, j)) \ 3 'define gray level
    Next
  Next
  ***** Find Pxy(1000,1000) *****
  For i = 1 To W - 2
    For j = 1 To H - 2
      Px(i, j) = Abs((((Gray(i - 1, j - 1) * (-1)) + (Gray(i + 1, j - 1) * (1)) +
        (Gray(i - 1, j) * (-2)) + (Gray(i + 1, j) * (2)) + (Gray(i - 1, j + 1) *
        (-1)) + (Gray(i + 1, j + 1) * (1))))))
      Py(i, j) = Abs((((Gray(i - 1, j - 1) * (-1)) + (Gray(i, j - 1) * (-2)) +
        (Gray(i + 1, j - 1) * (-1)) + (Gray(i - 1, j + 1) * (1)) +
        (Gray(i, j + 1) * (2)) + (Gray(i + 1, j + 1) * (1))))))
      Pxy(i, j) = Px(i, j) + Py(i, j)
    Next
  Next
  *****find binary Picture*****
  For i = 1 To W - 2
    For j = 1 To H - 2
      If Pxy(i, j) >= Threshold Then
        bi(i, j) = 255
      ElseIf Pxy(i, j) < Threshold Then
        bi(i, j) = 0
      End If
    Next
  Next

```

เอกสารนี้เป็น Picture2.PSet (i, j), RGB(bi(i, j), bi(i, j), bi(i, j)) เท่านั้น ไม่นอนุญาตให้นำไปใช้ประโยชน์ด้านการค้า
ไม่ว่ากรณีใดๆ ทั้งสิ้น อีกทั้งห้ามมิให้ตัดแปลงเนื้อหา และต้องอ้างอิงถึงเจ้าของเอกสารทุกครั้งที่มีการนำไปใช้

Next
Next
End Sub

```

Private Sub cmdcon_Click()
    Dim i, j, m, n As Integer
    Dim x, y As Integer ' for transfer to count index
    Dim scan As Byte
    Dim pos_yy As Byte
    Dim pos_xx As Byte
    Dim rr_i(9), rr_j(9) As Byte
    Dim state As Integer
    Dim pos_x As Byte
    Dim pos_y As Byte
    H = Picture2.ScaleHeight
    W = Picture2.ScaleWidth
    *****find contour following*****
    index_x = count_pos_x(x)
    index_y = count_pos_y(y)
    For i = 3 To W - 4
        For j = 3 To H - 4
            Do While bi(i, j) = 255
                'for first position
                If index_x = 1 Then
                    pos_array_x(1) = i
                    pos_array_y(1) = j
                End If

                rr_i(1) = i - 1: rr_j(1) = j - 1
                rr_i(2) = i: rr_j(2) = j - 1
                rr_i(3) = i + 1: rr_j(3) = j - 1
                rr_i(4) = i + 1: rr_j(4) = j
                rr_i(5) = i + 1: rr_j(5) = j + 1
                rr_i(6) = i: rr_j(6) = j + 1
                rr_i(7) = i - 1: rr_j(7) = j + 1
                rr_i(8) = i - 1: rr_j(8) = j
                rr_i(9) = i - 1: rr_j(9) = j - 1 'same rr_i(1)and rr_j(1)

                If bi(rr_i(1), rr_j(1)) = 0 And bi(rr_i(2), rr_j(2)) = 255 Then
                    scan = 1
                    pos_x = i: pos_y = j - 1
                ElseIf bi(rr_i(2), rr_j(2)) = 0 And bi(rr_i(3), rr_j(3)) = 255 Then
                    scan = 2
                    pos_x = i + 1: pos_y = j - 1
                ElseIf bi(rr_i(3), rr_j(3)) = 0 And bi(rr_i(4), rr_j(4)) = 255 Then
                    scan = 3
                    pos_x = i + 1: pos_y = j
                ElseIf bi(rr_i(4), rr_j(4)) = 0 And bi(rr_i(5), rr_j(5)) = 255 Then
                    scan = 4
                    pos_x = i + 1: pos_y = j + 1
                ElseIf bi(rr_i(5), rr_j(5)) = 0 And bi(rr_i(6), rr_j(6)) = 255 Then
                    scan = 5
                    pos_x = i: pos_y = j + 1
                ElseIf bi(rr_i(6), rr_j(6)) = 0 And bi(rr_i(7), rr_j(7)) = 255 Then
                    scan = 6
                End While
            Next j
        Next i
    End Sub

```

เอกสารนี้เป็นสงวนไว้สำหรับการใช้งานเพื่อการศึกษาเท่านั้น ไม่อนุญาตให้นำไปใช้ประโยชน์ด้านการค้า
ไม่ว่ากรณีใดๆ ทั้งสิ้น อีกทั้งห้ามมิให้ดัดแปลงเนื้อหา และต้องอ้างอิงถึงเจ้าของเอกสารทุกครั้งที่มีการนำไปใช้

```

pos_x = i - 1: pos_y = j + 1
Elseif bi(rr_i(7), rr_j(7)) = 0 And bi(rr_i(8), rr_j(8)) = 255 Then
    scan = 7
    pos_x = i - 1: pos_y = j
Elseif bi(rr_i(8), rr_j(8)) = 0 And bi(rr_i(1), rr_j(1)) = 255 Then
    scan = 8
    pos_x = i - 1: pos_y = j - 1
End If

state = 666

If index_x >= 2 Then
'check that is the first position
    If (pos_array_x(1) = pos_x) And (pos_array_y(1) = pos_y) Then
        state = 111
        MsgBox "Found First position", vbOKOnly
        Exit Do
    End If
'check that is not have next position
    For m = 2 To index_x
        If pos_array_x(m) = pos_x And pos_array_y(m) = pos_y Then
            If scan = 8 Then
                scan = 0
            End If
            scan = scan + 1
        End If
        For n = scan To 8
            If (bi(rr_i(n), rr_j(n)) = 0) And (bi(rr_i(n + 1), rr_j(n + 1)) = 255) Then
                Select Case n
                    Case 1
                        pos_xx = i: pos_yy = j - 1
                    Case 2
                        pos_xx = i + 1: pos_yy = j - 1
                    Case 3
                        pos_xx = i + 1: pos_yy = j
                    Case 4
                        pos_xx = i + 1: pos_yy = j + 1
                    Case 5
                        pos_xx = i: pos_yy = j + 1
                    Case 6
                        pos_xx = i - 1: pos_yy = j + 1
                    Case 7
                        pos_xx = i - 1: pos_yy = j
                    Case 8
                        pos_xx = i - 1: pos_yy = j - 1
                End Select
            End If
        End For
        'check that not have next point
        If (pos_xx = emtry) And (pos_yy = emtry) Then
            state = 555
        End If

        'check again that not same in not same in array
        For mm = 2 To index_x

```

```

If pos_array_x(mm) = pos_xx And pos_array_y(mm) = pos_yy Then
    'same position in array
    'MsgBox "not found next pos", vbOKOnly
    state = 999

    'clear array
    For nn = 1 To index_x
        pos_array_x(nn) = 0
        pos_array_y(nn) = 0
    Next
    index_x = 1
    index_y = 1
    Exit Do
Else
    pos_x = pos_xx
    pos_y = pos_yy
End If
Exit For
Next
Exit For
End If
Next
End If
Next
End If

If state = 666 Then
    'call function for count index in pos_array_x and pos_array_y
    index_x = count_pos_x(index_x)
    index_y = count_pos_y(index_y)

    'put pos_x in pos_array_x & put pos_y in pos_array_y
    pos_array_x(index_x) = pos_x
    pos_array_y(index_y) = pos_y
    'change next new pixel
    i = pos_x
    j = pos_y
End If
Loop
If state = 111 Then
    i = W
    j = H
End If
Next
Next
If state = 111 Then
    For c = 1 To index_x
        'Debug.Print pos_array_x(c)
        'MsgBox "plot", vbOKOnly
        Picture3.PSet ((pos_array_x(c)), (pos_array_y(c))), RGB(255, 0, 0)
    Next
ElseIf state = 999 Then
    MsgBox "not found Contour", vbOKOnly
End If

```

เอกสารนี้เป็นเอกสารที่สงวนไว้สำหรับการใช้งานเพื่อการศึกษาเท่านั้น ไม่อนุญาตให้นำไปใช้ประโยชน์ด้านการค้า
ไม่ว่ากรณีใดๆ ทั้งสิ้น อีกทั้งห้ามมิให้ดัดแปลงเนื้อหา และต้องอ้างอิงถึงเจ้าของเอกสารทุกครั้งที่มีการนำไปใช้

End Sub

```

Private Sub cmd_Send_Click()
Dim aaa As Integer
Dim bb As Byte
Dim rr_i(9), rr_j(9) As Byte
Dim iop, pos_x, pos_y As Byte
Dim i, j, m, n, x, y As Integer
*****check*****
For dd = 1 To index_x
    Debug.Print dd
    Debug.Print pos_array_x(dd)
    Debug.Print pos_array_y(dd)
Next
*****send index_x*****
MSCSe.Output = Chr(128) ' send REQ=128=&H80
Debug.Print val
aaa = index_x And &HFF
bb = aaa
    Debug.Print bb
MSCSe.Output = Chr(bb)
delay
aaa = index_x And &HFF00
aaa = index_x \ 256
bb = aaa
    Debug.Print bb
MSCSe.Output = Chr(bb)
delay
*****send position*****
For ii = 1 To index_x
    MSCSe.Output = Chr(pos_array_x(ii))
    delay
    'val = MSCSe.Input
    MSCSe.Output = Chr(pos_array_y(ii))
    delay
Next
End Sub
Private Sub cmdd_Click()
    MSCSe.Output = "d"
End Sub
Private Sub cmdExit_Click()
    Unload Me
End Sub
Private Sub Cmdq_Click()
    MSCSe.Output = "q"
End Sub

```

```

Private Sub cmdSave_Click()
    Dim bm As Image
    SendMessage hWnd, WM_CAP_EDIT_COPY, 0, 0
    ClosePreviewWindow
    picCapture.Picture = Clipboard.GetData
    CommonDialog1.CancelError = True
    CommonDialog1.FileName = "Webcam1"
    CommonDialog1.Filter = "Bitmap|*.bmp"

```

เอกสารนี้เป็นเอกสารลิขสิทธิ์ของมหาวิทยาลัยเทคโนโลยีพระจอมเกล้าเจ้าคุณทหารลาดกระบัง การศึกษาเท่านั้น ไม่อนุญาตให้นำไปใช้ประโยชน์ด้านการค้า

ไม่ว่ากรณีใดๆ ทั้งสิ้น อีกทั้งห้ามมิให้ดัดแปลงเนื้อหา และต้องอ้างอิงถึงเจ้าของเอกสารทุกครั้งที่มีการนำไปใช้

```

On Error GoTo NoSave
CommonDialog1.ShowSave
SavePicture picCapture.Image, CommonDialog1.FileName
NoSave:
cmdStop.Enabled = False
cmdSave.Enabled = False
cmdStart.Enabled = True
End Sub

```

```

Private Sub cmdStart_Click()
iDevice = lstDevices.ListIndex
OpenPreviewWindow
End Sub

```

```

Private Sub cmdStop_Click()
ClosePreviewWindow
cmdStop.Enabled = False
cmdSave.Enabled = False
cmdStart.Enabled = True
End Sub

```

```

Private Sub cmdThr_Click()
Threshold = txtThr.Text
End Sub

```

```

Private Sub cmdU_Click()
MSCSe.Output = "u"
End Sub

```

```

Private Sub Command1_Click()
Picture2.PSet (10, 20), RGB(255, 0, 0)
End Sub

```

```

Private Sub Dir1_Change()
File1.Path = Dir1.Path
End Sub

```

```

Private Sub File1_Click()
picCapture.Picture.= LoadPicture(File1.Path & "\" & File1.FileName)
End Sub

```

```

Private Sub Form_Load()
MSCSe.CommPort = 1
MSCSe.Settings = "4800,n,8,1"
MSCSe.PortOpen = True

```

```

LoadDeviceList
If lstDevices.ListCount > 0 Then
lstDevices.Selected(0) = True
Else
cmdStart.Enabled = False
lstDevices.AddItem ("ไม่พบกล้อง WebCam")
End If

```

```

End If

```

```

cmdStop.Enabled = False

```

เอกสารนี้เป็นทรัพย์สินทางปัญญาของมหาวิทยาลัยเทคโนโลยีพระจอมเกล้าเจ้าคุณทหารลาดกระบัง
 ไม่ว่ากรณีใดๆ ทั้งสิ้น อีกทั้งห้ามมิให้ดัดแปลงเนื้อหา และต้องอ้างอิงถึงเจ้าของเอกสารทุกครั้งที่มีการนำไปใช้

```
cmdSave.Enabled = False
End Sub
```

```
Private Sub LoadDeviceList()
    Dim strName As String
    Dim strVer As String
    Dim iReturn As Boolean
    Dim x As Long
    x = 0
    strName = Space(100)
    strVer = Space(100)
    Do
        iReturn = capGetDriverDescriptionA(x, strName, 100, strVer, 100)
        If iReturn Then lstDevices.AddItem Trim$(strName)
        x = x + 1
    Loop Until iReturn = False
End Sub
```

```
Private Sub OpenPreviewWindow()
    ' Open Preview window in picturebox
    hHwnd = capCreateCaptureWindowA(iDevice, WS_VISIBLE Or WS_CHILD, 0, 0, 640 _
    480, picCapture.hwnd, 0)
    ' Connect to device
    If SendMessage(hHwnd, WM_CAP_DRIVER_CONNECT, iDevice, 0) Then
        'Set the preview scale
        SendMessage hHwnd, WM_CAP_SET_SCALE, True, 0
        'Set the preview rate in milliseconds
        SendMessage hHwnd, WM_CAP_SET_PREVIEWRATE, 66, 0
        'Start previewing the image from the camera
        SendMessage hHwnd, WM_CAP_SET_PREVIEW, True, 0
        ' Resize window to fit in picturebox
        SetWindowPos hHwnd, HWND_BOTTOM, 0, 0, picCapture.ScaleWidth,
picCapture.ScaleHeight, _
        SWP_NOMOVE Or SWP_NOZORDER
        cmdSave.Enabled = True
        cmdStop.Enabled = True
        cmdStart.Enabled = False
    Else
        ' Error connecting to device close window
        DestroyWindow hHwnd
        cmdSave.Enabled = False
    End If
End Sub
```

```
Private Sub ClosePreviewWindow()
    ' Disconnect from device
    SendMessage hHwnd, WM_CAP_DRIVER_DISCONNECT, iDevice, 0
    ' close window
    DestroyWindow hHwnd
End Sub
```

```
Private Sub Form_Unload(Cancel As Integer)
    If cmdStop.Enabled Then
        ClosePreviewWindow
    End If
```

End Sub

```
Private Function count_pos_x(ByVal a As Integer) As Integer
    a = a + 1
    count_pos_x = a
End Function
```

```
Private Function count_pos_y(ByVal b As Integer) As Integer
    b = b + 1
    count_pos_y = b
End Function
```

```
Private Sub HScroll1_Change()
    txtThr.Text = HScroll1.Value
End Sub
```



เอกสารนี้เป็นเอกสารที่สงวนไว้สำหรับการใช้งานเพื่อการศึกษาเท่านั้น ไม่อนุญาตให้นำไปใช้ประโยชน์ด้านการค้า
ไม่ว่ากรณีใดๆ ทั้งสิ้น อีกทั้งห้ามมิให้ดัดแปลงเนื้อหา และต้องอ้างอิงถึงเจ้าของเอกสารทุกครั้งที่มีการนำไปใช้